#### JANAÍNA DE NADAI

## MORFOLOGIA, CONSEQUÊNCIAS DO ATAQUE DE Lampetis nigerrima (KERREMANS, 1897) (COLEOPTERA: BUPRESTIDAE) E PODA DE CORREÇÃO EM CLONE DE EUCALIPTO

Tese apresentada à Universidade Federal de Viçosa, como parte das exigências do Programa de Pós-Graduação em Entomologia, para obtenção do título de *Doctor Scientiae*.

VIÇOSA MINAS GERAIS – BRASIL 2008

#### Ficha catalográfica preparada pela Seção de Catalogação e Classificação da Biblioteca Central da UFV

T

De Nadai, Janaína, 1978-

D278 2008 Morfologia, consequências do ataque de

Lampetis nigerrima (Kerremans, 1897) (Coleoptera:

Buprestidae) e poda de correção em clone de eucalipto / Janaína De Nadai. – Viçosa, MG, 2008.

xi, 85f. : il. (algumas col.); 29cm.

Inclui anexos.

Orientador: Norivaldo dos Anjos Silva.

Tese (doutorado) - Universidade Federal de Viçosa.

Inclui bibliografia.

1. Inseto florestal - Morfologia. 2. Besouro. 3. Eucalipto-Crescimento 4. Eucalipto- Doenças e pragas. I.Universidade Federal de Viçosa. II.Título.

CDD 22.ed. 595.76315

## JANAÍNA DE NADAI

## MORFOLOGIA, CONSEQÜÊNCIAS DO ATAQUE DE Lampetis nigerrima (KERREMANS, 1897) (COLEOPTERA: BUPRESTIDAE) E PODA DE CORREÇÃO EM CLONE DE EUCALIPTO

	Tese apresentada à Universidade Federal de Viçosa, como parte das exigências do Programa de Pós-Graduação em Entomologia, para obtenção do título de <i>Doctor Scientiae</i>
APROVADA: 12 de fevereiro de 2008.	
Prof. Hélio Garcia Leite (Co-Orientador)	Prof. Paulo Sérgio Fiuza Ferreira (Co-Orientador)
Pesq. Germi Porto Santos	Pesq. Carolina Rocha da Silva
Prof. Norivaldo	dos Anjos Silva

(Orientador)

A Deus, fonte inesgotável de sabedoria. Aos meus pais Antônio Vanderli De Nadai e Gláucia Juliani Ramos;

Aos meus queridos irmãos Elivander De Nadai e Priscila De Nadai, que contribuíram afetiva e psicologicamente em todas as etapas, apoiando e acreditando na minha capacidade de conquistar e vencer desafios.

Ao "meu bem" Anderson Corassa, pelo amor, incentivo e por simplesmente fazer parte da minha vida.

O F E R E C O.

#### **AGRADECIMENTOS**

À Universidade Federal de Viçosa e ao Departamento de Biologia Animal, pelo apoio e oportunidade de realização deste curso.

À Fundação de Amparo à Pesquisa do Estado de Minas Gerais (FAPEMIG), pela concessão da bolsa.

Ao professor Dr. Norivaldo dos Anjos, por toda sua atenção, incentivo e pela contribuição à minha formação profissional.

Aos conselheiros, Prof. Dr. Paulo Sérgio Fiuza Ferreira e Prof. Dr. Hélio Garcia Leite pelas preciosas sugestões.

À professora Dra Lúcia Massutti de Almeida pela atenção e valiosas contribuições nos trabalhos de morfologia.

Ao pesquisador Dr. Maurizio Gigli, pela atenção e inestimável colaboração com envio de material didático para ajuda na descrição da espécie em estudo.

À Companhia Ferroligas Minas Gerais – MINASLIGAS por permitir coletar dados em seus plantios e, em especial, ao Engenheiro Adriano e ao Técnico Agrícola Gilvan pela atenção e colaboração nos trabalhos de campo.

Ao professor Dr. Acacio Geraldo de Carvalho pelo apoio e incentivo acadêmico desde os trabalhos de graduação.

Aos membros da banca de defesa, Dra Carolina e Dr. Germi pelas contribuições à tese

A todos os professores do Programa de Pós-Graduação em Entomologia, pelos ensinamentos tão preciosos.

Agradeço especialmente ao meu esposo Anderson Corassa pela hombridade, por ter sido sempre presente com inesgotável estímulo, paciência e carinho mas, principalmente pelas sugestões no segundo capítulo deste trabalho.

A meu sogro e minha sogra, cunhada e cunhado pelo incentivo e apoio incondicional.

Ao colega Rodolfo Molinário de Souza por viabilizar o desenvolvimento dos trabalhos no campo e no laboratório, mas principalmente, pelo carinho e amizade incondicional.

A minha madrinha Gláucia Cordeiro, por quem tenho um carinho muito grande, por estar sempre disponível nos momentos em que necessitei.

A equipe de trabalho, Laine e Rodrigo pela amizade, apoio, sugestões, cumplicidade nesta etapa da vida e a tantos outros que não foram aqui citados, mas certamente não esquecidos, por estarem ao meu lado tanto nos bons e nos maus momentos.

Aos colegas Edison, Luciano e Rômulo pela força, preocupação com esse trabalho mas principalmente pelo ótimo convívio e amizade.

Aos funcionários e amigos, Antônio Cypriano de Freitas, Maria Paula Aparecida da Costa e Miriam Magalhães, pela ajuda e atenção.

#### **BIOGRAFIA**

JANAÍNA DE NADAI, filha de Antônio Vanderli De Nadai e Gláucia Juliani Ramos, nasceu em Linhares-ES, em 01 de julho de 1978.

Em agosto de 1997 ingressou no curso de Engenharia Florestal na Universidade Federal Rural do Rio de Janeiro, em Seropédica-RJ, onde se graduou em abril de 2003.

No período de agosto de 1997 a fevereiro de 2003, realizou atividades de pesquisa, na qualidade de estagiária, na área de Entomologia Florestal, no Departamento de Produtos Florestais, do Instituto de Engenharia Florestal da Universidade Federal Rural do Rio de Janeiro, em Seropédica-RJ.

Em abril de 2003 iniciou o curso de Mestrado em Entomologia na Universidade Federal de Viçosa-MG e em fevereiro de 2005, concluiu os requisitos indispensáveis para obtenção do título de *Magister Scientiae*.

Em março de 2005 iniciou o programa de Doutorado em Entomologia também na Universidade Federal de Viçosa-MG, onde em 12 de fevereiro de 2008 submeteu-se a defesa desta tese.

## SUMÁRIO

RESUMO	XI
ABSTRACT	XIII
INTRODUÇÃO GERAL	1
REFERÊNCIAS BIBLIOGRÁFICAS	3
CAPÍTULO 1 - MORFOLOGIA DO ADULTO (KERREMANS, 1897) (COLEOPT	
RESUMO	4
ABSTRACT	5
INTRODUÇÃO	6
REVISÃO DE LITERATURA	8
MATERIAL E MÉTODOS	12
RESULTADOS E DISCUSSÃO	14
CONCLUSÕES	24
FIGURAS	25
REFERÊNCIA BIBLIOGRÁFICA	31

CAPÍTULO 2 - CONSEQUÊNCIAS DO ATAQUE DE (KERREMANS, 1897) (COLEOPTERA PODA DE CORREÇÃO EM CLONE DE	A: BUPRESTIDAE) E
RESUMO	35
ABSTRACT	36
INTRODUÇÃO	37
REVISÃO DE LITERATURA	39
MATERIAL E MÉTODOS	42
RESULTADOS E DISCUSSÃO	46
CONCLUSÕES	57
REFERÊNCIAS BIBLIOGRÁFICAS	58
ANEXOS	62

## LISTA DE FIGURAS

<b>Figura 1.</b> Desenho esquemático de <i>Lampetis nigerrima</i> (Kerremans, 1897), vista dorsal, fêmea adulta
<b>Figura 2.</b> <i>Lampetis nigerrima</i> (Kerremans, 1897), vista dorsal, fêmea25
<b>Figuras 3-9.</b> <i>Lampetis nigerrima</i> (Kerremans, 1897). 3) cabeça, vista frontal; 4) cabeça, vista ventral; 5) antena; 6) mandíbula, vista dorsal; 7) labro; 8) maxila, vista ventral; 9) lábio, vista ventral. cd- cardo, co- côndilo, g- gálea, gu- gula, gs- sutura gular, lbr- labro, lg- lígula, lc- lacínia, lp- palpo labial, md- mandíbula, mn- mento, mxp- palpo maxilar, ped- pedicelo, plf- palpífero, prmt- premento, scp- escapo, stp- estipe, su-sulco
<b>Figuras 10-16.</b> <i>Lampetis nigerrima</i> (Kerremans, 1897). 10) pronoto; 11) proesterno; 12) mesoesterno; 13) metaesterno; 14) escutelo; 15) abdome; 16) quilha. ps- proesterno, cc1- cavidade coxal anterior, pp- processo proesternal, ms- mesoesterno, mts-metaesterno, cc2- cavidade coxal média, cc3- cavidade coxal posterior, eac- esclerito antecoxal, es- espiráculo, s- sulco, ab- abdome, sq- saliência da quilha
<b>Figuras 17-21.</b> <i>Lampetis nigerrima</i> (Kerremans, 1897). 17) perna anterior; 18) perna mediana; 19) perna posterior; 20) tarso; 21) garra tarsal. cx- coxa, tr- trocânter, fe-fêmur, ti- tíbia, esp- esporão, trs- tarso
<b>Figura 22.</b> <i>Lampetis nigerrima</i> (Kerremans, 1897). Asa membranosa posterior. C-costal, Sc- subcostal, R- radial, Rc- célula radial, M- mediana, Rm- radial mediana, Cu-cubital, Cua- cubital anal, A- anal

<b>Figura 23.</b> Lampetis nigerrima (Kerremans, 1897). Esquema da vista ventral dos últimos uroesternitos. A) fêmea; B) macho. stn- esternito
<b>Figuras 24-25.</b> <i>Lampetis nigerrima</i> (Kerremans, 1897). 24) genitália feminina, vista dorsal; 25) genitália masculina, vista dorsal. ext- coxito, st- estilo, spmd- espermoduto, spmt- espermateca, LL- lobo lateral, Lm- lobo médio, fb- falobase, bc- bolsa copulatória
<b>Figura 26.</b> Poda de correção sendo aplicada em árvore de eucalipto híbrido (clone de <i>Eucalyptus grandis</i> vs <i>E. urophylla</i> ) com oito meses de idade, danificada anteriormente por <i>Lampetis nigerrima</i> (Kerremans, 1897). Grão Mogol, MG. 2005
<b>Figura 27.</b> Eucalipto híbrido (clone de <i>Eucalyptus grandis</i> vs <i>E. urophylla</i> ) com 15 meses de idade, em local de ocorrência de ataque por <i>Lampetis nigerrima</i> (Kerremans, 1897). A: Árvore não atacada e que não recebeu poda de correção (Nota 1 = testemunha,); B: Árvore atacada e que recebeu poda de correção (Nota 2); C: Árvore atacada e que não recebeu poda de correção (Nota 3). Grão Mogol, MG. 2006
<b>Figura 28.</b> Curvas de crescimento em altura total ( <i>Ht</i> ), em função da idade ( <i>I</i> ), de árvores de eucalipto híbrido (clone de <i>Eucalyptus grandis</i> vs <i>E. urophylla</i> ), em local de ocorrência de ataque por <i>Lampetis nigerrima</i> (Kerremans, 1897). Grão Mogol, MG, 2005 a 2007
<b>Figura 29.</b> Curvas de crescimento em diâmetro a 1,30 m do solo (DAP), em função da idade ( <i>I</i> ), de árvores de eucalipto híbrido (clone de <i>Eucalyptus grandis</i> vs <i>E. urophylla</i> ), em local de ocorrência de ataque por <i>Lampetis nigerrima</i> (Kerremans, 1897). Grão Mogol, MG, 2005 a 2007
idade (I), de árvores de eucalipto híbrido (clone de <i>Eucalyptus grandis</i> vs <i>E. urophylla</i> ), em local de ocorrência de ataque por <i>Lampetis nigerrima</i> (Kerremans, 1897). Grão
idade ( <i>I</i> ), de árvores de eucalipto híbrido (clone de <i>Eucalyptus grandis</i> vs <i>E. urophylla</i> ), em local de ocorrência de ataque por <i>Lampetis nigerrima</i> (Kerremans, 1897). Grão Mogol, MG, 2005 a 2007

## LISTA DE TABELAS

<b>Tabela 1.</b> Frequência percentual média de notas sobre qualidade de fustes em árvores de eucalipto híbrido (clone de <i>Eucalyptus grandis</i> vs <i>E. urophylla</i> ), em local de ocorrência de ataque por <i>Lampetis nigerrima</i> (Kerremans, 1897). Grão Mogol, MG, 2005 a 2007
<b>Tabela 2.</b> Equações ajustadas para estimar a altura total ( <i>Ht</i> ), diâmetro a 1,30 m do solo ( <i>DAP</i> ), e volume de madeira com casca ( <i>Vcc</i> ), em função da idade em meses ( <i>I</i> ), de árvores de eucalipto híbrido (clone de <i>Eucalyptus grandis</i> vs <i>E. urophylla</i> ), em local de ocorrência de ataque por <i>Lampetis nigerrima</i> (Kerremans, 1897). Grão Mogol, MG, 2005 a 2007.
<b>Tabela 3.</b> Estimativas de produção em volume de madeira com casca (m³.ha⁻¹) por idade para em função da idade ( <i>I</i> ), de árvores de eucalipto híbrido (clone de <i>Eucalyptus grandis</i> vs <i>E. urophylla</i> ), em local de ocorrência de ataque por <i>Lampetis nigerrima</i> (Kerremans, 1897). Grão Mogol, MG, 2005 a 2007

#### **RESUMO**

De NADAI, Janaína, D.Sc., Universidade Federal de Viçosa, fevereiro de 2008. Morfologia, consequências do ataque de *Lampetis nigerrima* (Kerremans, 1897) (Coleoptera: Buprestidae) e poda de correção em clone de eucalipto. Orientador: Norivaldo dos Anjos Silva. Co-orientadores: Hélio Garcia Leite e Paulo Sérgio Fiúza Ferreira.

Foram desenvolvidos dois trabalhos, o primeiro com o objetivo de fornecer informações sobre os caracteres morfológicos utilizáveis na identificação de Lampetis nigerrima (Kerremans, 1897). O segundo, com o objetivo de avaliar os efeitos do ataque de L. nigerrima sobre eucaliptos com três meses de idade e da poda de correção do crescimento, aplicada cinco meses depois do ataque. Os estudos foram realizados em plantações de híbridos de eucaliptos clonados (Eucalyptus grandis vs E. urophylla), no município de Grão Mogol, MG e nos laboratórios da Universidade Federal de Viçosa e da Universidade Federal do Paraná. No campo, utilizou-se delineamento em blocos casualizados, com quatro repetições de 100 árvores por tratamento. Os tratamentos consistiram em "Árvores não atacadas e não podadas"; "Árvores atacadas e que receberam poda de correção" e em "Árvores atacadas pelo besouro e que não receberam poda de correção". O crescimento das árvores foi avaliado aos até os 32 meses de idade, com base na altura total, diâmetro e na qualidade do fuste principal. Como resultados, obteve-se que L. nigerrima tem corpo fortemente quitinizado e alongado. Cabeça hipognata, dorsalmente mais larga do que longa, não ultrapassando a maior largura do pronoto. Pronoto dorsalmente mais largo que longo. Élitros verde-escuros com cerdas brancas em depressões circulares. Tarsômeros azuis. Abdome preto-violáceo brilhante. Sétimo uroesternito com margem posterior arredondada nas fêmeas; nos machos provido de projeção pontiaguda no centro desta margem. Árvores não atacadas e não podadas apresentaram, 29 meses após o ataque do besouro, volume de madeira maior do que árvores atacadas e não podadas. A poda de correção fez diminuir as perdas em crescimento e aumentar a qualidade dos fustes de árvores atacadas em comparação com aquelas sem poda. O ataque de *L. nigerrima* a plantios de eucalipto prejudicou significativamente a quantidade e a qualidade da produção de madeira de forma que este inseto pode ser considerado como mais uma praga florestal importante na silvicultura brasileira.

#### **ABSTRACT**

De NADAI, Janaína, D.Sc., Universidade Federal de Viçosa, February, 2008. Morphology and damage of *Lampetis nigerrima* (Kerremans, 1897) (Coleoptera: Buprestidae), and pruning effect on cloned eucalypts. Adviser: Norivaldo dos Anjos Silva. Co-advisers: Hélio Garcia Leite and Paulo Sérgio Fiúza Ferreira.

Two works were developed; the first objective was to find out important characters to be used in the identification of Lampetis nigerrima (Kerremans, 1897). Field activities were carried out in a commercial eucalypt plantation of cloned hybrid (Eucalyptus grandis vs E. urophylla), in the Grão Mogol County, Minas Gerais State, Brazil. Lab works were developed at the Federal University of Viçosa and Federal University of Paraná. The second work deals to the effect of tree damage by L. nigerrima and to the correction pruning on the tree development under field conditions. In the last case, a randomized experimental 4-block design was used; each experimental unity had 100 trees randomly marked. Treatments were "Trees damaged by beetles, but receiving a correction pruning 5 months latter"; "Damaged, but not pruned trees" and "Trees with no damage and no pruning" (=Control). Full height and breast diameter and stem quality were evaluated 29 months after insect outbreak and two years after tree pruning. As results, we found adult of L. nigerrima as an elongated beetle with strongly and chitinized body. Head hypognathous, wider than long, not surpassing the largest width of the pronotun. Elytra dark-green, apical margin 2-lobed, containing white bristles inserted in circular depressions as strong evidence for specie identification. All legs with evident blue tarsi. Abdomen black with violet shinning. First to the fifth sternites with a medium keel, very salient in the first. Subsequent margin of the seventh abdominal sternites is round in females, but a sharp projection is evident in the center of the subsequent margin of the seventh in males. After 29 months since the insect outbreak, control trees got higher wood production than damaged trees. Correction pruning improved the stem quality and the wood production in relation to that observed on damaged/not pruned trees. It is concluded that *L. nigerrima* beetle is capable to cause significant losses to the wood production in which control is merited and it may be considered one more and very important forest pest in the Brazilian eucalypt plantations.

#### INTRODUÇÃO GERAL

No Brasil, tem crescido o interesse pelo uso de materiais genéticos do gênero *Eucalyptus* para a produção de madeira, em razão de apresentarem características físicomecânicas e organolépticas adequadas para uso múltiplo (DEL MENEZZI E NAHUZ 1998). O aumento da demanda de madeira na indústria brasileira, como na de carvão vegetal para siderurgia e na de celulose para papel, gerou a necessidade de implantar grandes maciços florestais feitos predominantemente com eucaliptos. O advento da clonagem e de sua aplicação em larga escala, permitiu o desenvolvimento de culturas clonais de eucaliptos (ALFENAS *et al.* 2004) que permite a manutenção plena das características da planta-mãe, de modo a obter talhões uniformes, de rápido crescimento e produtores de matéria-prima homogênea (ALFENAS *et al.* 2004).

Por apresentarem-se como maciços homogêneos, as plantações de eucalipto podem propiciar a inserção de insetos-praga devido a pouca diversidade vegetal, redução na diversidade de inimigos naturais e aumento na oferta de alimento (ALMEIDA *et al.* 1987, PANIZZI & PARRA 1991), caracterizando modificação na dinâmica biológica e desequilíbrio ecológico desses ambientes.

O ataque de insetos desfolhadores a plantios comerciais de árvores apresenta, entre outras consequências, a diminuição da massa foliar, implicando em reduções na taxa fotossintética (SHEPERD 1994). Como a produção de madeira depende da fotossíntese exercida pelas folhas, qualquer fator que altere a área foliar pode afetar a produção do material lenhoso (CEULEMANS & SAUGIER 1991).

Apesar dos recentes relatos de ocorrência de *Lampetis nigerrima* (Kerremans, 1897) (Coleoptera: Buprestidae) (ANJOS & MAJER 2003; ANJOS *et al.* 2004; DE NADAI *et al.* 2004 e DE NADAI 2005), pouco se conhece sobre sua caracterização taxonômica e biológica, bem como, sobre o impacto destes ataques em plantios comerciais de eucaliptos.

Técnicas de manejo das culturas florestais, como a poda de correção, podem ser empregadas no intuito de corrigir tendências indesejáveis no crescimento de ramos dominantes, influenciando positivamente nos aspectos de altura e diâmetro de árvores atacadas por insetos desfolhadores.

#### REFERÊNCIA BIBLIOGRÁFICA

ALFENAS, A.C., ZAUZA, E.A.V., MAFIA, R.G., ASSIS, T.F. Clonagem e doenças do eucalipto. Viçosa: Editora UFV, 442p. 2004.

ALMEIDA, A. F.; LARANJEIRO, A. J.; LEITE, J. E. O melhoramento ambiental no manejo integrado de pragas: um exemplo na Aracruz Florestal. Silvicultura, v.39, p.21-25, 1987.

ANJOS, N.; DE NADAI, J. RODRIGUES, L.A.L. Ocorrência de buprestídeos em eucaliptais de Minas Gerais. In: XX Congresso Brasileiro de Entomologia, 2004. **Anais**... Gramado, RS, 05 a 10 de setembro de 2004, p.453.

ANJOS, N.; MAJER, J.D. Leaf-eating beetles in Brazilian eucalypt plantations. **School of Environmental Biology**. Australia. n.23, p.10-11, 2003.

CEULEMANS, R. J.; SAUGIER, B. Photosynthesis. In: **Raghavendra, A. S. Physiology of Trees.** Hyderabad: John Wiley & Sons, p.21-50, 1991.

DE NADAI, J.; ANJOS, N.; CORDEIRO, G. Catação manual no controle populacional de buprestídeos. In: **XIV Simpósio de Iniciação Científica (SIC) IV Mostra Científica da Pós-graduação e o II Simpósio de Extensão Universitária,** Viçosa, MG, 20 a 23 de outubro de 2004, 73p.

DE NADAI. **Biologia de** *Lampetis nigerrima* (**Kerremans, 1897**) (**Coleoptera: Buprestidae**) **em eucalipto.** 2005. 44p. Dissertação (Mestrado em Entomologia) - Universidade Federal de Viçosa, Viçosa-MG.

DEL MENEZZI, C.H.S.; NAHUZ, M.A.R. Comportamento de *Eucalyptus grandis* [Hill ex Maiden] no desdobro. **Revista Árvore**, v.22, n. 4, p.563-571, 1998.

PANIZZI, A.R.; PARRA, J.R.P. A ecologia nutricional e o manejo integrado de pragas. In: PANIZZI, A.R., PARRA, J.R.P. **Ecologia nutricional de insetos e suas implicações no manejo de pragas.** São Paulo: Manole, p.313-329, 1991.

SHEPERD, R.F. Management strategies for forest defoliators in British Columbia. **Forest Ecology and Management**, v.68, p.303-304, 1994.

#### **CAPÍTULO I**

# MORFOLOGIA DO ADULTO DE *Lampetis nigerrima* (KERREMANS, 1897) (COLEOPTERA: BUPRESTIDAE)

**RESUMO:** Este trabalho teve como objetivo descobrir novas informações sobre a morfologia de adultos de Lampetis nigerrima definindo caracteres e estado de caracteres como atributos para diagnose e descrições que possam ser utilizados na identificação da espécie. Os insetos utilizados para o estudo foram coletados em novembro de 2005 em um povoamento de Eucalyptus grandis vs E. urophylla no município de Grão Mogol, MG. Os estudos foram realizados no Laboratório de Entomologia da Universidade Federal de Viçosa. A identificação da espécie foi realizada pelo Dr. Maurízio Gigli da Universitá di Lècce, Roma – Itália. Os desenhos foram realizados com o auxílio de estereomicroscópio e microscópio, ambos acoplados a câmara-clara. L. nigerrima tem como caracteres diagnósticos o corpo fortemente quitinizado e alongado, tegumento com pontuações na região ventral; élitros de cor verde-escura metálica, longos e estreitando-se gradativamente na parte posterior, margem posterior apical bilobada contendo cerdas brancas inseridas em depressões circulares. A estrutura das asas posteriores não é utilizada como diagnose para a espécie. Cabeça hipognata, dorsalmente mais larga do que longa, não ultrapassando a maior largura do pronoto. Pronoto vista dorsal mais largo que longo. Pernas perfeitamente livres e desenvolvidas, fêmur, tíbia e tarsomêros sem modificações nos três pares de pernas. Abdome com coloração preto-violácea brilhante, com cincos esternitos visíveis em ambos os sexos. Quilha mediana presente do primeiro ao quinto segmento, apresentando-se muito saliente no primeiro. A forma da margem posterior do sétimo uroesternito é arredondada nas fêmeas e há uma projeção pontiaguda no centro da margem posterior do sétimo uroesternito nos machos, podendo ser utilizada para a sexagem em L. nigerrima.

Palavras-chave: Entomologia, taxonomia, besouro desfolhador, eucalipto, Brasil

#### ADULT MORPHOLOGY IN Lampetis nigerrima (KERREMANS, 1897)

(COLEOPTERA: BUPRESTIDAE)

ABSTRACT: This work was carried out with the objective to describe the morphology of Lampetis nigerrima (Kerremans, 1897) in order to find out important characters which can be used in this specie identification. Field activities were carried out in a commercial eucalypt plantation of cloned hybrid trees (Eucalyptus grandis vs E. urophylla), in the Grão Mogol County, Minas Gerais State, Brazil. Lab works were developed at the Federal University of Viçosa and Federal University of Paraná. Redescriptions of the species L. nigerrima is made. The main structures used in species differentiation were body strongly chitinized and elongated, tegument covered by visible punctuations with the naked eye in ventral view; elytra dark-green -, long and being narrowed in the subsequent part, margin subsequent apical 2-lobed, containing white bristles inserted in circular depressions, indicating strong evidence to this species identification. There are no important structures in the functional wings. Head hypognathous, wider than long, not surpassing the largest width of the pronotum. Abdomen black with violacea diamond, with five visible sternites in both sexes. First to the fifth segment with a keel medium, very salient in the first. The form of the subsequent margin of the seventh round urosternites in females and a sharp projection in the center of the subsequent margin of the seventh urosternites in males. These structures could be used for discrimination of male and female.

Key-words: Entomology, taxonomy, leaf eating beetle, eucalypt, Brazil

## INTRODUÇÃO

A família Buprestidae compreende besouros de tamanho variado, as maiores espécies brasileiras podem atingir oito centímetros de comprimento, como *Euchroma gigantea* (Linnaeus), as menores espécies geralmente são minadoras de folhas, como por exemplo, as dos gêneros *Agrilus* Curti, *Pachyschelus* Solier, *Taphrocerus* Solier, todas com grande quantidade de espécies brasileiras (LIMA 1953).

HASTIR & GASPAR (2002) descreveram a família Buprestidae como besouros que apresentam a cabeça unida ao pronoto, antenas com 11 artículos curtos, sendo o segundo o mais curto. O tórax, geralmente é mais largo que longo, muito próximo aos élitros, formando um só bloco. O dimorfismo sexual varia de acordo com as espécies, mas ocorre freqüentemente na estrutura dos últimos segmentos abdominais.

O gênero *Lampetis* Dejean, 1833 é um dos maiores na subtribo Dicercina Gistel, 1848, com aproximadamente 251 espécies distribuídas no mundo (CORONA & MORRONE 2005). A espécie *Lampetis nigerrima* (Kerremans 1897) é um buprestídeo de ocorrência brasileira que, de acordo com BELLAMY (2003), ocupa a seguinte hierarquia taxonômica: Família Buprestidae Leach, 1815; Subfamília Chrysochroinae Laporte, 1835; Tribo Dicercini Gistel, 1848; Subtribo Dicercina Gistel, 1848; Gênero *Lampetis* Dejean, 1833 e espécie *Lampetis nigerrima* (Kerremans, 1897). O primeiro registro e descrição dessa espécie no Brasil foram realizados por KERREMANS em 1897 que o descreveu ocorrendo no estado da Bahia. Ao realizar a primeira descrição, o autor classificou a espécie como subgênero de *Psiloptera* Solier, conforme constatou KUROSAWA (1993).

Segundo DE NADAI (2005), os adultos de *L. nigerrima* podem atingir até 28 mm (21,8  $\pm$  0,4 mm), de comprimento. Machos e fêmeas têm estruturas, morfologicamente,

distintas no esternitos abdominais (DE NADAI *et al.* 2005). Não há, ainda, informações sobre as fases imaturas de *L. nigerrima*, mas DE NADAI (2005) já constatou que os ovos têm formato oblongo e córion transparente, são lisos e de coloração amarelo-leitosa.

Considerando que o estudo morfológico permite correta identificação das espécies de insetos e considerando ainda que faltam informações sobre a morfologia de *L. nigerrima*, este trabalho teve como objetivo o de ampliar estas informações sobre este importante besouro desfolhador de essências florestais no Brasil.

#### REVISÃO DE LITERATURA

Conforme esclarecido por CROWSON (1982), a família Buprestidae Leach apresenta ascendência comum com a família Dryopoidae em função de algumas características estruturais que as espécies primitivas das duas famílias compartilhavam entre sí. Os insetos adultos da família Buprestidae atraem atenção pelas cores que variam fortemente entre o verde, azul, cor metálica ou bronzeada, apesar de existirem também espécies pretas, conforme argumentou GEOFFROY (1785). O destaque de cores metálicas também foi registrado por BELLAMY & VOLKOVITSH (2005) que, segundo SAKALIAN & LANGOUROV (2004), indica atratividade entre espécies; mas HASTIR & GASPAR (2002) afirmaram que a ampla variedade de cores é utilizada para camuflagem. Como característica comportamental marcante dos insetos desta família pode-se destacar os reflexos de imobilização, sendo os adultos facilmente encontrados ao sol sobre pedaços de madeira, mais raramente em flores e a maioria atacando árvores debilitadas (HASTIR & GASPAR 2002).

Corroborando HASTIR & GASPAR (2002), mas de forma mais detalhada, BELLAMY & VOLKOVITSH (2005) relataram que os adultos desta família apresentam forma quase cilíndrica a aplainada ou cuneiforme; variam de 2 a 75 mm de comprimento, mas podem atingir tamanhos maiores. As características seguintes também foram mencionadas por estes autores. Cabeça inclinada, unida ao pronoto e este, geralmente com aspecto rugoso. Antena com 11 antenômeros, normalmente serreada; inserida a pouca distância dos olhos e mandíbulas. Olhos laterais, moderados a grandes, ovalados a reniformes. Pronoto ligeiramente mais largo que a cabeça, de forma irregularmente quadrada, às vezes estreita na frente; margens laterais normalmente carenadas; superficie fortemente rugosa, às vezes com áreas elevadas e/ou depressões profundas; hipômero geralmente largo; proesterno longo e largo. Pernas anteriores e medianas com o trocânter

exposto; coxa anterior pequena, oval, não contínua, cavidades procoxais abertas; coxa mediana pequena, achatada, quase quadrangular; coxa posterior grande, transversal; trocânter pequeno, triangular; fêmur subparalelo a fusiforme; tíbia afilada, às vezes denteada ou com espinhos apicais moderados; fórmula tarsal 5-5-5; tarso fino, com pelos; tarsômero pré-apical bilobado; garras simples, apendiculadas ou bífidas, às vezes assimétricas, raramente indicando dimorfismo sexual. Escutelo trapezoidal, triangular a cordiforme, geralmente pequeno; às vezes escondido em baixo do élitro, fundido ou completamente reduzido. Élitro normalmente inteiro, apicalmente arredondado ou acuminado e freqüentemente com um ou mais espinhos apicais, raramente expondo mais que um tergito, exceto em casos raros; presença de estria ou carenas. Abdome com cinco esternitos visíveis, o primeiro e segundo conatos; sutura rasa; tergo I e II conatos; lados dorsais e ventrais com áreas porosas.

GARDNER (1989) já havia mencionado que a genitália masculina apresenta-se trilobada; o edeagus (lóbulo mediano) normalmente achatado dorso-ventralmente, ápice agudo a transversal, internamente com ducto ejaculatório, parâmeros às vezes altamente modificados para projetar lóbulos laterais membranosos, aderidos lateralmente ao edeagus; parâmeros basais fundidos. Genitália feminina geralmente com os valvíferos reduzidos, báculo grande e forte; estilo fortemente reduzido, proctiger grande com dois báculos que se estendem ao redor da superfície ventral onde se encontram e articulam com as partes basais do valvíferos.

Segundo HOLYNSKI (1999) a subdivisão do gênero *Psiloptera* continua sendo mal compreendida. Ainda, segundo o autor, entre outras características, o gênero *Lampetis* pode ser identificado com base na forma da margem anterior do pronoto, embora esta característica possa ser utilizada para separar vários outros gêneros, como por exemplo, *Ectinogonia* Spin., *Oedisterna* Lac., *Dicercomorpha* Deyr., *Touzalinia* Thy.

Após a primeira descrição realizada por KERREMANS (1897), somente DE NADAI (2005) acrescentou novas informações morfológicas novas, como antenas do tipo serreadas, que não ultrapassam o comprimento do pronoto e formada de 11 antenômeros; mandíbulas curtas, recurvadas e robustas; labro mais largo do que longo e com cerdas curtas em toda superfície; palpos labiais medindo, aproximadamente, a metade do comprimento dos palpos maxilares, amarelos e constituídos de apenas um artículo provido de cerdas robustas apenas na parte apical; palpos maxilares negros, com três artículos desiguais, progressivamente cônicos, o último elíptico e todos cobertos por cerdas curtas; fórmula tarsal 5-5-5; parte superior dos tarsômeros de coloração azul-violácea e com

intenso brilho metálico e parte inferior de coloração marrom; élitros verde-escuros com a margem externa salpicada de pequenas manchas brancas. A única diferença encontrada por DE NADAI (2005) na descrição realizada por KERREMANS (1897) foi a coloração da parte ventral que se apresentou como preto-violácea brilhante, ao invés de preto-esverdeada brilhante.

Segundo DE NADAI (2005), os adultos possuem hábito diurno, sendo encontrados com grande freqüência nos horários mais quentes do dia e isto são características marcantes dos insetos desta família, conforme afirmaram HASTIR & GASPAR (2002). Ainda como característica comportamental, eles apresentam o hábito de se jogarem ao solo, fingindo-se de morto, quando ameaçados (ANJOS & MAJER, 2003 e DE NADAI *et al.* 2006).

Recentemente, CORONE & MORRONE (2005) realizaram uma análise da distribuição de espécies do gênero *Lampetis* na América do Norte, América Central e Índias Ocidentais, onde foram constatadas 22 espécies descritas e mais sete espécies novas. Entre as espécies estudadas pelos autores não havia *L. nigerrima*, a qual parece ser restrita à América do Sul. A maior dificuldade em determinar a espécie *L. nigerrima* é a correta separação do gênero, pois, entre os demais da família Buprestidae é o gênero *Lampetis* sp. o mais confundido com o gênero *Psiloptera* sp. Por causa disto, DE NADAI (2005) suspeitou que muitos registros de besouros identificados como *Psiloptera*, pertencem na verdade ao gênero *Lampetis*. Esta mistura de gêneros pode ter ocorrido devido ao fato de KERREMANS (1903) ter negligenciado o primeiro trabalho de THONSON (1878) e classificado *Lampetis* como subgênero de *Psiloptera*, conforme esclarecido por KUROSAWA (1993). A única característica utilizada para diferenciar o gênero *Lampetis* do gênero *Psiloptera* é a presença, neste último, de uma quilha localizada na parte ventral do protórax e que é ausente em *Lampetis*, conforme NELSON (1986) e KUROSAWA (1993).

Na época em que KERREMANS (1910) criou a primeira e única chave taxonômica para separar os gêneros pertencentes ao grande grupo *Psiloptera* de outros gêneros próximos, apenas os gêneros *Cyphosoma*, *Capnodis*, *Icarina*, *Aurigena* = *Perotis*, *Latipalpis* e o próprio *Psiloptera* foram incluídos no grupo *Psiloptera*; os demais foram considerados como subgêneros (*Polybothris*, *Lampetis*, *Damarcila*). Com significado diferente o subgênero *Lampetis* de KERREMANS (1910) era o verdadeiro *Spinthoptera* de THONSON (1878) e o subgênero *Damarcila* de KERREMANS (1910) era o verdadeiro *Lampetis* de THONSON (1878).

Na última classificação realizada por BELLAMY (2003), infelizmente, não foram propostas novas chaves para todos os gêneros pertencentes aos quatro grandes grupos formados por ele, quais sejam, Polybothris (gêneros *Apateum, Icarina, Polybothris* e *Sororcula*); Lampetis (gêneros *Capnodis, Cyphosoma, Lampetis, Monosacra, Oedisterna, Perotis* e *Strandissa*); Dicerca (gêneros *Dicerca, Latipalpis, Dicercomorpha* e *Touzalinia*) e Psiloptera (gêneros *Archepsila, Chalcopoecila, Ectinogonia, Psiloptera* e *Tristria*). Por outro lado, a marcante coloração azul-violácea registrada por DE NADAI (2005) na parte superior dos tarsos de *L. nigerrima* não pode ser utilizada para identificar essa espécie, visto que LIMA (1956) constatou, também, semelhante coloração nos tarsos de *Colobogaster cyanitarsis* Laporte & Gory, 1837 (Coleoptera: Buprestidae). Assim, ainda resta muita confusão entre os gêneros mencionados, necessitando de estudos mais amplos e aprofundados, no sentido de facilitar uma correta identificação destes coleópteros.

Com base no exposto, pode-se concluir que existe uma grande necessidade em ampliar a descrição de *L. nigerrima*, pois a descrição original realizada por KERREMANS (1897) e as informações acrescentadas por DE NADAI (2005), ainda são muito deficientes em termos de morfologia. Segundo RIBEIRO-COSTA e SILVA (2003), o estudo morfológico detalhado fornece as bases para uma definição mais precisa da espécie, além de ajudar atingir um melhor entendimento das características de cada espécie. Faltam estudos mais detalhados de caracteres morfológicos de *L. nigerrima*, em especial, das genitálias que serviriam como caracteres taxonômicos estáveis e confiáveis, pois a genitália é, de acordo com VOLKOVITSH (2001), o único caráter seguro para distinguir a grande maioria das espécies.

#### MATERIAL E MÉTODOS

Adultos de *L. nigerrima* foram coletados em novembro de 2005 em um plantio comercial de eucaliptos híbridos (*Eucalyptus grandis* vs *E. urophylla*), no município de Grão Mogol, MG, a 42º48'30''W e 16º12'30''S de longitude e latitude, respectivamente, em região de Cerrado, plano e com 829 m de altitude. Os trabalhos foram realizados nos laboratórios de Entomologia da Universidade Federal de Viçosa e da Universidade Federal do Paraná. A identificação da espécie foi realizada pelo Dr. Maurízio Gigli, da Universitá di Lècce, Roma – Itália e os exemplares foram depositados no Museu de Entomologia da Universidade Federal de Viçosa, MG, Brasil (UFVB).

Os estudos de morfologia externa e da genitália foram feitos a partir de dez besouros de cada sexo, com o auxílio de estereomicroscópio Zeiss Stemi SV6 e para o desenho das demais estruturas utilizou-se o microscópio Standard 20, ambos acoplados à câmara-clara, conforme sugerido por LIMA (1992). As estruturas foram registradas em desenhos, conforme preconizados por PETERSON (1976), obtidos em estereomicroscópio com ocular duplicada. Antes das observações, o material foi preparado de acordo com os procedimentos preconizados por LIMA (1992), conforme a seguir: (i) hidratação em água destilada durante dez minutos (CHAPIN 1974); (ii) dissecação do corpo em cabeça, tórax e abdome, com auxílio de pinça de ponta fina (tipo relojoeiro) e estiletes (HAFEZ & EL-ZIADY 1952); (iii) para o estudo da genitália, o abdome foi hidratado e clarificado em hidróxido de potássio (KOH) a 10% a quente, utilizando como fonte de calor uma placa aquecedora por 3 a 4 minutos, visando à eliminação de tecidos gordurosos e musculares das partes anteriormente dissecadas, tendo atenção com o tempo de cozimento para não provocar distorção da genitália (CHAPIN 1974); e (iv) separação das partes com auxílio

de pinça de ponta fina e de estiletes (HAFEZ & EL-ZIADY 1952). As estruturas como cabeça, tórax, abdome e élitros foram acomodados em placas de Petri (3,5 cm de diâmetro) contendo areia do mar, fina e branca, imersa em água destilada. Foram utilizadas algumas gotas de álcool etílico para retirar partículas mais finas de areia que permaneciam na superfície da água dificultando a visualização da estrutura. Outras estruturas como pernas e antenas foram montadas em lâminas com glicerina ou água destilada. Peças bucais e asas exigiram uma montagem entre lâmina e lamínula em glicerina. A genitália foi observada e desenhada em lâminas escavadas contendo glicerina. Os desenhos foram escaneados e então editados com o programa Adobe Photoshop 7.0.

A terminologia adotada para nomear as estruturas baseou-se nos trabalhos de HOLLOWAY (1982), BORROR *et al.* (1989), LIMA (1992), KUKALOVÁ-PECK & LAWRENCE (1993); KOVÁŘ (1996). Além destes, foram utilizados outros trabalhos, sobre outros grupos de Coleoptera a fim de auxiliar na metodologia e terminologia utilizada em descrições morfológicas (RIBEIRO-COSTA e SILVA 2003; SILVA *et al.* 2005; KOVÁŘ 1996). Na elaboração do texto descritivo, foram utilizadas frases nominais, isto é, sem verbos flexionados, como é de tradição na área entomológica (LIMA 1992).

#### RESULTADOS E DISCUSSÃO

#### MORFOLOGIA DO ADULTO

Corpo fusiforme, fortemente esclerotizado (Figura 1 e 2), tegumento coberto por pontuações na região ventral. Élitros verde-escuros com margens externas contendo cerdas brancas inseridas em depressões circulares na região dorsal. Cabeça hipognata. Pronoto, região ventral do tórax, pernas e esternitos abdominais, preto-violácea metálica. Parte superior dos tarsômeros azul-violácea, com intenso brilho metálico. Região ventral do abdome com cerdas muito finas, no sentido longitudinal, nas margens e no centro de cada segmento abdominal e no centro da quilha (Figura 15).

A espécie *L. nigerrima* foi considerada por DE NADAI (2005) como sendo um buprestídeo de tamanho grande, com comprimento médio de 21,8±0,4 mm e 18,6±0,3 mm para fêmeas e machos, respectivamente, considerando que LIMA (1952) definiu que insetos com cerca de um centímetro são considerados de tamanho médio.

#### **CABEÇA**

Região dorsal duas vezes mais larga do que longa, não ultrapassando a maior largura do pronoto (Figura 1). Olhos compostos ocupando a maior parte das margens laterais da cabeça, uniformemente convexos e ovalares com margens anterior e posterior paralelas, pouco salientes; cerdas curtas circundando os olhos pelo lado interior; cerdas curtas circundando a margem da cabeça em contato com o pronoto. Clípeo estreito com margens retilíneas, sem cerdas, pouco mais estreito que a largura da fronte. Frontalmente

(Figura 3) presença nítida de um sulco preenchido com pubescências brancas, observadas quando o inseto encontra-se seco. Ventralmente (Figura 4) sutura gular não fusionada.

Antenas serreadas e inseridas ventralmente (Figura 4) azul-violácea; com 11 artículos (Figura 5) não ultrapassando o comprimento do pronoto; todos os artículos pubescentes (microcerdas); escapo e o terceiro artículo com um par de cerdas curtas; demais artículos com cerdas curtas dispersas em maior quantidade; escapo mais longo e mais largo que o pedicelo e mais que o terceiro artículo; comprimento do 11º artículo igual ou muito aproximado ao quarto, quinto, sexto, sétimo, oitavo, nono e décimo; último artículo não expandido e com ápice truncado.

Mandíbulas, vista dorsal (Figura 6) simétricas; curtas, levemente recurvadas, robustas e fortemente quitinizadas; aproximadamente, duas vezes mais longas do que a largura da base; ápice levemente aguçado e uma região sulcada logo abaixo; região acima do côndilo com cerdas robustas; côndilo saliente e longo.

Labro em vista dorsal (Figura 7) azul metálico mais largo do que longo, sendo, mais largo na área proximal que na distal, esta, com uma fileira de cerdas curtas; superfície ventral glabra; superfície dorsal com cerdas curtas; margens da área proximal e distal praticamente reta com laterais suavemente arredondadas.

Maxilas (Figura 8) com pontuações no tegumento, localizadas principalmente na gálea e próximas às cerdas do estipe. Cardo alongado, reto na base. Estipe alongado, duas vezes mais longo que a maior largura do ápice. Lacínia menos larga que a gálea, com ápice arredondado e coberta por uma grande massa de cerdas curtas, região apical menos esclerotinizada do que a basal. Gálea com formato oval, ou seja, mais larga no centro do que no ápice e na base, região apical menos esclerotinizada do que a região basal, cerdas longas, finas e rígidas margeando a região apical e regiões laterais. Palpo maxilar negro e bem desenvolvido com quatro artículos, o primeiro menor que os demais, em comprimento e largura, o segundo mais longo que todos, progressivamente cônicos, último artículo truncado no ápice, todos com presença de cerdas curtas esparsas.

Lábio (Figura 9) com mento subtrapezoidal, margem basal mais longa que a margem apical. Pré-mento menor que o mento, superficie apical arredondada. Lígula pequena em forma de "seta" com poucas cerdas na região mediana apical. Palpos labiais com o último um pouco maior em comprimento do que os anteriores, ápice truncado, presença de cerdas longas no segundo e terceiro artículo.

A presença de um nítido sulco localizado na fronte da cabeça é uma característica observada também em espécies de outras tribos da família Buprestidae, como em

Pachyschelini e Aphanisticini, segundo KOGAN (1964) e HORNBURG (2003), respectivamente. Segundo o primeiro autor, *Pachyschelus mimus* Obenberger, além de possuir cabeça nitidamente sulcada apresenta ainda pubescências brancas adensadas em ambos os lados do sulco frontal. VOLKOVITSH (2005), ao descrever a espécie *Acmaeodera lopatini*, registrou a presença de sulco na mesma região da descrita em *L. nigerrima*, entretanto, sem a presença de pubescência. Na tribo Acmaeoderini, entretanto, NELSON (1994) descreveu três espécies do gênero *Acmaeodera* Eschscholtz sem a presença de fronte sulcada.

A forma convexa dos olhos, encontrada nos exemplares estudados, foi a mesma encontrada por VOLKOVITSH & KALASHIAN (2003) para algumas espécies no gênero *Sphenoptera* Dejean, 1833, mas diferente no tamanho porque estes apresentam olhos muito pequenos em relação aos olhos bem desenvolvidos de *L. nigerrima*, onde ocupam a maior parte das margens laterais da cabeça.

A forma encontrada para o clípeo de *L. nigerrima* parece ser comum entre diferentes espécies de buprestídeos, como por exemplo, as registradas por VOLKOVITSH & LIBERTO (2002) em *Acmaeodera cisti*, Wollaston e por VOLKOVITSH (2006) em *A. burmanica* Volkovitsh.

A quantidade de antenômeros e a forma da clava são caracteres importantes para separar externamente certas espécies semelhantes em Coccinelidae, como é o caso das tribos Scymnillini e Scymnini (LIMA 1992), mas para a tribo Dicercini, em estudo, estas evidências ainda não foram apontadas. STUART (1955) afirmou que a cor dos antenômeros é uma das características utilizadas para diferenciação sexual de alguns insetos, como registrado por ele ao estudar o dimorfismo em *Nascioides enysi* (Sharp) (Coleoptera: Buprestidae). O autor registrou que as antenas dos machos são de cor azul em quase todos os antenômeros, com exceção do escapo que se apresentava vermelho, enquanto que, nas fêmeas, todos os antenômeros eram de cor purpúrea-metálica. Neste sentido, a coloração azul-violácea com intenso brilho metálico encontrada em todos antenômeros de machos da espécie *L. nigerrima* não diferiu daquela encontrada para as fêmeas. Embora a cor dos antenômeros seja muito marcante nesta espécie, ela não pode ser utilizada para diferenciar os sexos; nem mesmo para diferenciar esta de outras espécies, porque este detalhe já foi registrado para outros buprestídeos (LIMA 1953; LIMA 1956 e STUART 1955).

Certos tipos de antenas apresentam estruturas especializadas, como sensilas ou pêlos, que são responsáveis por diversas modalidades sensoriais (CARVALHO *et al.* 

1977). Em Buprestidae, ERICHSON (1857) registrou a presença de poros e cerdas sensoriais nos artículos antenais. Na superfície de cada artículo antenal de *L. nigerrima* foram constatados apenas pêlos curtos, os quais também devem servir para esta detecção sensorial, como já demonstrado na família por VOLKOVITSH (2001). A presença de pêlos aguçando a detecção mecânica foi registrada por LIMA (1992) ao estudar a morfologia do coccinelídeo *Zagloba beaumonti* Casey. A característica comportamental, de *L. nigerrima* em se jogar ao solo e ficar imóvel (tanatose) quando perturbados (ANJOS & MAJER 2003 e DE NADAI *et al.* 2006), pode estar relacionada com a capacidade de percepção de estímulos nas antenas.

O aparelho bucal mastigador em *L. nigerrima* é típico de besouros desfolhadores porque apresenta mandíbulas robustas com apenas um dente na região incisória. Isto o diferencia do aparelho bucal mastigador de insetos predadores, como em Coccinelidade, que apresentam dois dentes na região incisória (HODEK 1973; MATSUDA 1965). Os adultos de *L. nigerrima*, conseguem, além de cortar folhas, roer a casca e o lenho do ramo principal de uma árvore com até dois metros de altura (RIBEIRO *et al.* 2001).

A forma do labro de *L. nigerrima*, mais larga que longa, é igual à encontrada por BELLAMY (1987) ao descrever o buprestídeo *Nesotrinchus orientalis* Obenberger, pertencente à mesma tribo da espécie em estudo. Entretanto, STUART (1955) estudando o dimorfismo de *N. enysi* verificou que machos também apresentavam o labro com coloração azul metálica, entretanto, diferia das fêmeas por apresentarem esta mesma estrutura com coloração púrpura-metálica. Em *L. nigerrima*, a coloração azul metálica encontrada no labro de machos é a mesma encontrada no das fêmeas.

Os palpos labiais de *L. nigerrima* são triarticulados (Figura 8) o que é característico da ordem Coleoptera (MATSUDA 1965).

Adultos de *L. nigerrima* apresentaram o palpo maxilar com quatro artículos, típicos de espécies menos especializadas na ordem Coleoptera (MATSUDA 1965). A presença de cerdas relativamente finas, longas e rígidas na gálea indica hábito predador para insetos da família Coccinellidae (HODEK 1973). No entanto, a espécie em estudo apresenta esta característica e se trata de um inseto desfolhador (DE NADAI 2005).

#### **TÓRAX**

Pronoto vista dorsal (Figura 10) mais largo que longo; convexo; bordas - ângulos laterais- com extremidades arredondadas; mais largo que a cabeça e o mais largo entre os segmentos torácicos; tegumento com sulco abrupto evidente no centro, em sentido longitudinal; margem posterior mais estreita que os élitros; um par de espiráculos localizados na base e na região mediana; superfície densamente coberta por pontuações contendo microcerdas.

Proesterno (Figura 11) com microcerdas; cavidades coxais fechadas e arredondadas, separadas por um processo proesternal afilado, largo e saliente.

Mesoesterno (Figura 12) curto, fracamente pontuado, com poucas e delicadas cerdas; cavidades coxais médias triangulares.

Metaesterno (Figura 13) com região mediana em forma de forquilha, esta alongada e ocupando a metade do mesoesterno, superfície coberta por pontuações contendo microcerdas. Cavidades coxais contíguas.

Escutelo (Figura 14) deprimido ou pouco visível a olho nu; trapezoidal; sem pontuações, geralmente de cor creme.

Pernas (Figuras 17; 18 e 19) perfeitamente livres e desenvolvidas. Fêmur, tíbia e tarsomêros sem modificações nos três pares de pernas. Coxas das pernas anteriores e médias com praticamente o mesmo tamanho; globosas para ambas; cobertas com cerdas curtas dirigidas para os tarsos. Coxas das pernas posteriores subtrapezoidais; duas vezes mais longa que larga; maiores que as coxas das pernas anteriores e médias; presença de cerdas curtas dirigidas para os tarsos. Trocânteres expostos e de tamanhos diferentes; o da perna posterior menor que todos; o da perna anterior um pouco maior que o da perna mediana; todos subtriangulares com margens arredondadas e cerdas curtas dirigidas para os tarsos. Fêmur sempre menor que a tíbia para os três pares de pernas; cerdas distribuídas em toda sua extensão. Tíbias duas vezes mais estreitas que o fêmur; duas vezes mais larga no ápice que na base, para os três pares de pernas; cerdas curtas dispersas em toda extensão. Tíbia da perna anterior com uma fileira simples de cerdas curtas e fortes da metade para o ápice, nas margens externa e interna. Tíbia da perna mediana apresentando, na margem externa, uma fileira simples de cerdas curtas, fortes e ocupando 3/4 a partir do ápice; na margem interna, uma fileira de cerdas curtas e fortes do ápice até quase a metade da tíbia. Tíbia da perna posterior, nas margens internas e externas, com fileiras de cerdas curtas e fortes em toda sua extensão. Presença de um par de espinhos (esporões)

simétricos na margem apical-interna (mucro) da tíbia de todas as pernas. Fórmula tarsal 5-5-5 (Figura 20); o primeiro e segundo tarsômeros iguais em comprimento; cerdas ventrais adensadas; parte superior de todos os tarsômeros de coloração azul-violácea e com intenso brilho metálico; parte inferior de coloração marrom. Garra tarsal (Figura 21) pectinada com processo terminal afilado e recurvado, tanto em machos como em fêmeas.

Élitros (Figura 1) longos; duas vezes mais longo que largo, estreitando-se gradativamente na parte posterior; margem posterior apical bilobada; coberto por pontuações; largura umeral um pouco maior do que a maior largura do pronoto; margem externa próximo ao pronoto de forma serreada; sulcos longitudinais; região da epipleura glabra e sinuosa na porção que compreende o mesoesterno e a metade do metaesterno; margens externas dos élitros com cavidades distribuídas de forma aleatória, preenchidas com cerdas brancas.

Asa membranosa quase três vezes mais longa que larga (Figura 22). Veia subcostal forte e não ramificada unindo-se à veia radial ao final do terço inicial do comprimento da asa, estendendo-se apicalmente ao longo da margem anterior. Célula radial (RC) formada pela fusão da célula radial subcostal (R+SC) e a radial mediana (RM) no terço apical anterior. Veia mediana desconectada do setor radial (Rs) estendendo-se apicalmente até o inicio do terço final da asa, quando se une à veia cubital recebendo a denominação de M3+M4. Veia cubital (Cu) estendendo-se da base da asa e unindo-se apicalmente com a mediana (M). Sistema anal composto por quatro veias, sendo a segunda e terceira ramificadas enquanto a primeira e a quarta não são ramificadas. A primeira veia anal ligada à veia cúbito-anal e estendendo-se até a margem posterior. Segunda veia anal com três ramos, o primeiro e segundo ramos conectados entre si no terço mediano da asa e paralelamente se estendendo em direção obliqua à margem posterior da asa e o terceiro ramo conectado ao primeiro ramo da terceira veia anal. Terceira veia anal com dois ramos, ligados ao final do terço basal da asa, o primeiro ramo ligado ao terceiro ramo da segunda veia anal, enquanto o segundo ramo se estende diretamente da parte basal da asa obliquamente até a margem posterior. Quarta e última veia anal com aparência rudimentar e localizada próxima a região basal. Destaca-se, ainda, a presença de veias transversais, oriundas da união de duas outras veias, apresentando as veias 2A-3A1, cúbito-anal, radialsubcostal, radial-mediana.

A presença de um sulco muito evidente no pronoto e pontuações no tegumento também foram evidenciadas por VOKOVITSH & KALASHIAN (2003) para algumas espécies do gênero *Sphenoptera*, mesma família de *L. nigerrima*. A forma do escutelo,

encontrada na espécie em estudo, é semelhante ao encontrado por BELLAMY (1987) em *N. orientalis* e por COBOS (1968) ao descrever *Psiloptera weyrauchi*. A forma do pronoto evidenciada em *L. nigerrima*, bem como as pontuações, parecem ser características comuns em muitos gêneros e espécies de Buprestidae, conforme registrado por VOKOVITSH & LIBERTO (2002) ao estudarem *A. cisti*; VOKOVITSH & KALASHIAN (2003) ao descreverem *Sphenoptera zarudniana* Volkovitsh & Kalashian e por VOKOVITSH (2006) ao descrever *A. burmanica*.

As pernas apresentam-se semelhantes em ambos os sexos, aparentemente não oferecendo caracteres de importância taxonômica. Entretanto, SVOBODA (1994) observou que diferenças na mesotíbia e na metatíbia permitem distinguir machos e fêmeas adultos dos buprestídeos *Anthaxia turcica* Svoboda e *Anthaxia adiyamana* Svoboda. A presença de um par de esporões encontrados na tíbia de todas as pernas de *L. nigerrima*, em ambos os sexos, é semelhante ao encontrado por BELLAMY (1987) para *N. orientalis*. Embora a presença de cerdas na tíbia, encontradas em *L. nigerrima*, não sirvam para diferenciar os sexos nesta espécie, BÍLÝ (1991) observou para *Agrilus viscivorus* Bílý, a presença de uma fileira de cerdas ao longo do primeiro segmento tarsal das pernas posteriores de machos adultos e a ausência desta fileira de cerdas nas fêmeas. Em ambos os sexos, os tarsos de *L. nigerrima* são idênticos, mas VOKOVITSH (2006) encontrou diferença entre as garras de macho e fêmea no buprestídeo *A. burmanica*.

Os élitros bastante quitinizados, como característica marcante na família (HASTIR & GASPAR 2002), quando abertos, formam um ângulo quase reto com o corpo, permitindo a liberdade de movimentos das asas membranosas para realizar vôos curtos. *L. nigerrima* apresenta vôo pouco desenvolvido, facilitando a catação manual, única técnica atualmente utilizada como forma de combate a estes besouros (DE NADAI 2005). Como as margens dos élitros se prolongam além de sua largura, recobrindo a estrutura da borda lateral -epipleura-, então eles devem servir, também, para proteger o abdome. A presença de estrias, carenas e pontuações encontradas nos élitros de *L. nigerrima* são características comuns da família desta espécie, conforme registrado por BELLAMY & VOLKOVITSH (2005) e por VOKOVITSH & LIBERTO (2002) para *A. cisti*, por VOLKOVITSH (2006) ao descrever *A. burmanica* e por VOKOVITSH & KALASHIAN (2003) para as espécies *Sphenoptera ignita* Reitter, *S. striatipennis* Jakovlev, *S. tamaricis* (Klug), *S. amplicollis*, Jakovlev, *S. orichalcea* (Pallas), *S. tristicula* Reitter, *S. tomentosa* Jakovlev, entre outras. As características encontradas nos élitros de *L. nigerrima* são as mesmas encontradas para *N. orientalis*, no que se refere à largura dos élitros, ao compará-los com o pronoto,

margens e largura umeral (BELLAMY 1987). A forma da margem posterior apical dos élitros em *L. nigerrima* foi diferente da encontrada por VOLKOVITSH (2006) para as espécies de buprestídeos *A. burmanica*, *A. tibetica* e *A. holocyanea*, descritas pelo autor como apresentando margem posterior apical de forma nitidamente arredondada. Por outro lado, VOLKOVITSH & KALASHIAN (2003) encontraram margens apicais trilobadas em *S. zarudniana*, embora esta estrutura não pareça ser caráter importante na identificação da espécie.

Uma característica muito marcante em machos e fêmeas da espécie em estudo é a presença aleatória, nas margens externas dos élitros, de depressões preenchidas com cerdas brancas, em formato de manchas com coloração branca. Não foi encontrada nenhuma evidência de que esta característica de *L. nigerrima* ocorra em outros insetos do mesmo grupo, de forma que pode ser mesmo considerada como uma característica externa muito importante na identificação da espécie, como concluiu DE NADAI (2005). De fato, KERREMANS (1910) ao elaborar a chave para determinação das espécies neste gênero, já havia se referido também a esta característica. Por causa desta marcante presença de manchas brancas, propõe-se aqui o nome "Cai-cai-de-pintas-brancas" para uso popular ao se referir a esta espécie de besouro desfolhador.

São poucos os trabalhos que se referem à venação de asas em Buprestidae, o que segundo GOOD (1925), se justifica por serem estruturas difíceis de serem trabalhadas. Os insetos nesta família podem ser separados dos de outras famílias em Coleoptera através de características da venação (GOOD 1925). De acordo com este autor, coalescência de veias pode ser considerada como uma condição evolutiva, mas o contrário também é verdadeiro. Este é o caso das veias 2A2 e 2A1 que se separaram da veia 2A e o caso da veia 2A4 que se coalesceu com a 3A1, constatados em *L. nigerrima*. Elas são fundidas apicalmente em coleópteros primitivos e se tornam extensamente divergentes nos mais especializados, como em Buprestidae, permitindo caracterizar *L. nigerrima* como uma espécie bastante evoluída. Em relação às veias transversais, *L. nigerrima* apresentou quatro unidades o que está de acordo com GOOD (1925) que caracterizou a família Buprestidae como insetos que podem apresentar até cinco veias desse tipo.

O estudo da venação da asa de *L. nigerrima* teve o propósito de averiguar a existência de características de relevante valor taxonômico para espécie, mas isto não foi possível de ser constatado.

#### **ABDOME**

Parte ventral com cincos esternitos visíveis (Figura 15), em ambos os sexos. Quilha mediana presente do primeiro ao quinto esternito, apresentando-se muito saliente no primeiro (Figura 16). Tufos de cerdas muito delicadas, no sentido longitudinal, presente nas margens e no centro dos esternitos e no centro da quilha. Superfície tergal com pontuações muito pequenas, tegumento delicado, pouco esclerotizado.

Na fêmea, o quinto uroesternito é mais largo e convexo no ápice (Figura 23-A); a margem posterior do sétimo uroesternito apresenta-se arredondada (Figura 23-A). Genitália (Figura 24) com coxitos arredondados e medianamente desenvolvidos, base levemente bilobada, presença de cerdas adensadas na região apical, região dorsal raramente com cerdas, ventralmente poucas cerdas localizadas na base. Estilos afilados e reduzidos, com pouquíssimas cerdas curtas no ápice. Seguindo os coxitos, na cavidade abdominal, encontra-se o sistema eferente de origem tegumentar externa (MATSUDA 1976). Ele é formado pela bolsa copulatória, em cuja parte proximal abre-se o ducto espermático que, em *L. nigerrima*, apresentou-se curto e com paredes esclerotizadas, seguido da espermateca. Espermateca globosa e muito flexível, em vista ventral. Espermoduto curto e membranoso. Bolsa copulatória lisa bem desenvolvida, mais comprida e mais larga que o espermoduto e a espermateca juntos. Báculo perfeitamente visível.

No macho, o quinto uroesternito é côncavo e o sétimo apresenta uma projeção pontiaguda no centro da margem posterior (Figura 23-B). Genitália (Figura 25) com lobos laterais bem desenvolvidos, arredondados na região apical e esta, com pontuações, cerdas longas e esparsas. Lobos laterais quase do mesmo tamanho que o lobo médio (pênis ou sifão), este com o ápice afilado. O lobo médio não é totalmente esclerotizado, apresentando internamente, parte membranosa. Falobase cônica, largura da base quase que duas vezes menor que a do ápice e este, com uma concavidade medianoapical.

A quantidade de segmentos abdominais não corresponde à de uroesternitos visíveis, tanto em machos quanto em fêmeas, pois os últimos urômeros ficam retraídos por baixo do quinto urômero. Levantando-se levemente o quinto esternito, é possível visualizar o sétimo e o oitavo segmento nos machos e apenas o sétimo nas fêmeas, exatamente como descreveu DE NADAI (2005). A presença de segmentos abdominais retraídos, também foi verificada por NELSON (1994) em buprestídeos do gênero *Acmaeodera*. A forma da margem posterior no sétimo uroesternito, que é arredondada nas

fêmeas e pontiaguda nos machos de *L. nigerrima*, já tinha sido descrita por DE NADAI *et al.* (2005) que a classificou como útil para a sexagem em algumas espécies de *Lampetis*. Da mesma maneira, a forma da margem posterior do quinto uroesternito, arredondada para fêmeas e com suave recorte para os machos já havia sido registrada por DE NADAI *et al.* (2005) para fêmeas de *L. nigerrima*, *L. instabilis* (Castelnau e Gory) e *L. roseocarinata* Thomson. As características genitais aqui descritas para fêmeas de *L. nigerrima* corroboram as registradas por GARDNER (1989) para a família Buprestidae.

As cerdas presentes nos coxitos parecem ter função sensorial, capazes de identificar locais adequados para postura (SCUDER 1971). Fêmeas de *L. nigerrima* depositam seus ovos em orifícios ou cascas de madeiras de tocos de árvores decadentes (RIBEIRO *et al.* 2001).

A genitália externa masculina é responsável pela cópula e pela inseminação (MATSUDA 1976). As estruturas dispostas em torno do lobo mediano de *L. nigerrima* servem para proteção (SCUDDER 1971) e elas se apresentaram dentro dos padrões da família Buprestidae, como registrado por VOLKOVISTH & LIBERTO (2002) em *A. guayarmina* Vokovitsh & Liberto e em *A. cisti*. Estes autores, entretanto, só conseguiram diferir estas duas espécies através da forma do edeago. A forma dos parâmeros, bilobada em *L. nigerrima*, contradiz o que GARDNER (1989) registrou como característica da família, a qual deveria ser trilobada.

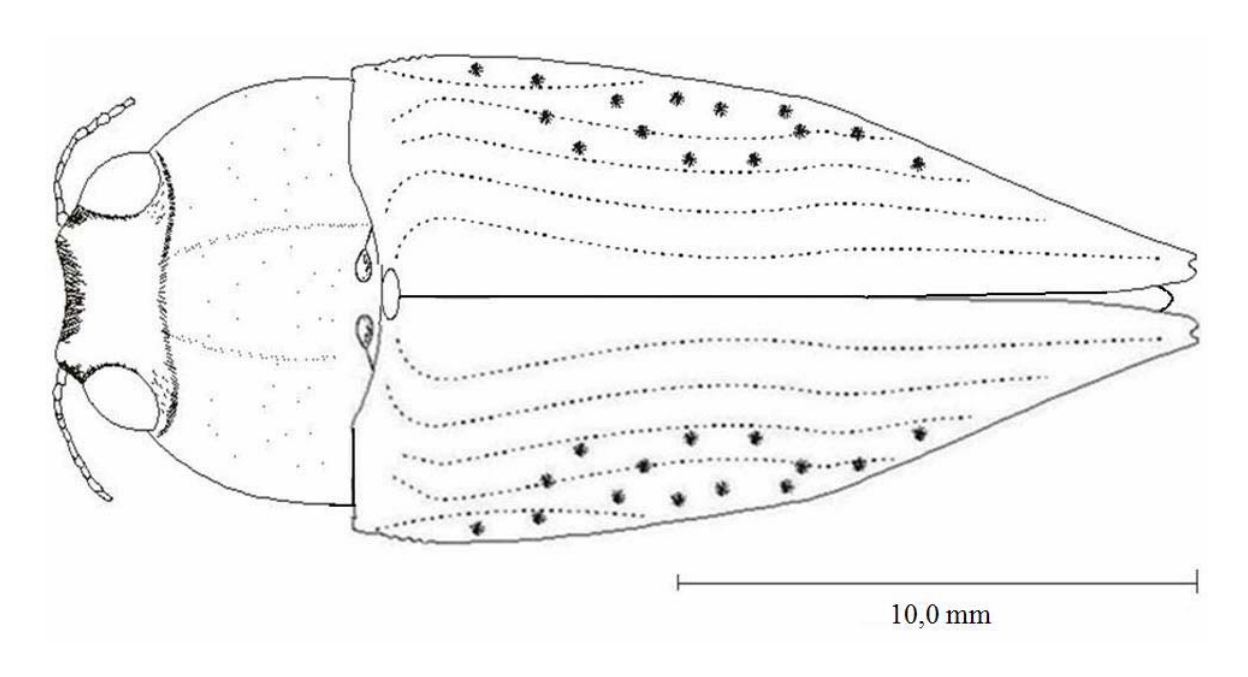
#### **CONCLUSÕES**

*Lampetis nigerrima* foi redescrita de forma detalhada pela primeira vez sendo evidenciadas características importantes para sua identificação.

As novas informações morfológicas obtidas são, principalmente, as descrições morfológicas das antenas, olhos, peças bucais, pernas, élitros, asas membranosas, superfície external, área uroesternal e as descrições morfológicas das genitálias de machos e fêmeas.

Este conjunto de novas informações amplia consideravelmente o conhecimento morfológico sobre esta importante espécie de besouro desfolhador de essências florestais no Brasil.

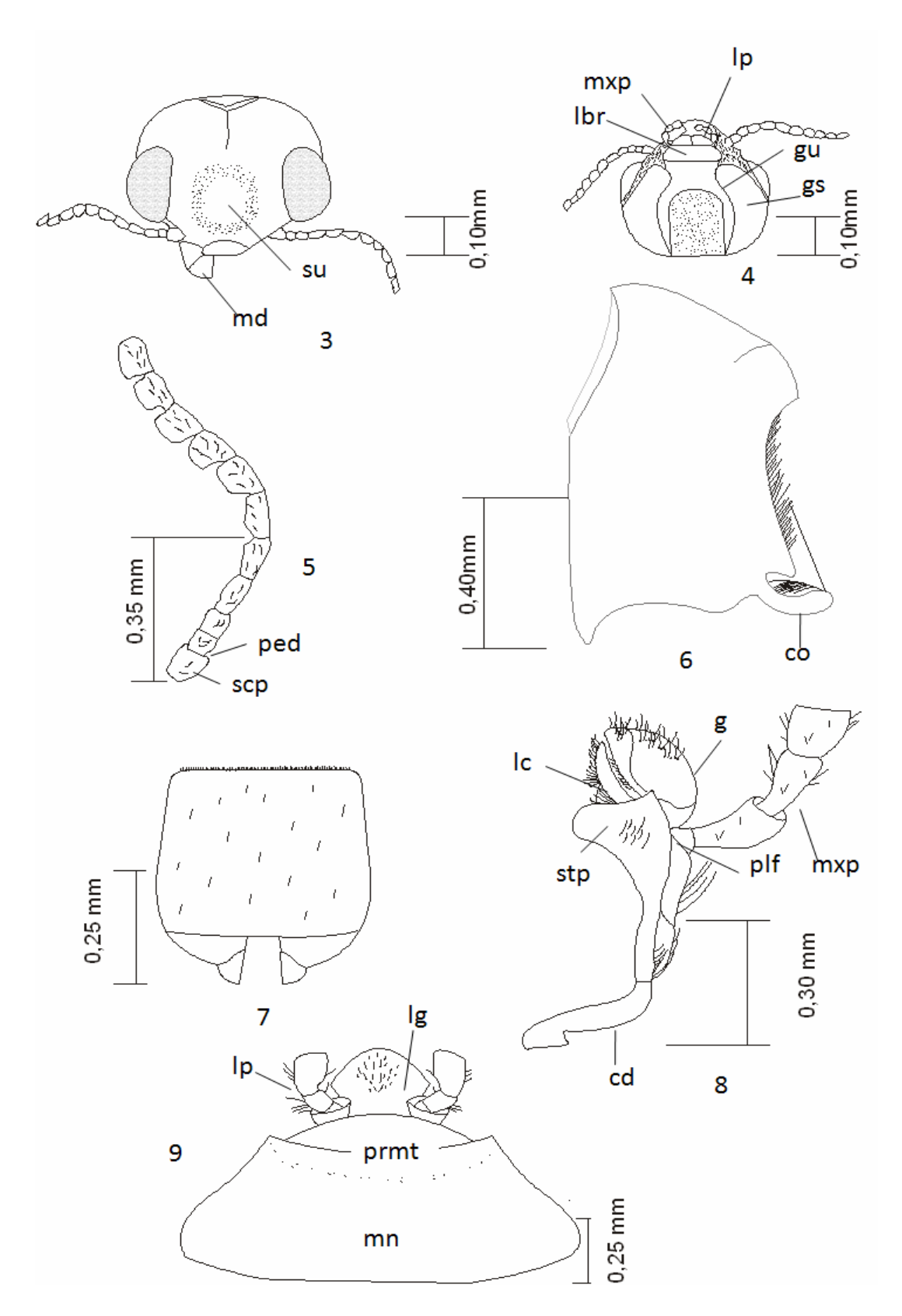
# **FIGURAS**



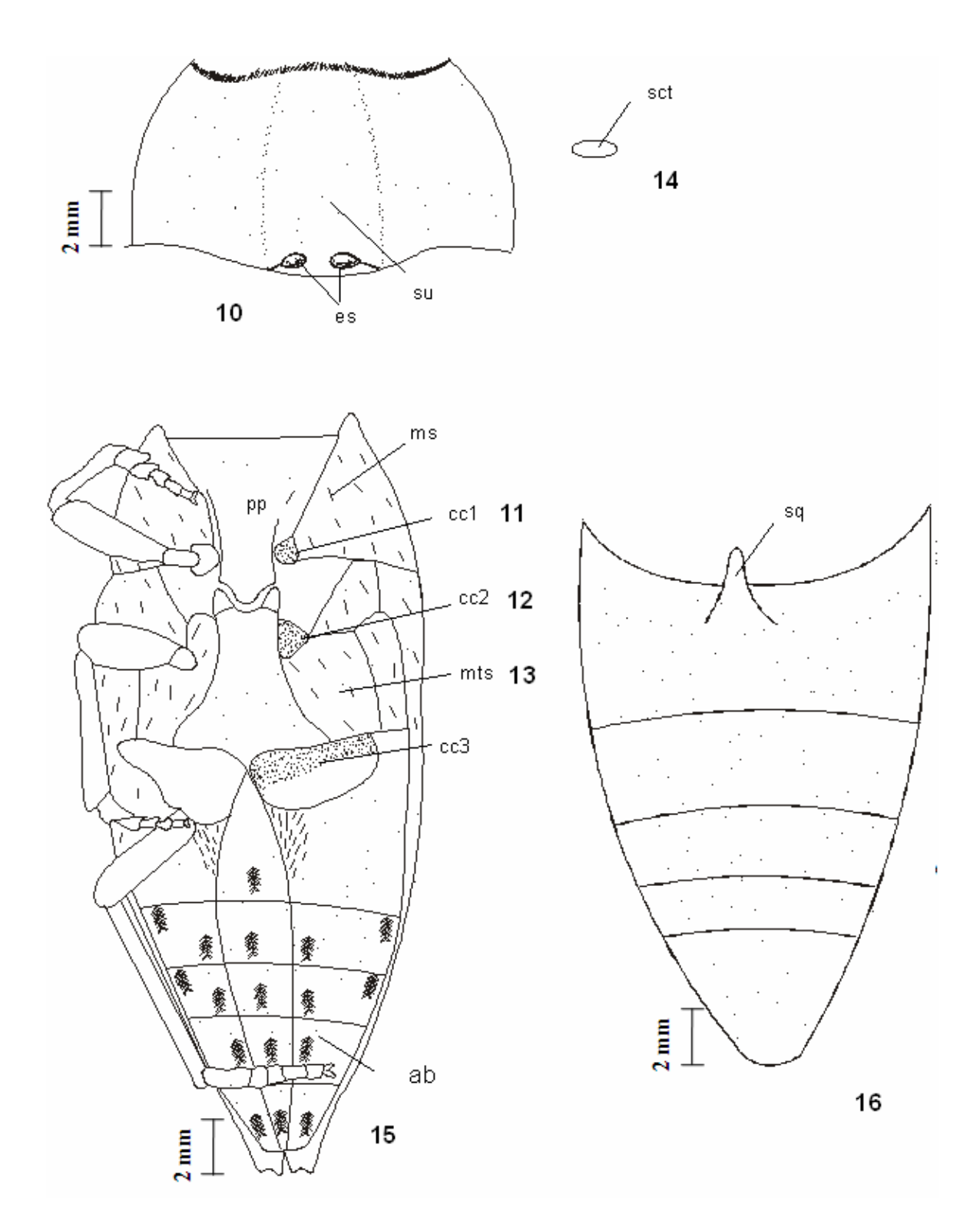
**Figura 1.** Desenho esquemático de *Lampetis nigerrima* (Kerremans, 1897), vista dorsal, fêmea adulta.



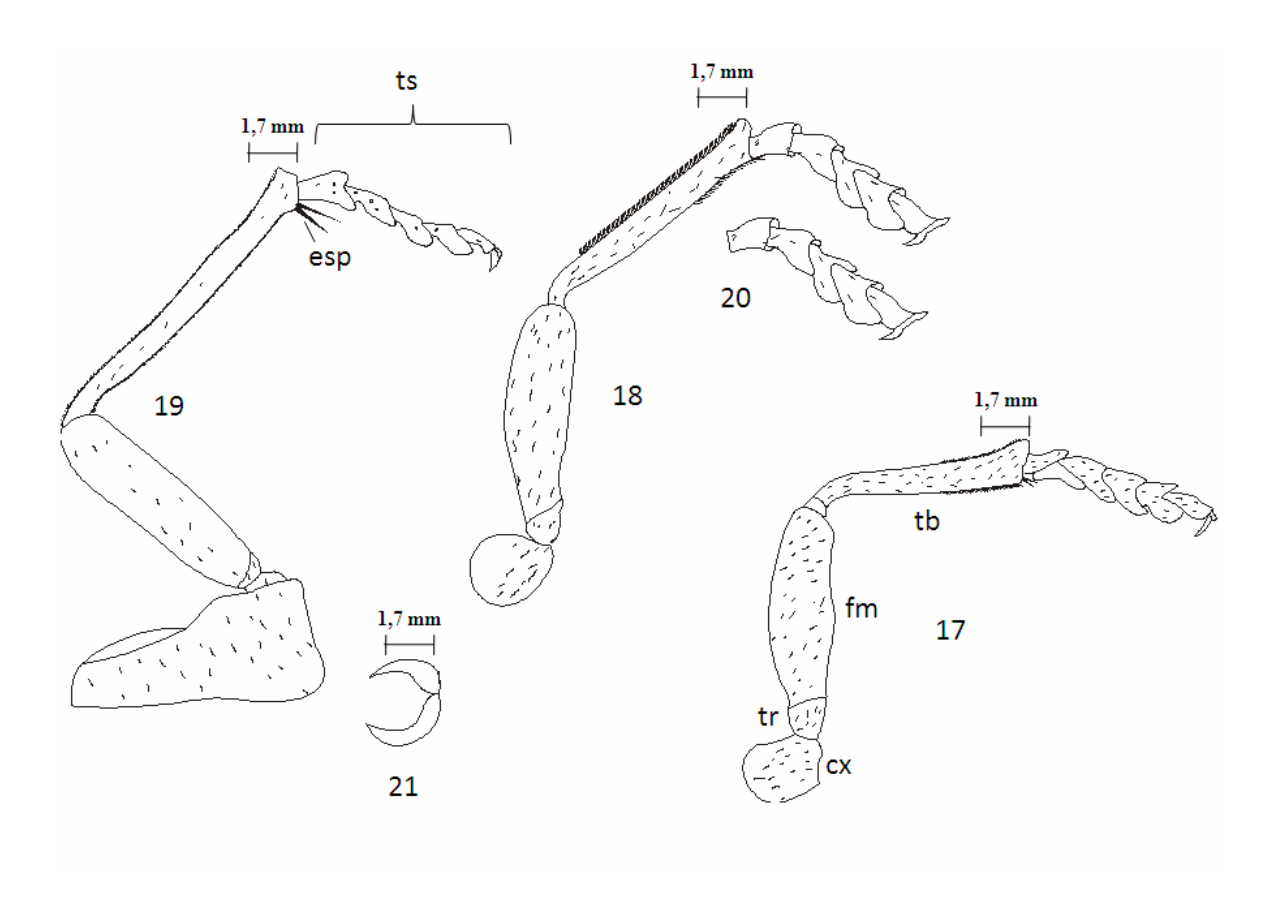
Figura 2. Lampetis nigerrima (Kerremans, 1897), vista dorsal, fêmea.



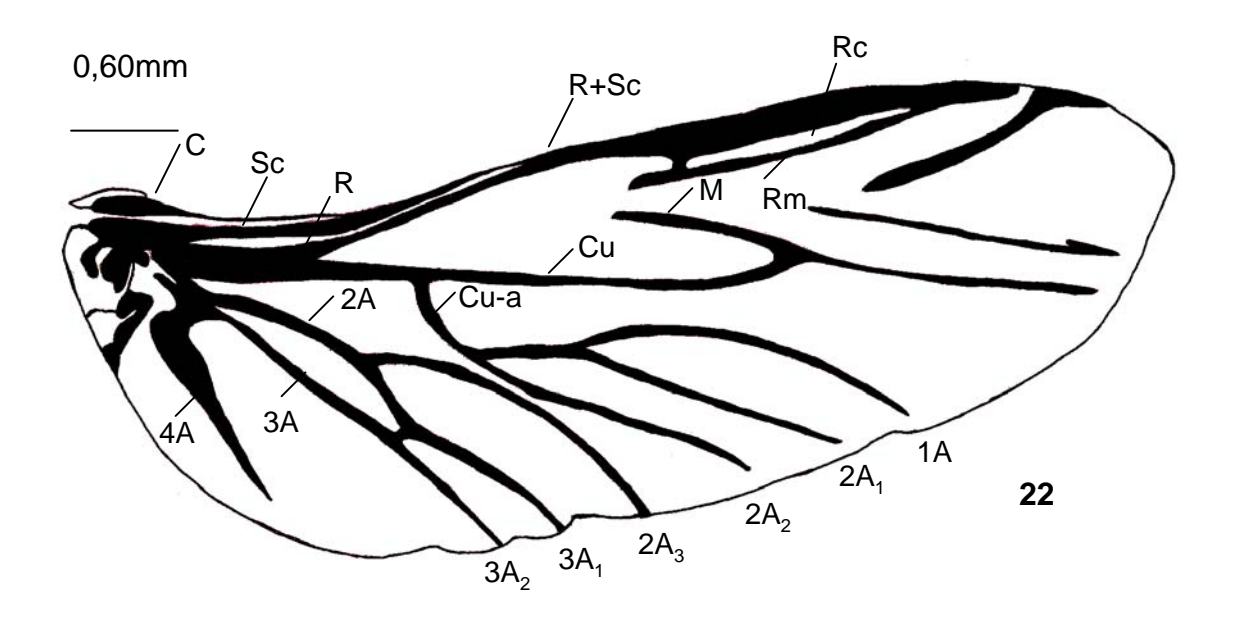
**Figuras 3-9.** *Lampetis nigerrima* (Kerremans, 1897). 3) cabeça, vista frontal; 4) cabeça, vista ventral; 5) antena; 6) mandíbula vista dorsal; 7) labro; 8) maxila, vista ventral; 9) lábio vista ventral. cd- cardo, co- côndilo, g- gálea, gu- gula, gs- sutura gular, lbr- labro, lg- lígula, lc- lacínia, lp- palpo labial, md- mandíbula, mn- mento, mxp- palpo maxilar, ped- pedicelo, plf- palpífero, prmt- premento, scp- escapo, stp- estipe, su- sulco.



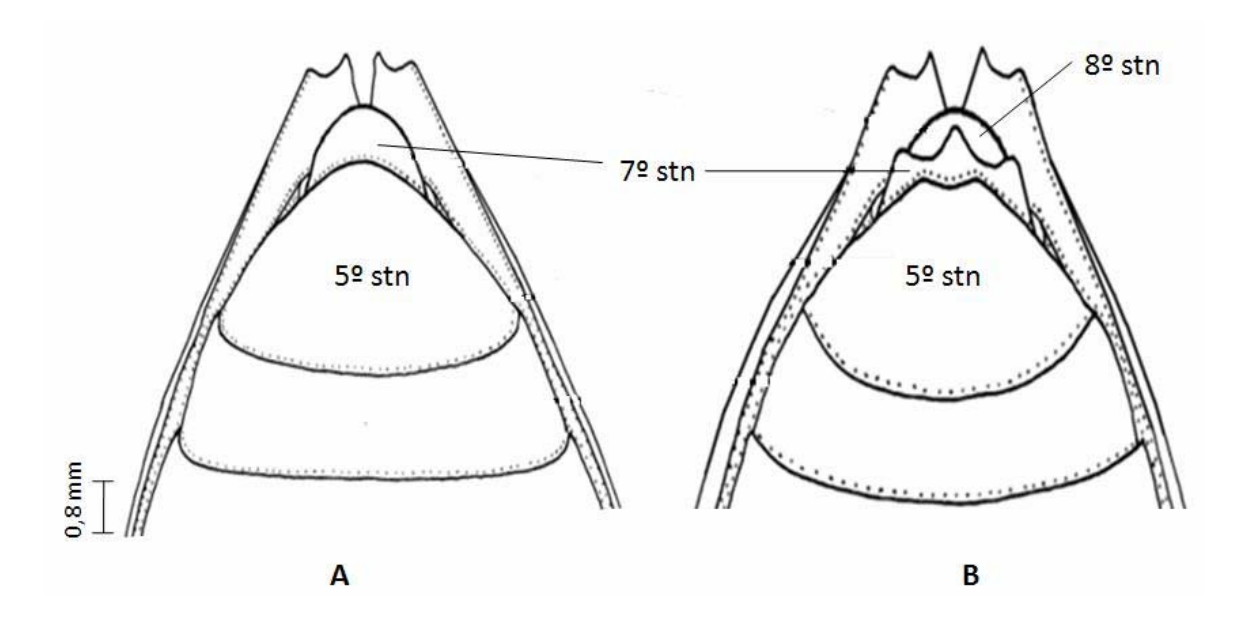
**Figs 10-16.** *Lampetis nigerrima* (Kerremans, 1897). 10) pronoto; 11) proesterno; 12) mesoesterno; 13) metaesterno; 14) escutelo; 15) abdome; 16) quilha. ps- proesterno, cc1-cavidade coxal anterior, pp- processo proesternal, ms- mesoesterno, mts- mestaesterno, cc2- cavidade coxal média, cc3- cavidade coxal posterior, sct- escutelo, es- espiráculo, s-sulco, ab- abdome, sq- saliência da quilha.



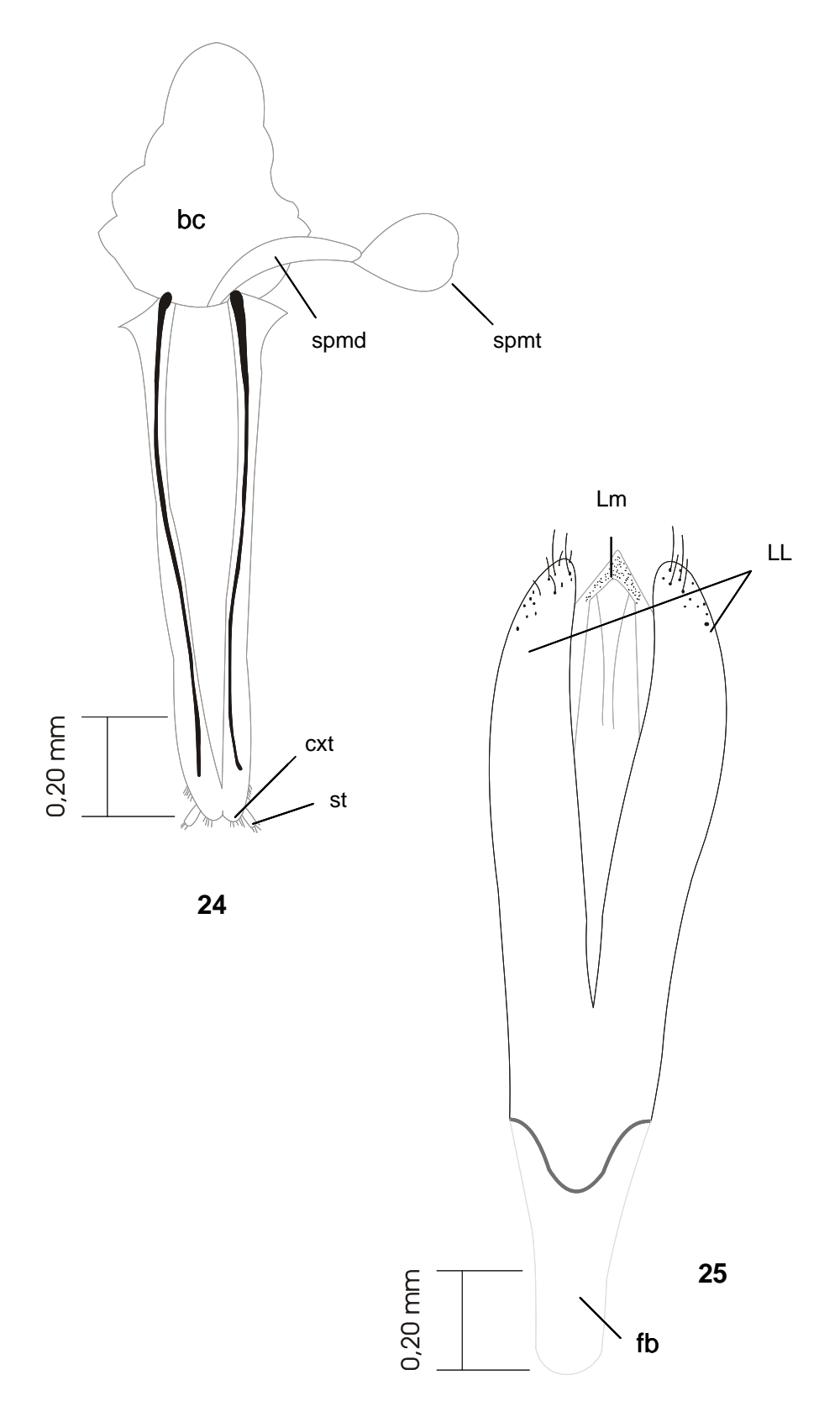
**Figuras 17-21.** *Lampetis nigerrima* (Kerremans, 1897). 17) perna anterior; 18) perna mediana; 19) perna posterior; 20) tarso; 21) garra tarsal. cx- coxa, tr- trocânter, fe- fêmur, ti- tíbia, esp- esporão, trs- tarso.



**Figura 22.** *Lampetis nigerrima* (Kerremans, 1897). Asa membranosa posterior. C- costa, Sc- subcostal, R- radial, Rc- célula radial, M- mediana, Rm- radial mediana, Cu- cubital, Cua- cubital anal, A- anal.



**Figura. 23.** *Lampetis nigerrima* (Kerremans, 1897). Esquema da vista ventral dos últimos uroesternitos. A) fêmea; B) macho. stn- esternito.



**Figuras 24-25.** *Lampetis nigerrima* (Kerremans, 1897). 24) genitália feminina, vista dorsal; 25) genitália masculina, vista dorsal. cxt- coxito, st- estilo, spmd- espermoduto, spmt- espermateca, LL- lobo lateral, Lm- lobo médio, fb- falobase, bc- bolsa copulatória.

### REFERÊNCIA BIBLIOGRÁFICA

ANJOS, N. & MAJER, J.D. Leaf-eating beetles in Brazilian eucalypt plantations. **School of Environmental Biology Bulletin**, v. 23, n.1, p.10-11, 2003.

BELLAMY C.L. An illustrated summary of the higher classification of the Superfamily Buprestoidea (Coleoptera). **Folia Heyrovskyana** Suppl. v.10, p.1-197, 453 col. Phot, 2003.

BELLAMY, C. L. & M. G. VOLKOVITSH. Chapter 17. Buprestoidea Crowson, 1955, p.461-468. *In*: R. G. Beutel & R. A. B. Leschen (Eds.). Handbook of Zoology, Volume IV, Arthropoda: Insecta, Part 38, **Coleoptera, Beetles, Volume 1: Morphology and Systematic**. W. de Gruyter, Berlin, New York, 567p. 2005.

BELLAMY, C.L. A new species of *Nesotrinchus obenberger* from Tonga (Coleoptera: Buprestidae), **The Coleopterists Bulletin**, v.41, n.2, p.101-105, 1987.

BÍLÝ, S. Two new species of *Agrilus roscidus* species-group room Central Europe (Coleoptera: Buprestidae). **Acta Etomologica Bohemoslov**, v.88, n.1, p.371-375, 1991.

BORROR, D.J., C.A. TRIPLEHORN & N. F. JOHNSON. **An introduction to the study of insects.** Sixth Edition. Saunders College Publishing. 875p. 1989.

CARVALHO, M.B.; ARRUDA, E.C.; ARRUDA, G.P.A. **Glossário de Entomologia**. 2. d. Rev. Recife: UFRPE- Departamento de Biologia, 342p. 1977.

CHAPIN, J.B. The Coccinellidae of Louisiana (Insecta: Coleoptera). Louisiana: Louisiana State University/ Agricultural and Mechanical College/Center for Agricultural Sciences and Rural Development, **Bulletin**, n.682, 87p. 1974.

COBOS, A. Notas sobre bupréstidos neotropicales XVVII. Especies y subspecies nuevas. EOS, **Revista Espanhola de Entomologia**, v.44, p.19-52, 1968.

CORONA, A.MA.; MORRONE, J.J. Track Analysis of the Species of *Lampetis* (*Spinthoptera*) Casey, 1909 (Coleoptera: Buprestidae) in North America, Central America, and the West Indies. **Caribbean Journal of Science**, v. 41, n.1, p.37-41, 2005.

CROWSON, R.A. On the Dryopoid affinities of Buprestidae. The Coleopterists. **Bulletin**, v.36, n.1, p.22-25, 1982.

- DE NADAI, J. **Biologia de** *Lampetis nigerrima* (**Kerremans, 1897**) (**Coleoptera: Buprestidae**) **em eucalipto.** 2005. 44p. Dissertação (Mestrado em Entomologia Florestal)- Universidade Federal de Viçosa.
- DE NADAI, J.; ANJOS, N. dos; CORDEIRO, G. Aspectos da biologia de *Lampetis nigerrima* (Kerremans) (Coleoptera: Buprestidae) em híbridos de *Eucalyptus grandis* e *Eucalyptus urophylla*. In: SIMPÓSIO BRASILEIRO DE PÓS-GRADUAÇÃO EM CIÊNCIAS FLORESTAIS, IV, UFSP, 2006. **Anais...** Piracicaba, SP, 28 a 30 de agosto de 2006.
- DE NADAI, J.; ANJOS, N.; SOUZA, R.M.; SILVEIRA, R.D. Dimorfismo sexual em *Lampetis* spp. (Coleoptera: Buprestidae). **Acta Biológica Leopoldensia,** v. 27, n.1, p.43-46, 2005.
- ERICHSON, W.F. **De fabrica et usu antennarum in Insectis**, p.7, fig. D et E, I-3. 1857.
- GARDNER, J.A. Revision of the genera of the tribe Stigmoderini (Coleoptera: Buprestidae) with a discussion of phylogenetic relationships- Invertebrate Taxonomy v.3, p.291-361, 1989.
- GEOFFROY, E.L. **Histoire abrégée des Insectes se trouvant aux environs de Paris**. Tome I, Paris, v.1, 523p. 1785.
- GOOD, H.G. Wing venation of the Buprestidae. **Annals of the Entomological Society of America**, v.38, p.251-272, 1925.
- HAFEZ, M. & EL-ZIADY, S. Studies on the biology of *Hyperaspis vinciguerrae* Capra, with a full description of the anatomy of the fourth stage larva (Coleoptera: Coccinellidae). **Bulletin Society Fouad first Entomology** v. 36, p.211-240, 1952.
- HASTIR, P. & GASPAR, C. 2002. Les « richards » (Coleoptera Buprestidae) de la faune de Belgique: éthologie, phénologie, classification et systématique. **Notes** fauniques de Gembloux, n.47, p.3-40, 2002.
- HODEK, I. Biology of Coccinellidae. Prague: Junk/Academia, 260p. 1973.
- HOLLOWAY, B. A. Anthribidae (Insecta: Coleoptera). Fauna of New Zealand 3. Wellington, New Zealand. Science Information Division, DSIR. 193p. 1982.
- HOŁYŃSKI, B. R. Taxonomical, zoogeographical and phylogenetical relations among Indo-Pacific *Psiloptera* DEJ., *Dicercomorpha* DEYR., and related genera (Coleoptera: Buprestidae). Dissertation. Polish Academy of Sciences Museum and Institute of Zoology Warszawa 198p. 1999.
- HORNBURG. A new *Cylindromorphoides* Kerremans, 1903 from the "Gran Sabana" in Venezuela (Coleoptera: Buprestidae). **Zootaxa** v.130, p.1-6, 2003.
- KERREMANS, C. Coleoptera, Serricornia, Fam. Buprestidae, 2. Wytsman, P., (ed.). Genera Insectorum, v.12 b, p.49-112. Wytsman, Bruxelles, 1903.
- KERREMANS, C. **Monographie des Buprestids**, 5. Chalcophorini: Psilopterites. Janssens, Bruxelles, 1910.

- KOGAN, M. Estudos taxonômicos e biológicos sobre buprestídeos minadores do gênero *Pachyschelus solier*, 1833, com a descrição de uma espécie nova (Insecta, Coleoptera). **Memória do Instituto Oswaldo Cruz**, 62 (fasc. Único), p.63-76, 1964.
- KOVÁŘ, I. Morphology and Anatomy In: HODEK, I. & A. HONĚR **Ecology of Coccinellidae.** Kluver Academic Publishers. 464p. 1996.
- KUKALOVÁ-PECK, J. & J. F. LAWRENCE. 1993. The evolution of the hind wing in Coleoptera. **The Canadian Entomologist** v.125, p.181-258, 1993.
- KUROSAWA, Y. Reorganization of the Genus *Psiloptera* (Coleoptera: Buprestidae). **Japanese Journal of Entomology**, v.61, n.3, p.577-583, 1993.
- LIMA, A. C. **Insetos do Brasil**. Rio de Janeiro, Escola Nacional de Agronomia. v. 7, Coleópteros, 372 p. (Série Didática, 9), 1952.
- LIMA, A. C. **Insetos do Brasil**. Rio de Janeiro: Escola Nacional de Agronomia. 273p. (Série Didática, 12), 1956.
- LIMA, A. C. **Insetos do Brasil**. Rio de Janeiro: Escola Nacional de Agronomia. 323p. (Série Didática, 10), 1953.
- LIMA, I.M.M. Morfologia ultra-estrutural de *Zagloba beaumonti* Casey, 1899 (Coleoptera, Coccinellidae), predador de *Diaspis echinocacti* (Bouché, 1833) (Coleoptera, Diaspididae), Cochonilha-da-palma-forrageira, no nordeste do Brasil. 1992. 124p. Dissertação (Mestrado em Ciências)- Universidade Federal Rural de Pernambuco- PE.
- MATSUDA, R. **Morphology and evolution of the insect abdome**: with special reference to developmental patterns and their bearings upon systematic. Oxford: Pergamon. p.71-80, 1976.
- MATSUDA, R. Morphology of mouthparts in different orders: the Coleoptera. In: MATSUDA, Ryuichi. **Morphology and evolution of the insect head**. Michigan: The American Entomological Institute, p.64-68, (Memoirs of the A.E.I., 4), 1965.
- NELSON, G.H. Six new species of *Acmaeodera* Eschscholtz from México (Coleoptera: Buprestidae). **Coleopterists Bulletin**, v.48, n.3, p.272-282. 1994.
- NELSON, G.H.. A review of the genus *Psiloptera* subgenus *Lampetis* Spinola in the United States (Coleoptera, Buprestidae). **Coleopterists Bulletin.**, v.40, p.272-284, 1986.
- PETERSON, A. **Entomological techniques:** how to work with insects. 10. ed. Los Angeles: Entomological Reprint Specialists, p.8-9, 64-66, 1976.
- RIBEIRO, G.T.; ZANÚNCIO, J.C.; SOSSAI, F.M.; ZANÚNCIO JUNIOR, J.S.O besouro Buprestidae em reflorestamento. **Folha Florestal**, n. 99, p.19-20, 2001.
- RIBEIRO-COSTA, C. & J.A.P. SILVA. Morphology of *Meibomeus cyanipennis* (Sharp) (Coleoptera: Bruchidae). **The Coleopterists Bulletin,** v.57, n.3, p.297-309, 2003.
- SAKALIAN, V. & LANGOUROV, M. Colors trap a method for distributional and ecological investigations of Buprestidae (Coleoptera). **Acta Society Zoology Bohem**. V.68, p.53–59, 2004.

SCUDDER, G.G.E. Comparative morphology of insect genitalia. **Annual Review of Entomology**, v.16, p.379-406, 1971.

SILVA, A.S., ALMEIDA, L.M. & A.C. BUSOLI. Morfologia dos imaturos e do adulto de *Coccidophilus citricola* Brèthes (Coleoptera, Coccinellidae, Sticholotidinae), predador de cochonilhas-de-carapaça (Hemiptera, Diaspididae) de citros. **Revista Brasileira de Entomologia** v.49, n.1, p.29-35,2005.

STUART, A.M. A note on secondary sexual dimorphism in *Nascioides enysi* (Asharp), (Coleoptera: Buprestidae). **New Zealand Entomologist**, v.1, n.5, p.14-15, 1955.

SVOBODA, P. Two new species of *Anthaxia* from Turkey (Coleoptera: Buprestidae). **Folia Heyrovskyana**, v.2, n.2, p.64-67, 1994.

THONSON, M.J. **Typi Buprestidarum Musaei Thonsomsoniani**. 103p. E. Deyrolle, Paris, 1878.

VOLKOVITSH, M.G. & KALASHIAN, M.Yu. A new species of *Sphenoptera* (Subgenus *Chrysoblemma*) from Iran with taxonomic notes on some Palaearctic species of *Sphenoptera* from subgenera *Chrysoblemma*, *hoplistura* and *Tropeopeltis* (Coleoptera: Buprestidae), **Zoological Institute**, **StPetersburg**, ZOOSYSTEMATIC ROSSICA, v.11, p.331-342, 2003.

VOLKOVITSH, M.G. A new subgenus and new species of the buprestid tribe Acmaeoderini (Coleoptera: Buprestidae: Polycestinae) from the Palaearctic and Oriental regions. **Proceedings of the Russian Entomological Society**. v.77, p.34-43, 2006.

VOLKOVITSH, M.G. *Acmaeodera* (*Acmaeodera*) lopatini sp. n. – New Species of Buprestidae (Coleoptera) from Kyrgyzstan. In.: Konstantinov, Tishechkin, Penev (eds.). **Contributions to Systematics and Biology of Beetles Papers**, Lopatin. p.357-363, 2005.

VOLKOVITSH, M.G. The comparative morphology of antennal structures in Buprestidae (Coleoptera): evolutionary trends, taxonomic and phylogenetic implications. Part 1. – **Acta Musei Moraviae, Scientiae Biologicae** v.86, p.43-169, 2001.

VOLKOVITSH, M.G.; & LIBERTO, A. A new species of *Acmaeodera* Schscholtz, 1829 from Gran Canaria and Tenerife and notes on *Acmaeodera* (*Acmaeotethya*) *cisti* Wollaston, 1862 (Coleoptera: Buprestidae), **Vieraea**, v.30, p.9-17, 2002.

## CAPÍTULO II

CONSEQUÊNCIAS DO ATAQUE DE *Lampetis nigerrima* (KERREMANS, 1897) (COLEOPTERA: BUPRESTIDAE) E PODA DE CORREÇÃO EM CLONE DE EUCALIPTO

**RESUMO**: Este trabalho teve o objetivo de avaliar os efeitos do ataque de L. nigerrima sobre eucaliptos com três meses de idade e da poda de correção do crescimento, aplicada cinco meses depois do ataque. Os estudos foram realizados em plantações de híbridos de eucaliptos clonados (Eucalyptus grandis vs E. urophylla), no município de Grão Mogol, MG e no Laboratório de Manejo Integrado de Pragas Florestais da Universidade Federal de Viçosa. No campo, utilizou-se delineamento em blocos casualizados, com quatro repetições de 100 árvores por tratamento. Os tratamentos consistiram em "Árvores não atacadas e não podadas"; "Árvores atacadas e que receberam poda de correção" e em "Árvores atacadas pelo besouro e que não receberam poda de correção". O crescimento das árvores foi avaliado até os 32 meses de idade, com base na altura total, diâmetro e na qualidade do fuste principal. Como resultados, obtiveram-se que árvores não atacadas por besouros de L. nigerrima e não podadas apresentaram, 29 meses após o ataque do besouro, volume de madeira maior do que árvores atacadas e não podadas. A poda de correção fez diminuir as perdas em crescimento e aumentar a qualidade dos fustes de árvores atacadas em comparação com aquelas sem poda. O ataque de L. nigerrima a plantios de eucalipto prejudicou significativamente a quantidade e a qualidade da produção de madeira de forma que este inseto pode ser considerado como mais uma praga florestal importante na silvicultura brasileira.

Palavras-chave: Eucalipto, entomologia, besouro desfolhador, poda, madeira

DAMAGE EFFECTS OF Lampetis nigerrima (KERREMANS, 1897)

(COLEOPTERA: BUPRESTIDAE) AND CORRECTION PRUNING ON CLONED

**EUCALYPT PLANTATION** 

**ABSTRACT**: This work deals to the effect of tree damage by *Lampetis nigerrima* 

(Kerremans, 1897) and to the correction pruning on the tree development under field

conditions. Activities were carried out in a commercial eucalypt plantation of cloned

hybrid (Eucalyptus grandis vs E. urophylla), in the Grão Mogol County, Minas Gerais

State, Brazil. A randomized experimental 4-block design was used; each experimental

unity had 100 trees randomly marked. Treatments were "Trees damaged by beetles, but

receiving a correction pruning 5 months latter"; "Damaged, but not pruned trees" and

"Trees with no damage and no pruning" (=Control). Full height and breast diameter and

stem quality were evaluated 29 months after insect outbreak and two years after tree

pruning. As results, we found control trees got higher wood production than damaged

trees. Correction pruning improved the stem quality and the wood production in relation

to that observed on damaged/not pruned trees. It is concluded that L. nigerrima beetle is

capable to cause significant losses to the wood production in which control is merited and

it may be considered one more and very important forest pest in the Brazilian eucalypt

plantations.

**Key words**: Forest entomology, leaf eating beetle, eucalypt, tree pruning

36

# INTRODUÇÃO

A produção de eucalipto vem empregando o recurso da clonagem de material genético a fim de manter características da planta-mãe, de modo a obter monoculturas homogêneas e de rápido crescimento, talhões com desenvolvimento uniforme e matéria-prima de qualidade uniforme (ALFENAS *et al.* 2004). No entanto, sabe-se que a utilização de quaisquer monoculturas pode favorecer a ocorrência de pragas devido ao desequilíbrio na estrutura da biodiversidade original e à grande oferta de alimento para os insetos (SCHOWALTER *et al.* 1986). Entre os insetos que podem se tornar nocivos a estas monoculturas, em especial, encontram-se os besouros desfolhadores que podem ser considerados como um dos principais grupos de pragas em plantações de eucaliptos, no mundo (OHMART e EDWARDS, 1991).

O ataque de insetos desfolhadores a plantações florestais resulta, entre outras conseqüências, na diminuição da área foliar, implicando em reduções na taxa fotossintética (SHEPERD 1994). Como a produção de madeira depende da fotossíntese ocorrente nas folhas, qualquer fator que altere a extensão da área foliar nas árvores pode afetar a produção do material lenhoso (CEULEMANS & SAUGIER 1991). Além disso, pode resultar em alterações na forma do fuste (ELEK *et al.* 2000) e alterar negativamente a tendência normal de crescimento das árvores (MENDES 1999 e ANJOS *et al.* 2002) podendo representar fatores limitantes na produção primária, na qualidade da madeira produzida e até mesmo na sobrevivência das árvores cultivadas (SHEPHERD 1994 e CRUZ 1997).

Entre os principais besouros desfolhadores de eucaliptais no Brasil, destacam-se os da família Buprestidae, que atacam as folhas novas, roem os galhos tenros e decepam o ponteiro principal de árvores em plantações comerciais (ANJOS & MAJER 2003 e DE NADAI 2005). Apenas um inseto adulto é capaz de destruir o ramo principal de uma árvore de até dois metros de altura (RIBEIRO et al. 2001). Este decepamento se constitui num dos principais tipos de injúrias porque, além da perda foliar correspondente, sempre resulta em perda da dominância apical, paralisação do crescimento em altura e, consequentemente, estímulo para o desenvolvimento de galhos laterais que passam a competir com o fuste principal (DE NADAI 2005). Entre os vários buprestídeos de interesse florestal no Brasil, os do gênero Lampetis vem alcançando posição de destaque em plantações comerciais de eucalipto (RIBEIRO et al. 2001, ANJOS & MAJER 2003 e DE NADAI 2005). Lampetis nigerrima (Kerremans, 1897), ou besouro "Cai-cai-depintas-brancas", é uma destas espécies destacadas como importantes para a eucaliptocultura brasileira. Ataques dessa espécie de besouro desfolhador em plantações comerciais de eucaliptos foram registrados ultimamente por ANJOS & MAJER (2003), ANJOS et al. (2004), DE NADAI et al. (2004) e DE NADAI (2005). As consequências do ataque de L. nigerrima às árvores de eucalipto ainda são mal conhecidas e o embasamento técnico para a tomada de decisão em casos de surtos populacionais desta praga, ainda é muito deficiente.

No Brasil, há carência de estudos científicos que investiguem as perdas causadas por besouros desfolhadores do grupo dos buprestídeos às plantações de eucalipto, bem como sobre as possíveis técnicas de recuperação das árvores atacadas. Algumas técnicas de manejo, como adubação e poda controlada (desrama artificial), são empregadas como forma de melhorar a produtividade da cultura do eucalipto (PIRES *et al.* 2000; SCHNEIDER 1993 e BARROS *et al.* 1981) e poderiam ser usadas para auxiliar na recuperação de árvores danificadas pelo ataque de insetos-praga.

O presente estudo teve como objetivo o de avaliar os efeitos do ataque de *L. nigerrima* sobre o crescimento de eucalipto híbrido, clonado e em plantações comerciais, bem como o de avaliar o efeito da poda de correção sobre a qualidade de tronco de árvores danificadas por estes besouros desfolhadores.

#### REVISÃO DE LITERATURA

A produção de madeira a partir de florestas nativas vem sendo gradativamente substituída pela produção proveniente de culturas de espécies de árvores exóticas como o eucalipto. Os plantios visam atender à significativa e crescente demanda dos setores energético, siderúrgico, de celulose, papel e moveleiro, diminuindo a pressão de desmatamento nos remanescentes de árvores nativas.

Entre os vários aspectos a serem considerados na implantação de povoamentos de alta produção, FONTAN (2007) citou o melhoramento genético, que por sua vez, inclui os plantios clonais. No caso do eucalipto, a silvicultura clonal é importante por propiciar redução na idade de colheita, maior produtividade e melhor qualidade, racionalização das atividades operacionais e redução nos custos de colheita e transporte. Um dos principais fatores que fazem diminuir a produção florestal é a ocorrência de surtos de insetos desfolhadores (KULMAN 1971; COULSON & WITTER 1984) que, segundo OHMART & EDWARDS (1991), são as principais pragas existentes em cultivos de eucalipto em todo o mundo. Para repor as partes vegetais perdidas no desfolhamento, a árvore faz um desordenado dos fotoassimilados acarretando efeitos significativos desenvolvimento e na produção (DICKSON 1991). No caso dos besouros desfolhadores, SHEPHERD (1994) destacou a redução na taxa fotossintética, enquanto ANJOS et al. (2002) citaram deformações nas árvores e alterações da forma do fuste. MENDES (1999) evidenciou a possibilidade de deformação da árvore em função da retenção de galhos na base do fuste e KRAMER & KOZLOWSKI (1972) constataram que galhos retidos na base do fuste das árvores podem alterar a sua forma.

OHMART *et al.* (1984) afirmaram que as conseqüências de desfolhamentos por besouros podem ser seriíssimas com o passar do tempo. Entretanto, KULMAN (1971) afirmou que os efeitos de desfolhamentos sobre o crescimento em diâmetro, em povoamentos de eucalipto, podem se manifestar de maneira diferenciada, conforme a altura do tronco e de acordo com a situação da árvore, podendo ser diferenciado entre árvores dominantes e árvores suprimidas. Já KRAMER & KOZLOWSKI (1972) mencionaram que o crescimento cambial deveria ser mais afetado pela perda de folhas, independente da causa, do que o meristemático, pois o primeiro está relacionado com a fotossíntese corrente e o segundo, com as reservas acumuladas nas árvores, devendo se manifestar de forma mais marcante a longo prazo.

No Brasil, os besouros da espécie *Lampetis nigerrima* (Kerremans, 1897) ocorrem nos estados de Minas Gerais, Bahia e Espírito Santo podendo ocorrer, também, nos estados vizinhos, onde vem se destacando como espécie de besouro desfolhador capaz de causar prejuízos aos eucaliptais, conforme noticiaram ANJOS & MAJER (2003), ANJOS *et al.* (2004), DE NADAI *et al.* (2004) e DE NADAI (2005). Entretanto, nenhum destes pesquisadores avaliou as consequências do ataque deste besouro desfolhador no desenvolvimento das árvores afetadas e nem os prejuízos decorrentes das injúrias causadas sobre a produção de eucaliptos.

Por outro lado, devem existir procedimentos silviculturais adequados para permitir a minimização das consequências do ataque de insetos desfolhadores quando ocorrerem surtos inesperados deste tipo de pragas. Diferentes técnicas de manejo têm sido empregadas no intuito de melhorar a qualidade da produção de culturas florestais, as quais poderiam auxiliar na recuperação de árvores desfolhadas pelo ataque de insetos-praga. Entre essas técnicas, pode-se citar a desrama artificial, ou poda, utilizada com o objetivo de diminuir as condições que favorecem o adelgaçamento do fuste (SCHNEIDER 1993) pois os galhos grossos retidos na base favorecem diferenças no crescimento diamétrico ao longo do caule (ANJOS 2007). Quando adequadamente aplicada, a poda melhora também as propriedades físicas da madeira por evitar a formação de partes indesejáveis (PIRES 2000; VALE 2000; ALMEIDA 2003). Entretanto, por se tratar de alterações na copa, em função da remoção de galhos e folhas, a poda quando mal conduzida, ou aplicada em excesso, pode comprometer o crescimento das árvores (ENDO & MESA 1992; PINKARD & BEADLE 1998; PIRES 2000 e CHAVES 2005) uma vez que as folhas representam a fonte produtora de assimilados. Desrama intensa pode, ainda, levar ao aumento desproporcional do tamanho da copa e dos galhos, vindo a reduzir a qualidade da madeira, bem como, reduzir a produção volumétrica das árvores. PULROLNIK (2002) observou, em povoamento de clone de *Eucalyptus grandis* e após aplicação de desrama artificial aos 20 meses de idade, elevada redução da projeção de copa das árvores em razão da remoção de galhos grossos da base da copa. ALMEIDA (2003) estudando o efeito da poda em eucaliptos, verificou que há necessidade de executá-la segundo critérios específicos para cada material clonal, em razão de diferenças existentes na arquitetura de copa, especialmente, no que se refere à distribuição de folhas ao longo da copa.

Desfolhamentos artificiais e simulações de injúrias causadas por insetos desfolhadores também já foram estudados por vários pesquisadores com o propósito de avaliar as consequências deste tipo de interferência na copa das árvores (COOPER *et al.* 1987; CANDY *et al.* 1992; ABBOTT *et al.* 1993; FREITAS e BERTI FILHO, 1994 e MATRANGOLO 1998), mas nenhuma referência sobre o uso de poda visando recuperação árvores com copas deformadas pelo ataque de besouros desfolhadores, foi encontrada até o momento.

#### MATERIAL E MÉTODOS

O trabalho foi realizado em um povoamento de clone de *Eucalyptus grandis* vs *E. urophylla* localizado no município de Grão Mogol, MG, região plana de cerrado, a 42º 48' 30''W e 16º 12' 30''S de longitude e latitude, respectivamente, com 829 m de altitude, precipitação pluviométrica média de 900 mm/ano e temperatura anual variando entre 26ºC e 30º C. O plantio foi realizado em novembro de 2004, em espaçamento 3 x 3 m entre linhas e entre plantas objetivando conduzir árvores para produção de carvão siderúrgico. O preparo do solo seguiu o sistema de cultivo mínimo, mas os tocos do ciclo de corte anterior foram retirados em toda área reformada. Nos arredores do referido povoamento haviam culturas antigas de eucalipto, pastagens e fragmentos florestais nativos da região.

O local foi utilizado devido à ocorrência de um surto populacional do besouro Caicai-de-pintas-brancas [*Lampetis nigerrima* (Kerremans, 1897)], constatado em fevereiro de 2005 quando as plantas tinham aproximadamente, três meses de idade. A caracterização deste surto foi realizada através de monitoramento baseado em dados registrados durante todo o ano, tendo como parâmetro o nível de dano econômico estimado por DE NADAI (2005). Antes e após este surto não houve registro de outro surto de insetos desfolhadores no local.

Foram utilizadas 1200 árvores em um delineamento experimental de blocos casualizados, com três tratamentos e quatro repetições. Cada unidade experimental foi constituída por 100 árvores marcadas aleatoriamente, totalizando 400 árvores por tratamento. Cada árvore recebeu uma identificação metálica presa ao tronco por fio de arame galvanizado contendo o número da árvore, da repetição e o tratamento a que

pertencia. Como bordadura, foram utilizadas as dez primeiras árvores a partir da margem do talhão.

Os tratamentos avaliados foram: T1 = árvores não atacadas pelo besouro *L. nigerrima* e não podadas (testemunha); T2 = árvores atacadas pelo besouro *L. nigerrima* e que receberam poda de correção (com poda) e T3 = árvores atacadas pelo besouro *L. nigerrima* e que não receberam poda de correção (sem poda) (Figura 1). Todas as árvores utilizadas localizavam-se no mesmo povoamento, portanto sob as mesmas condições edafoclimáticas, e receberam os mesmos cuidados silviculturais.

A poda de correção foi realizada cinco meses após o surto, coincidindo com a época mais fria do ano, sendo aplicada na porção da copa onde aconteceu o ataque dos besouros. Com uso de serrote, foram retirados apenas os galhos anormalmente grossos e retidos na base da árvore e os fustes secundários que se desenvolveram pela dominância de galhos laterais, deixando-se somente um fuste dominante, de maneira a interferir o mínimo possível na arquitetura da copa (Figura 26).

Os crescimentos em altura e diâmetro foram avaliados em julho de 2005, julho de 2006, janeiro e julho de 2007, correspondendo a 5, 17, 23 e 29 meses após o surto, nas idades de 8, 20, 26 e 32 meses. A altura total das árvores (Ht) foi obtida, na primeira medição, com o uso de trena graduada, e na segunda, terceira e quarta medições, com um hipsômetro de Suunto. O diâmetro a 1,30 m do solo (*DAP*) foi obtido a partir da leitura do *CAP*, medida a 1,30 m do terreno com auxílio de uma fita métrica. A partir dos valores de *DAP* e altura total, foi calculada a produção volumétrica de madeira em pé com casca por hectare, utilizando fator de forma igual a 0,46, como já utilizado pelas operações de inventário florestal nas plantações locais.

Para avaliar a qualidade dos fustes das árvores, um mesmo avaliador atribuiu uma nota para cada árvore, aos 8 e aos 32 meses de idade, definida com base em uma escala visual de intensidade de defeitos nos troncos, adaptada de uma metodologia descrita por ANJOS (1992), onde: Nota 1 = árvore sem tortuosidade e sem bifurcação; Nota 2 = árvore com tortuosidade e sem bifurcação e Nota 3 = árvore com tortuosidade e bifurcação (Figura 27). As árvores foram vistoriadas semestralmente pelo mesmo avaliador, com o objetivo de observar a evolução da qualidade do fuste, em função da nota atribuída aos 8 meses de idade.



Figura 26. Poda de correção sendo aplicada em árvore de eucalipto híbrido (clone de *Eucalyptus grandis* vs *E. urophylla*) com oito meses de idade, danificada anteriormente por *Lampetis nigerrima* (Kerremans, 1897). Grão Mogol, MG. 2005.

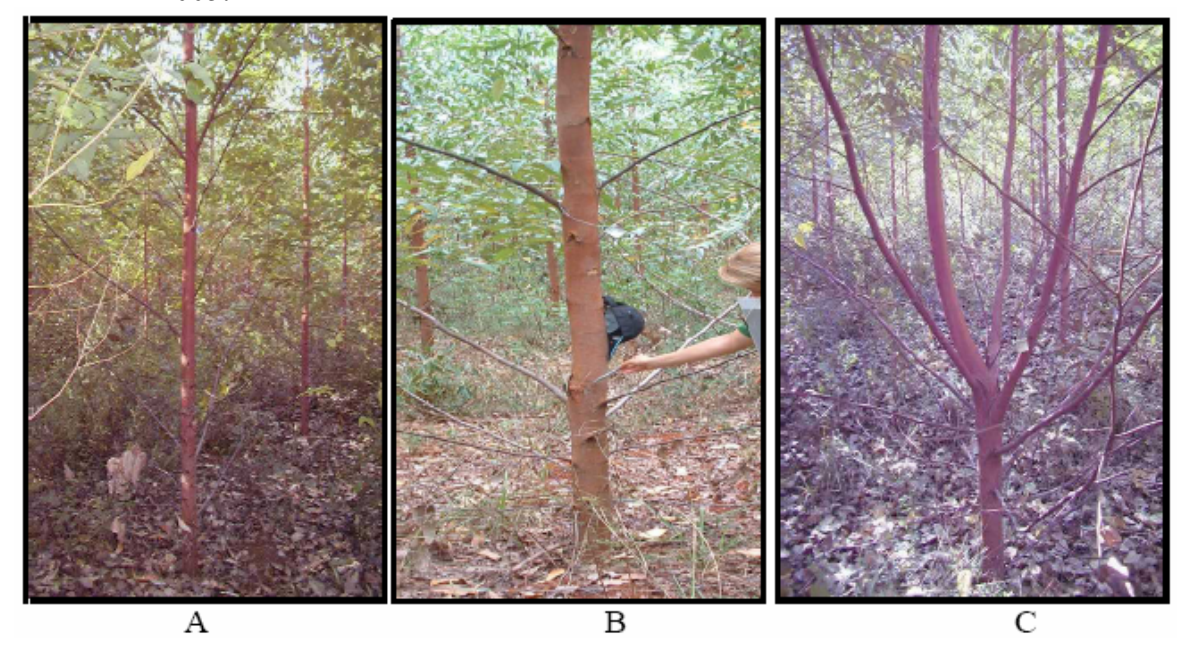


Figura 27. Eucalipto híbrido (clone de *Eucalyptus grandis* vs *E. urophylla*) com 15 meses de idade, em local de ocorrência de ataque por *Lampetis nigerrima* (Kerremans, 1897). A: Árvore não atacada e que não recebeu poda de correção (Nota 1 = testemunha,); B: Árvore atacada e que recebeu poda de correção (Nota 2); C: Árvore atacada e que não recebeu poda de correção (Nota 3). Grão Mogol, MG. 2006.

Com o objetivo de avaliar o efeito do ataque de *L. nigerrima* e da poda de correção sobre o crescimento das árvores, utilizando-se o software CURVE EXPERT 1.3 (HYAMS 2001), foram ajustadas equações de regressão, através do modelo Logístico, para estimar altura total, diâmetro e volume de madeira com casca por hectare em função da idade. Para avaliar diferenças entre as equações geradas para cada tratamento, foi aplicado o Teste L&O, proposto por LEITE E OLIVEIRA (2002), em nível de 1% de probabilidade.

## RESULTADOS E DISCUSSÃO

A Tabela 1 contém a frequência de árvores segundo a qualidade dos fustes e a idade da cultura.

Tabela 1. Freqüência percentual média de notas sobre qualidade de fustes em árvores de eucalipto híbrido (clone de *Eucalyptus grandis* vs *E. urophylla*), em local de ocorrência de ataque por *Lampetis nigerrima* (Kerremans, 1897). Grão Mogol, MG, 2005 a 2007.

Tratamento	Idade (meses)	Nota (*)		
		1	2	3
Testemunhas (Não atacadas e sem poda de correção)	8	100	0	0
	32	100	0	0
Ataandas a com noda da correção	8	0	100	0
Atacadas e com poda de correção	32	37	63	0
Atacadas a samenada da carreção	8	0	0	100
Atacadas e sem poda de correção	32	0	53	47

<sup>(\*)</sup> Nota 1 = árvore sem tortuosidade e sem bifurcação; Nota 2 = árvore com tortuosidade e sem bifurcação e Nota 3 = árvore com tortuosidade e bifurcação.

As equações de regressão ajustadas para estimar a altura total, DAP e o volume de madeira com casca, por hectare de plantações de eucalipto em local de ataque dos besouros *L. nigerrima*, submetidas ou não a poda de correção em função da idade, são apresentadas na Tabela 2. Utilizando-se destas equações, foram geradas as estimativas de

crescimento dos 8 aos 32 meses de idade visando construir as curvas de crescimento constantes nas Figuras 28, 29 e 30, respectivamente.

Tabela 2. Equações ajustadas para estimar a altura total (*Ht*), diâmetro a 1,30 m do solo (*DAP*), e volume de madeira com casca (*Vcc*), em função da idade em meses (*I*), de árvores de eucalipto híbrido (clone de *Eucalyptus grandis* vs *E. urophylla*), em local de ocorrência de ataque por *Lampetis nigerrima* (Kerremans, 1897). Grão Mogol, MG, 2005 a 2007.

Tratamentos	Equação	$r_{YjY1}$
	Altura total (m)	
Testemunhas (Não atacadas e sem poda de correção)	$Ht = 35,556368(1+18,212799e^{-0,082943795I})^{-1}$	0,95744
Atacadas e com poda de correção	$Ht = 31,454883(1+18,433143e^{-0,090184235I})^{-1}$	0,95751
Atacadas e sem poda de correção	$Ht = 32,716494(1+19,088193e^{-0,086252586I})^{-1}$	0,95129
	Diâmetro a 1,30 m do solo (cm)	
Testemunhas (Não atacadas e sem poda de correção)	$DAP = 12,516524(1+11,17777e^{-0,14762311I})^{-1}$	0,96058
Atacadas e com poda de correção	$DAP = 12,283817(1+11,566012e^{-0,14918588I})^{-1}$	0,95213
Atacadas e sem poda de correção	$DAP = 12,299084(1+12,569622e^{-0,15144719I})^{-1}$	0,94159
	Volume de madeira com casca (m³.ha <sup>-1</sup> )	
Testemunhas (Não atacadas e sem poda de correção)	$Vcc = 117,07375(1+452,55966e^{-0,229647811})^{-1}$	0,94626
Atacadas e com poda de correção	$Vcc = 113,67369(1+472,02889e^{-0,23074128I})^{-1}$	0,93011
Atacadas e sem poda de correção	$Vcc = 111,0383(1+463,65245e^{-0,22747551})^{-1}$	0,92857

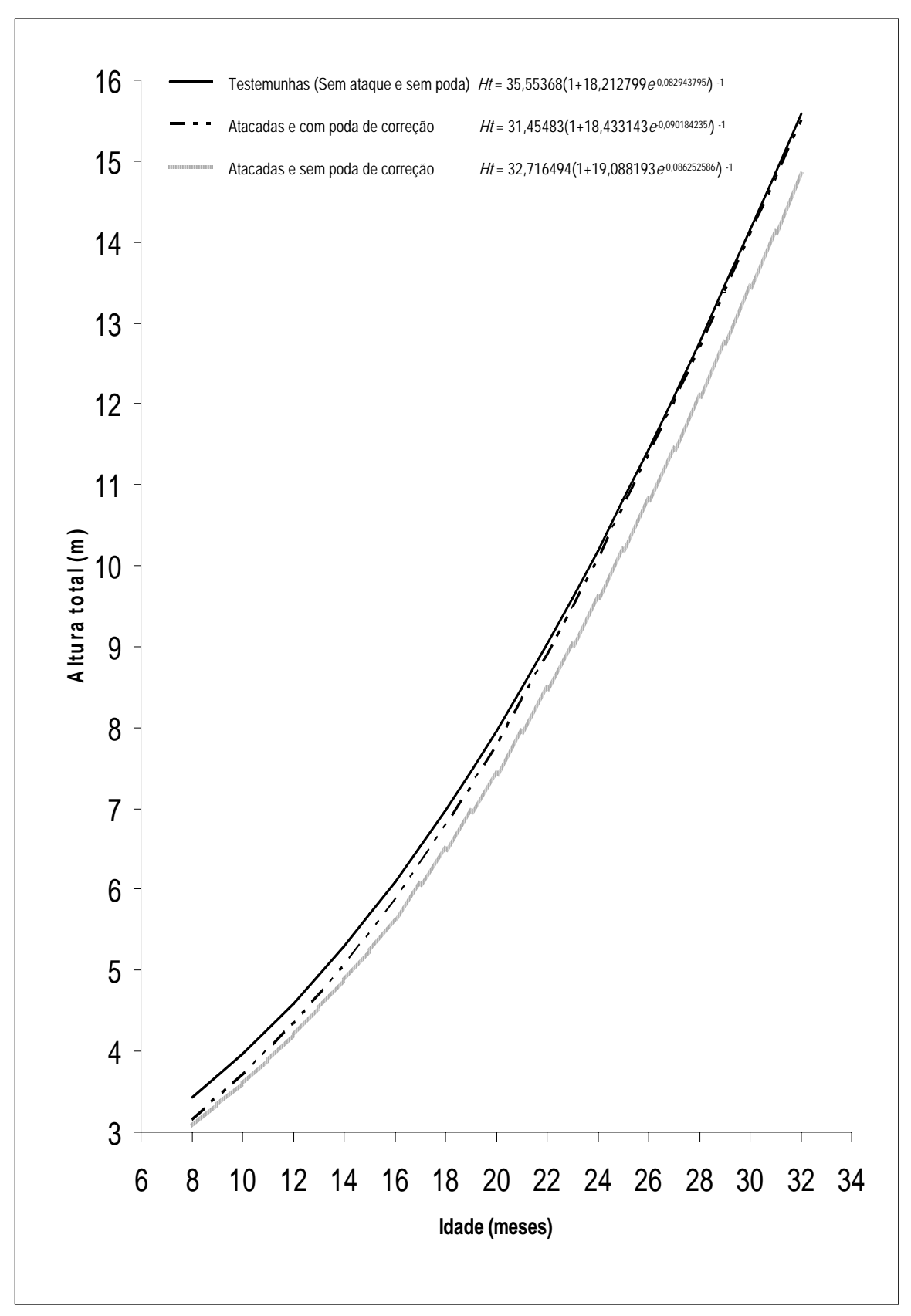


Figura 28. Curvas de crescimento em altura total (*Ht*), em função da idade (*I*), de árvores de eucalipto híbrido (clone de *Eucalyptus grandis* vs *E. urophylla*), em local de ocorrência de ataque por *Lampetis nigerrima* (Kerremans, 1897). Grão Mogol, MG, 2005 a 2007.

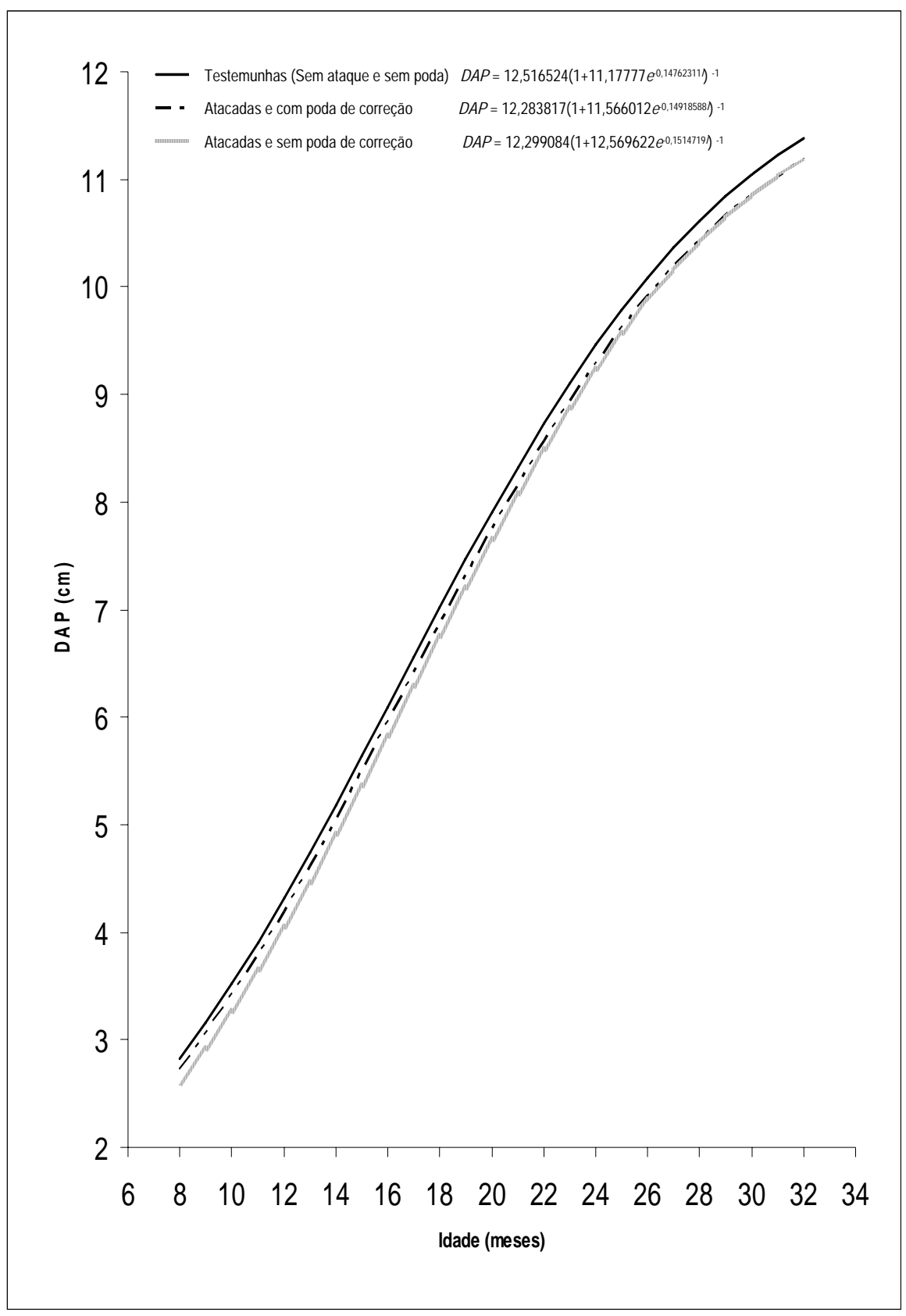


Figura 29. Curvas de crescimento em diâmetro a 1,30 m do solo (DAP), em função da idade (*I*), de árvores de eucalipto híbrido (clone de *Eucalyptus grandis* vs *E. urophylla*), em local de ocorrência de ataque por *Lampetis nigerrima* (Kerremans, 1897). Grão Mogol, MG, 2005 a 2007.

Tabela 3. Estimativas de produção em volume de madeira com casca (m³.ha⁻¹) por idade para em função da idade (*I*), de árvores de eucalipto híbrido (clone de *Eucalyptus grandis* vs *E. urophylla*), em local de ocorrência de ataque por *Lampetis nigerrima* (Kerremans, 1897). Grão Mogol, MG, 2005 a 2007.

	Tratamentos				
Idade (meses)	Testemunhas (Sem ataque e sem poda)	Atacadas e com poda de correção	Atacadas e sem poda de correção		
8	1,60	1,51	1,46		
9	2,01	1,89	1,82		
10	2,52	2,37	2,28		
11	3,15	2,97	2,85		
12	3,93	3,71	3,55		
13	4,91	4,64	4,42		
14	6,11	5,78	5,50		
15	7,58	7,19	6,82		
16	9,38	8,90	8,43		
17	11,56	10,99	10,38		
18	14,19	13,51	12,73		
19	17,31	16,50	15,52		
20	20,98	20,03	18,81		
21	25,22	24,13	22,64		
22	30,06	28,80	27,02		
23	35,47	34,04	31,93		
24	41,39	39,78	37,34		
25	47,72	45,93	43,17		
26	54,33	52,36	49,31		
27	61,04	58,91	55,59		
28	67,69	65,40	61,88		
29	74,10	71,67	68,01		
30	80,14	77,58	73,83		
31	85,68	83,01	79,23		
32	90,67	87,90	84,13		

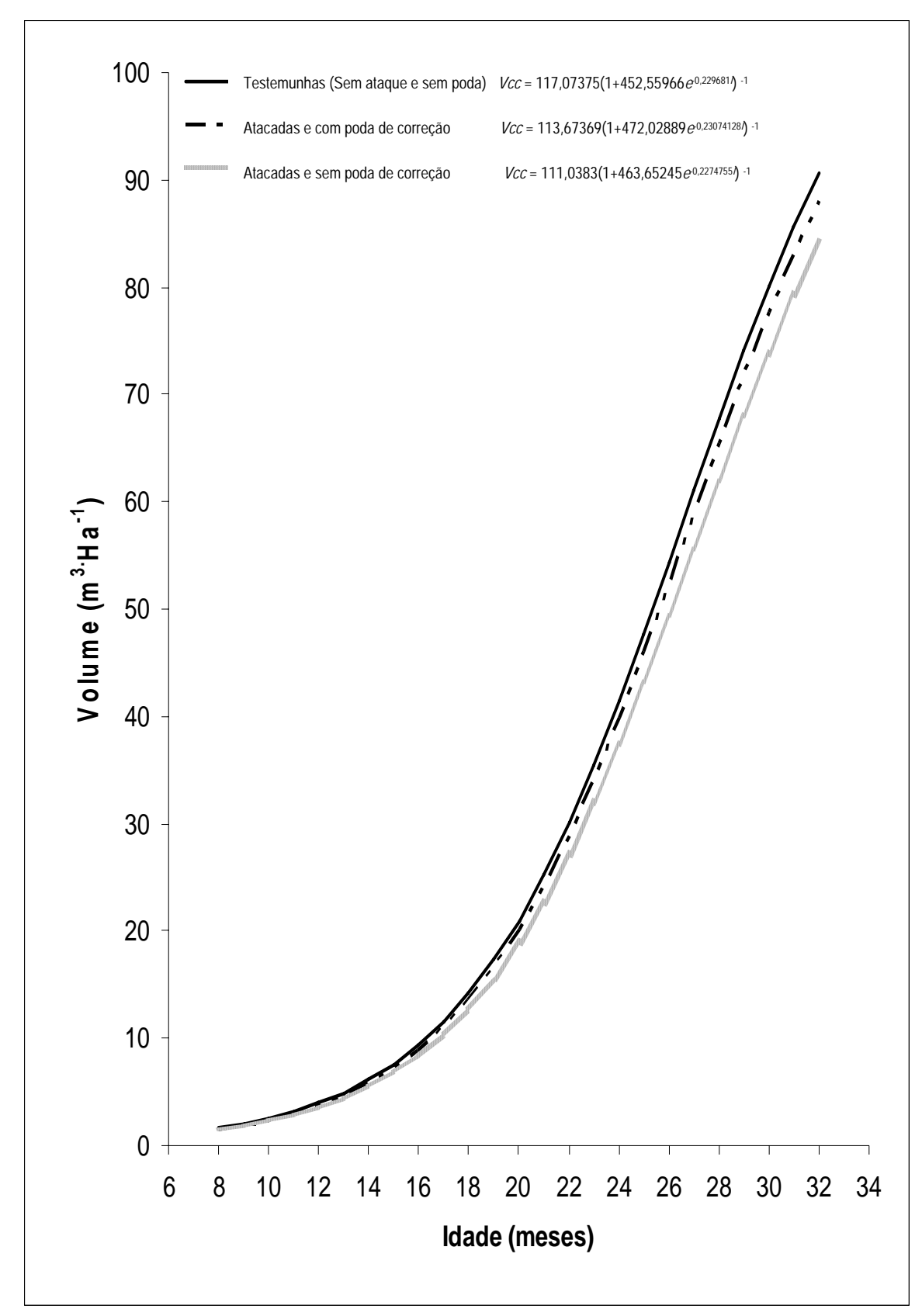


Figura 30. Curvas de crescimento em volume de madeira com casca (Vcc), em função da idade (*I*), de árvores de eucalipto híbrido (clone de *Eucalyptus grandis* vs *E. urophylla*), em local de ocorrência de ataque por *Lampetis nigerrima* (Kerremans, 1897). Grão Mogol, MG, 2005 a 2007.

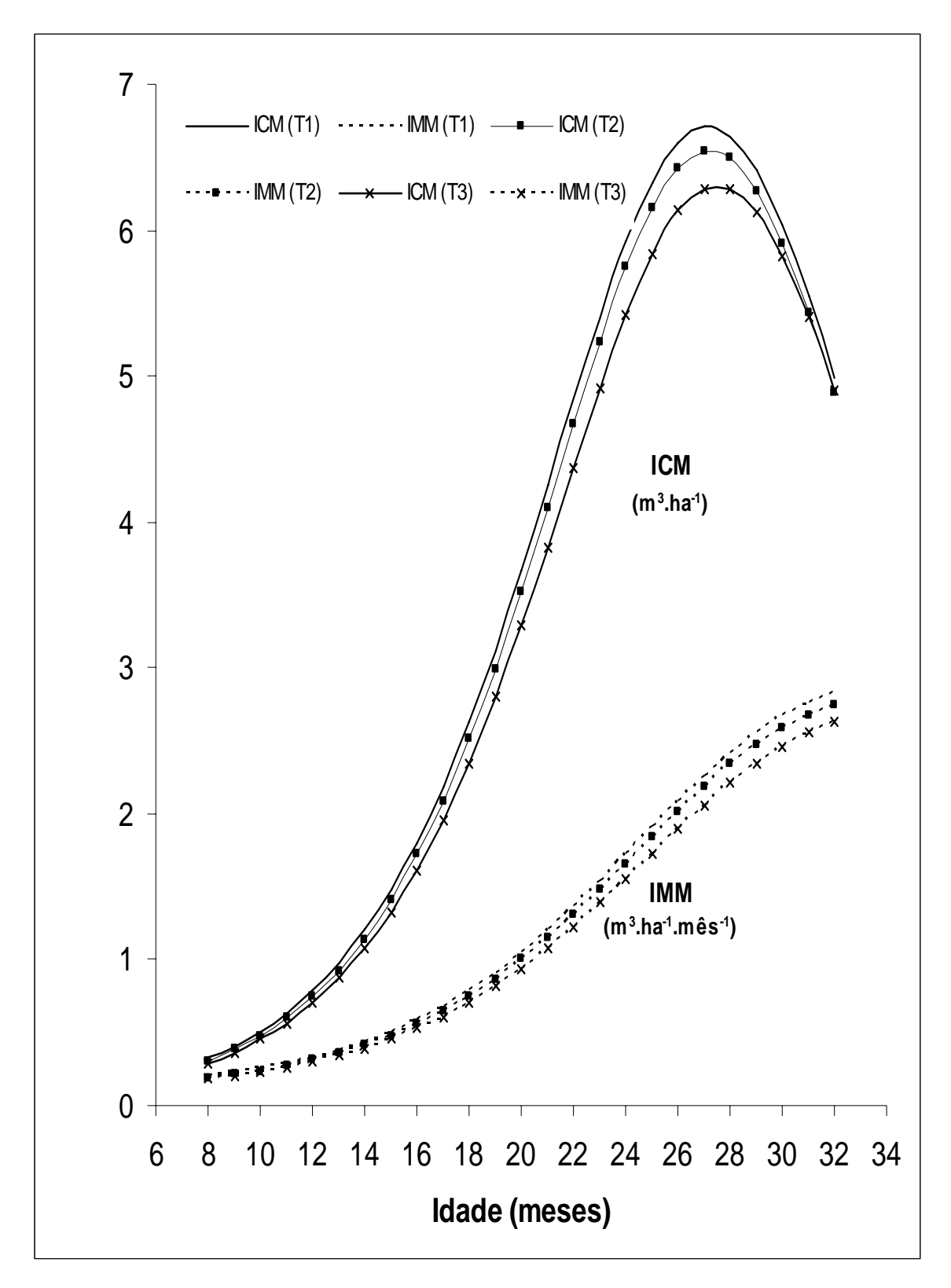


Figura 31. Incremento médio mensal (IMM) e incremento corrente mensal (ICM) em função da idade (*I*), de árvores de eucalipto híbrido (clone de *Eucalyptus grandis* vs *E. urophylla*), em local de ocorrência de ataque por *Lampetis nigerrima* (Kerremans, 1897).T1: Não atacadas e não podadas (Testemunhas); T2: Atacadas e submetidas à poda de correção; T3: Atacadas e sem poda. Grão Mogol, MG, 2005 a 2007.

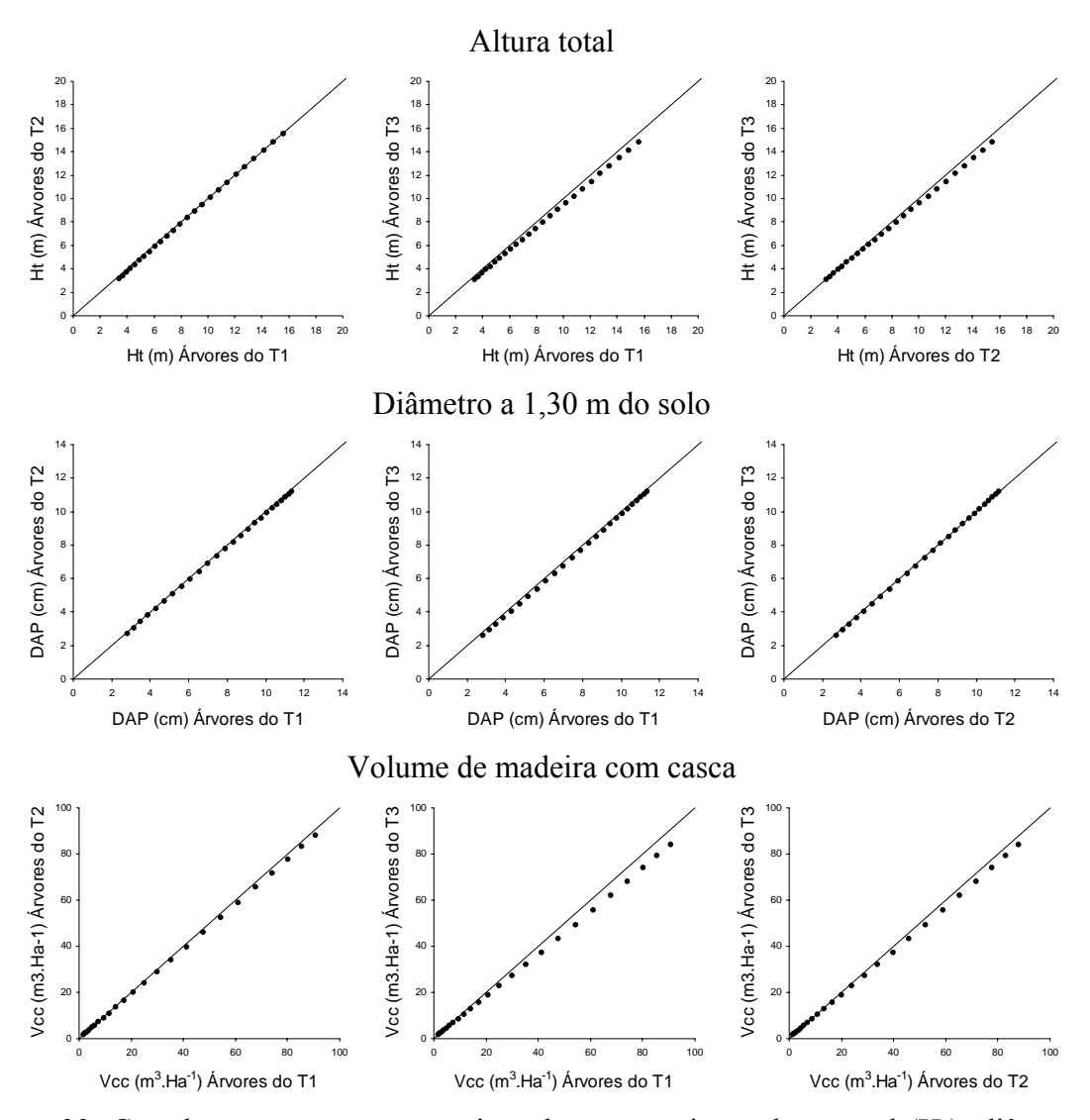


Figura 32. Correlação entre equações ajustadas para estimar altura total (Ht), diâmetro a 1,30 m do solo (DAP), e volume de madeira com casca (Vcc) de árvores de eucalipto híbrido (clone de *Eucalyptus grandis* vs *E. urophylla*), em local de ocorrência de ataque por *Lampetis nigerrima* (Kerremans, 1897). T1: Não atacadas e não podadas (Testemunhas); T2: Atacadas e submetidas à poda de correção; T3: Atacadas e sem poda. Grão Mogol, MG, 2005 a 2007.

Os resultados obtidos ao aplicar o teste L&O, em nível de 1% de probabilidade, demonstram que houve alteração prejudicial do ataque do besouro Cai-cai-de-pintas-brancas sobre a taxa de crescimento em altura, em diâmetro e, por conseqüência, em volume de madeira com casca, em plantios de clone de eucalipto dos 8 aos 32 meses de idade. Para cada uma dessas variáveis, o teste L&O indicou diferença significativa ao correlacionar Testemunhas vs Atacadas e submetidas à poda de correção (T2 vs T1); Testemunhas vs Atacadas e sem poda (T1 vs T3); e Atacadas e submetidas à poda de correção e Atacadas sem poda (T2 vs T3). Essas diferenças podem ser observadas nos

gráficos da Figura 32, onde, toda vez em que os pontos se afastarem sistematicamente da linha traçada a 45°, existe diferença de identidade conforme Leite e Oliveira (2002).

O ataque do besouro é caracterizado, principalmente, pelo corte do ponteiro apical dominante (ANJOS e MAJER 2003). Isto causa diminuição no crescimento em altura devido, possivelmente, à extinção do canal fonte-dreno que propicia o desenvolvimento apical ou, ainda, à diminuição na quantidade de hormônios responsáveis por este crescimento vertical. A perda de dominância apical em árvores atacadas gera um distúrbio no mecanismo hormonal responsável pela tendência nas mesmas em apresentarem apenas um fuste (KRAMER & KOZLOWSKI 1972). Assim, ramos laterais passam a apresentarem uma competição pela dominância apical, resultando na dispersão de energia, em perdas no crescimento em altura (OHMART *et al.* 1984) e no aumento desuniforme do diâmetro ao longo do fuste das árvores (ANJOS 2007).

De acordo com as informações constantes na Tabela 1, todas as árvores testemunhas apresentaram fuste retilíneo e sem bifurcação, dos oito aos 32 meses, já que elas não foram atacadas pelo besouro Cai-cai-de-pintas-brancas. Por outro lado, pode-se perceber que a poda de correção diminuiu consideravelmente a frequência das árvores com tortuosidade e sem bifurcação, em comparação com aquelas sem poda, mas não conseguiu igualar à frequência de notas apresentada pela testemunha. Isto aconteceu em apenas dois anos, significando que árvores que não receberam poda necessitarão de maior tempo, comparativamente a árvores que a receberam, para se tornarem isentas de tortuosidades e bifurcações. Nesse sentido, a poda apresentou efeito altamente favorável, pois, melhorou a qualidade do tronco, diminuindo sua tortuosidade. Assim, o presente estudo evidencia o valor da técnica da poda de correção quando usada para recuperar o potencial de crescimento de árvores atacadas por besouros desfolhadores. Isto fez aumentar a resposta produtiva das árvores podadas, em comparação com aquelas sem poda, e as igualou em altura, diâmetro e volume com as árvores testemunhas, ao final dos 32 meses de idade. Esta constatação está de acordo com MONTAGU et al. (2003) ao afirmar que a retirada de galhos baixeiros promove aumento no crescimento em altura.

Considerando que estas árvores permanecerão no campo por mais 52 meses, podese inferir que haverá uma tendência de parte das árvores que receberam nota 2, passarem a apresentar tronco retilíneo, assim como, parte das árvores que receberam nota 3 passarem a apresentar tronco tortuoso, mas sem bifurcações. Isto poderá ocorrer como consequência do efeito da desrama natural sobre o crescimento das árvores, tornando-as mais cilíndricas e menos tortuosas. Boa parte das árvores que foram atacadas pelo inseto, mas que não foram podadas, deixaram de apresentar bifurcações aos 32 meses. Isto aconteceu porque árvores vizinhas cresceram e sombrearam os galhos retidos na parte inferior do tronco de árvores atacadas e não podadas, os quais perderam a função fotossintética e, conseqüentemente, apresentaram desrama natural.

A Figura 28 permite inferir que o crescimento em altura de árvores atacadas e submetidas à poda de correção apresenta a tendência de se aproximar daquele constatado em árvores testemunhas e que ambos se distinguem do constatado em árvores atacadas e não podadas, à medida que aumenta a idade do plantio. De forma oposta, observa-se na Figura 4 uma tendência de aproximação entre as curvas de crescimento em diâmetro nas árvores atacadas, com e sem poda, enquanto ambas se distanciam da curva de crescimento em árvores testemunhas. As curvas de tendências apresentadas nas Figuras 28 e 29, quando comparadas, sugerem que árvores atacadas e sem poda possuem maior desenvolvimento em diâmetro do que em altura, e que árvores submetidas à poda de correção são reconduzidas ao desenvolvimento vertical em detrimento do desenvolvimento diamétrico. Já na Figura 30, pode-se perceber perfeitamente que existe uma grande tendência de distanciamento entre as curvas de crescimento volumétrico das árvores nos três tratamentos analisados, à medida que avança a idade das árvores. Esta constatação está de acordo com aquela apontada por MENDES (2004), que estudando as consequências do ataque de *Costalimaita ferruginea* (Coleoptera: Chrysomelidae) constatou efeitos adversos altamente relevantes no crescimento das árvores de eucalipto, principalmente em relação ao crescimento em altura das árvores que perderam o ponteiro principal.

Para ANJOS e MAJER (2003), a perda em altura a partir do ataque de besouros desfolhadores no primeiro ano de idade nunca será recuperada por ser esta a fase de desenvolvimento da árvore que determina seu potencial de crescimento. Isto ficou muito bem evidenciado no presente trabalho, uma vez que o ataque do besouro desfolhador não permitiu que, com o aumento da idade em árvores atacadas e não podadas, fosse possível recuperar a produção volumétrica perdida, em relação às árvores testemunhas.

Além das expressivas perdas aqui demonstradas sobre a produção de árvores atacadas pelos besouros *L. nigerrima*, é necessário acrescentar que a qualidade dos fustes em árvores atacadas ficou comprometida pelas deformações resultantes do ataque do referido besouro desfolhador, o que implica em dificuldades de colheita e de transporte da madeira produzida. ANJOS (1992) já havia relatado sobre esta alta incidência de árvores com fustes deformados como conseqüência do desfolhamento causado por outra espécie

de besouro desfolhador e, embora não tenha realizado nenhuma análise, concluiu que o ataque do besouro afetou a forma dos fustes, tornando-os mais cônicos nas árvores atacadas. MENDES (1999) também demonstrou o expressivo surgimento de fustes tortuosos e com galhos anormalmente grossos retidos na base de eucalipto atacados por besouros desfolhadores. Tais deformações nos troncos das árvores de eucalipto, em decorrência da retenção de galhos e das bifurcações causadas pelo ataque de insetos desfolhadores, afetam grandemente o valor de mercado da madeira produzida, afirmou SHEPHERD (1994).

Com base nas curvas do ICM (Figura 31) observa-se que as maiores diferenças entre os tratamentos ocorreram entre 26 e 28 meses de idade, exatamente na idade de máxima taxa de crescimento. É esperado que as diferenças diminuam após a idade de máximo ICM, conforme indicado pela figura. Conforme já indicado na Figura 30, no intervalo de tempo avaliado, as diferenças de IMM entre os tratamentos tendem a aumentar com a idade.

Além de aproximar árvores atacadas às testemunhas em termos de altura total, diâmetro e volume, é possível concluir que a poda utilizada neste trabalho, assim como acontece com a desrama artificial (PIRES *et al.* 2000), melhorou substancialmente a qualidade da madeira podendo ser adotada no manejo de povoamento de eucaliptos.

O potencial nocivo de insetos do gênero *Lampetis*, como o aqui demonstrado para *L. nigerrima*, já havia sido sugerido como importante por RIBEIRO *et al* (2001) em eucaliptos no Brasil. As constatações do presente trabalho apresentam-se de acordo, também, com aquelas registradas por FERNANDES (2004), ao investigar a repercussão produtiva em sistema agroflorestal decorrente do ataque do besouro desfolhador *Metaxyonycha angusta* (Perty, 1832) (Coleoptera: Chrysomelidae), cujas injúrias são predominantemente localizadas nas extremidades dos ramos laterais e na extremidade superior da copa de eucaliptos jovens. Semelhante ratificação dos resultados aqui obtidos pode ser encontrada nos trabalhos de MENDES (1999) e MENDES (2004). Fora do Brasil, RAYMOND (1995) E ELEK (2000) também demonstram resultados obtidos com outras espécies de besouros desfolhares de eucaliptos, na Austrália, que confirmam exatamente as mesmas tendências dos aqui obtidos para o ataque de *L. nigerrima*.

## **CONCLUSÕES**

Com base no exposto neste trabalho, pode-se concluir que:

-O ataque do besouro desfolhador *Lampetis nigerrima* (Kerremans, 1897) (Coleoptera: Buprestidae), quando ocorrente no primeiro ano de idade das árvores de eucalipto, prejudica o seu crescimento em altura, diâmetro e, por conseqüência o volume de madeira, em plantações comerciais clonadas do híbrido *Eucalyptus grandis* vs *E. urophylla*, em até 32 meses de idade.

-A poda de correção quando aplicada aos cinco meses após o ataque deste besouro desfolhador, permite melhorar a qualidade de tronco e reduzir as perdas no crescimento em altura, diâmetro e, por consequência, na quantidade de madeira produzida até os 32 meses de idade.

-Existe a possibilidade de que, com o aumento da idade das árvores, haja aumentos nas perdas em crescimento para árvores atacadas e que não receberam poda de correção e, por outro lado, a mesma possibilidade de melhorar consideravelmente a qualidade dos fustes em árvores que foram atacadas mas receberam a referida poda.

-Devido aos seus efeitos prejudiciais ao crescimento e qualidade das árvores podese, aqui, considerar o besouro desfolhador *Lampetis nigerrima* (Kerremans, 1897) (Coleoptera: Buprestidae) como mais uma praga importante para as plantações comerciais de eucaliptos no Brasil.

## REFERÊNCIA BIBLIOGRÁFICA

- ABBOTT, I., HEURCK, P. van., BURBIDGE, T. Impact of frequency and intensity of defoliation on growth of jarrah (*Eucalyptus marginata*), an experimental study with saplings. **Forest Ecology Management**, v.56, p.175-183, 1993.
- ALFENAS, A.C., ZAUZA, E.A.V., MAFIA, R.G., ASSIS, T.F. Clonagem e doenças do eucalipto. Viçosa: Editora UFV, 442 p. 2004.
- ALMEIDA, M.L. **Desrama artificial em clones de híbridos de** *Eucalyptus grandis* x *E. urophylla* **com diferenças em arquitetura de copa.** 119p. Dissertação (Mestrado em Ciência Florestal)- Universidade de Viçosa, Viçosa- MG. 2003.
- ANJOS, N. Taxonomia, ciclo de vida e dinâmica populacional de *Costalimaita ferruginea* (Fabr., 1801) (Coleoptera: Chrysomelidae), praga de *Eucalyptus* spp. (Myrtaceae). 165p, (Tese D.S.) Piracicaba. Escola superior de Agricultura "Luiz de Queiroz", Universidade de São Paulo, 1992.
- ANJOS, N. **Besouros desfolhadores de reflorestamento no Brasil**. 2007. Disponível na Internet (<a href="http://www.insecta.ufv.br/norivaldo/cmba/mainCMBAIngles">http://www.insecta.ufv.br/norivaldo/cmba/mainCMBAIngles</a>). html, acessado em 23 de setembro de 2007).
- ANJOS, N.; DE NADAI, J. RODRIGUES, L.A.L. Ocorrência de buprestídeos em eucaliptais de Minas Gerais. In: XX Congresso Brasileiro de Entomologia, 2004. **Anais**... Gramado, RS, 05 a 10 de setembro de 2004, p.453.
- ANJOS, N.; MAJER, J.D. Leaf-eating beetles in Brazilian eucalypt plantations. School of Environmental Biology. Austrália. n.23, p.10-11, 2003.
- ANJOS, N. dos; MAJER, J.D.; LOCH, A.D. Spatial distribution of a chrysomelid leaf beetle (*Cadmus excrementarius* Suffrian) and potential damage in a *Eucalyptus globulus* subsp. globulus plantation. **Australian Forestry**, v.65, n.4, p.227-231, 2002.
- BARROS, N.F.; BRAGA, J.M.; BRANDI, R. M. Produção de eucalipto em solos de Cerrado em resposta à aplicação de NPK e de B e Zn. **Revista Árvore**, Viçosa-MG, v. 5, p.90-103, 1981.

- CANDY, S.G., ELLIOTT, H.J., BASHFORD, R., *et al.* Modelling the impact of defoliation by the leaf beetle, *Chrysophtharta bimaculata* (Coleoptera: Chrysomelidae), on height growth of *Eucalyptus regnans*. **Forest Ecology Management,** v.54, p.69-87, 1992.
- CEULEMANS, R.J.; SAUGIER, B. Photosynthesis. In: RAGHAVENDRA, A.S. **Physiology of Trees**. Hyderabad: John Wiley & Sons, p.21-50, 1991.
- CHAVES, R.A. Dinâmica de copa e crescimento de plantas de clone de *Eucalyptus grandis* W. Hill ex Maiden. submetidas a desrama artificial e a desbaste. 85p. Dissertação (Mestrado em Ciências Florestais). Universidade Federal de Viçosa, Viçosa-MG. 2005.
- COOPER, R.J.; DODGE, K.M.; WHITMORE, R.C. Estimating defoliation using stratified point intercept sampling. **Forest Science**, v.33, n.1, p.157-163, 1987.
- COULSON, R.N.; WITTER, J.A. Concepts of integrated pest management. In: COULSON, R.N., J.A. WITTE. **Forest Entomology Ecology and Management**. New York: John Wiley & Sons, p.98-121,1984.
- CRUZ, A.P. **Níveis de dano econômico e fatores que favorecem o aumento de lepidópteros-praga, associados a eucalipto na Jari Celulose S.A.** 67p. Dissertação (Mestrado em Entomologia) Universidade Federal de Viçosa, Viçosa-MG. 1997.
- DE NADAI, J.; ANJOS, N.; CORDEIRO, G. Catação manual no controle populacional de buprestídeos. **In**: XIV Simpósio de Iniciação Científica (SIC) IV Mostra Científica da Pós-graduação e o II Simpósio de Extensão Universitária, Viçosa, MG, 20 a 23 de outubro de 2004, 73p.
- DE NADAI. **Biologia de** *Lampetis nigerrima* (**Kerremans, 1897**) (**Coleoptera: Buprestidae**) **em eucalipto.** 44p. Dissertação (Mestrado em Entomologia) Universidade Federal de Viçosa, Viçosa-MG. 2005.
- DICKSON, R.E. Assimilate distribution and storage. In: RAGHAVENDRA, A.S. **Physiology of Trees**. Hyderabad: John Wiley & Sons, p.51-85, 1991.
- ELEK, J.; BASHFORD, R.; CANDY, S. Manual for managing leaf beetle defoliation in eucalypt plantations. Forestry Tasmania, 53p. 2000.
- ENDO, M.; MESA, G.V. Results of a prunning trial with *Pinus patula* in Colombia. IPEF, v.2, p.45-49, 1992.
- FERNANDES, L.C. **Biologia de** *Metaxyonycha angusta* (**Perty**) (**Coleoptera: Chrysomelidae**) **e efeitos do seu ataque em eucaliptos, num sistema agroflorestal.** 86p. Dissertação (Mestrado em Entomologia) Universidade Federal de Viçosa, Viçosa-MG. 2004.
- FONTAN, I.C.I. **Dinâmica de copa e crescimento de clones de eucalipto submetidos a desrama em sistema agroflorestal.** 68p. Dissertação (Mestrado em Ciência florestal)-Universidade Federal de Viçosa, Viçosa-MG. 2007.
- FREITAS, S. BERTI FILHO, E. Efeito do desfolhamento parcial e total na produção de biomassa de *Eucalyptus grandis* em Mogi Guaçu, São Paulo. **IPEF**, v.47, p.29-35, 1994.

- HYAMS, D. **CURVE EXPERT 1.3**: A comprehensive curve fitting system for Windows. Copyright ©. 2001
- KRAMER, P.J.; KOZLOWSKI, T.T. **Fisiologia das árvores**. Lisboa: Fundação Calouste Gulbenkian, 745p. 1972.
- KULMAN, H.M. Effect of insect defoliation on growth and mortality of trees. **Annual Review of Entomology**, v.16, p.289-324, 1971.
- LEITE, H.G., OLIVEIRA, F.H.T. Statistical procedure to test the identity of analytical methods. **Communications in Soil Science Plant Analysis.** New York. v.33. n.78, p.1105-1118, 2002.
- MATRANGOLO, C.A.R. Efeito do desfolhamento no crescimento de mudas de *Eucalyptus grandis* e forrageamento de *Trachymyrmex* sp. (Formicidae: Attini). 70p. Dissertação (Mestrado em Entomologia) Universidade Federal de Viçosa, Viçosa-MG. 1998.
- MENDES, J.E.P. **Efeitos do ataque de** *Costalimaita ferruginea* (Fabr.) (Coleoptera: Chrysomelidae) sobre crescimento e produção de *Eucalyptus grandis* Hill *ex* Maiden. 49p. Dissertação (Doutorado em Entomologia)-Universidade Federal de Viçosa, Viçosa-MG. 2004.
- MENDES, J.E.P. **Nível de dano e impacto do desfolhamento por** *Costalimaita ferruginea* (Fabr.) (Coleoptera: Chrysomelidae) em *Eucalyptus grandis* Hill ex **Maiden.** 99f. Dissertação (Mestrado em Entomologia)- Universidade Federal de Viçosa, Viçosa-MG. 1999.
- MONTAGU, K.D.; KEARNEY, D.E.; SMITH, R.G.B. The biology and silviculture of prunning planted eucalyptus for clear wood production: a review. **Forest Ecology and Management**, v.179, p.1-13, 2003.
- OHMART, C.P.; THOMAS, J.; STEWART, L.G. Differential defoliation by insects among provenances of *Eucalyptus delegatensis*. **Journal of Australian Entomological Society**, v.23, p.105-111, 1984.
- OHMART, C.P.; EDWARDS, P. B. Insect herbivory on eucalyptus. **Annual Review of Entomology,** v.36, p.637-657, 1991.
- PINKARD, E.A.; BEADLE, C.L. Effects of green prunning on growth and stem shape of *Eucalyptus nitens* (Deane and Maiden) Maiden. **New Forests**, v.15, p.107-126, 1998.
- PIRES, B.M. **Efeito da desrama artificial no crescimento e qualidade da madeira de** *Eucalyptus grandis* **para serraria.** 96p. Dissertação (Mestrado em Ciência Florestal)-Universidade Federal de Viçosa, Viçosa-MG. 2000.
- PIRES, B.M., REIS, M.G.F., REIS, G.G., VITAL, B.R., ALMADO, R.P. Efeito da desrama artificial na qualidade de madeira serrada de *Eucalpytus grandis*. VI Congresso e Exposição Internacional sobre Florestas FOREST 2000, p.105, 2000.
- PULROLNIK, K. Crescimento, dinâmica de copa e qualidade da madeira de clone de *Eucalyptus grandis* (Hill ex Maiden) submetido à desrama artificial. 2002. 96p. Dissertação (Mestrado em Ciências Florestal)- Universidade Federal de Viçosa, Viçosa-MG. 2002.

RAYMOND, C.A. Genetic variation in *Eucalyptus regnans* and *Eucalyptus nitens* for levels of observed defoliation caused by the *Eucalyptus* leaf beetle, *Chrysophtharta bimaculata* Olivier, in Tasmania. **Forest Ecology and Management**, v.72, p.21-29, 1995.

RIBEIRO, G.T.; ZANÚNCIO, J.C.; SOSSAI, F.M.; ZANÚNCIO JUNIOR, J.S.O besouro Buprestidae em reflorestamento. **Folha Florestal**, n.99, p.19-20, 2001.

SCHNEIDER, P.R. **Introdução ao manejo florestal**. Santa Maria: CEPEF/FATEC/UFSM, 348 p. 1993.

SCHOWALTER, T.D., HARGOVE, W.W., CROSSLEY JUNIOR, D.A. Herbivory in forested ecosystems. **Annual Review of Entomology**, v.31, p.177-196, 1986.

SHEPHERD, R.F. **Management strategies for forest defoliators in British Columbia**. Forest Ecology and Management, v.68, p.303-304, 1994.

VALE, R.S. **Efeito da desrama artificial no crescimento e na qualidade da madeira de clones de eucalipto, em sistema agro-silvo-pastoril.** 96p. Dissertação (Mestrado em Engenharia Florestal) — Universidade Federal de Lavras, Lavras-MG. 2000.

## **ANEXOS**

**Tabela 1.** Altura total (*Ht*) em metros, de árvores de eucalipto híbrido (clone de *Eucalyptus grandis* vs *E. urophylla*), aos 8 meses de idade, em local de ocorrência de ataque por *Lampetis nigerrima* (Kerremans, 1897). T1: Não atacadas e não podadas (Testemunhas); T2: Atacadas e submetidas à poda de correção; T3: Atacadas e sem poda. Grão Mogol, MG, 2005 a 2007.

Árvores				Árvores							, ,	Árvores			
N <sup>0</sup>	T1	T2	T3	N <sup>0</sup>	T1	T2	T3	Árvores N <sup>0</sup>	T1	T2	T3	N <sup>0</sup>	T1	T2	T3
1	4,47	4,54	4,54	51	4,15	4,3	4,15	101	4,26	4,63	4,6	151	3,85	3,74	4,37
2	4	3,44	3,75	52	4,3	4,27	3,45	102	4,23	4,68	4,48	152	4,4	3,25	3,9
3	5	3,8	4,24	53	4,6	4,45	3,6	103	4,57	5	4,46	153	4,15	2,52	2,35
4	4,84	4,37	4,57	54	5,35	4,3	3,52	104	4,46	3,82	3,5	154	2,52	4,9	4,28
5	4,21	5,5	4,5	55	5,34	5	3,81	105	4,67	4,48	3,63	155	4,4	3,78	3,4
6	4,2	4,87	5,13	56	4,6	4,98	3,74	106	4,79	3,87	3,62	156	3,74	4,3	2,8
7	4,73	4,37	3,81	57	4,3	4,2	4,12	107	4,66	4,68	3,83	157	2,8	4,27	3,02
8	4,78	4,69	3,63	58	3,85	3,92	4,65	108	4,81	4,52	3,89	158	4	4,27	3,75
9	4,65	5,33	3,55	59	3,83	4	4	109	4,8	5,31	3,9	159	3,1	4,58	2,52
10	4,86	5,2	4,8	60	3,95	4,15	4,52	110	5,22	4,97	4,47	160	3	4,36	2,72
11	4,69	4,59	4,31	61	4,25	5,27	4,69	111	4,48	5,4	4,63	161	3,05	2,75	3,99
12	5,16	4,58	4,27	62	4,13	4,88	5,8	112	4,73	5,2	4	162	2,77	3,25	3,27
13	5,2	4,46	4,5	63	4,3	5,12	4,65	113	5,24	4,8	4,35	163	3,25	3	4,32
14	4,73	3,82	4,14	64	5,5	4,96	4,7	114	4,5	4,57	4,19	164	4	4,08	3,77
15	5,3	4,4	3,8	65	4,8	4,73	4,82	115	4,5	4,41	4,61	165	4,13	3,7	4,37
16	5,2	3,97	4,25	66	4,3	4,45	4,84	116	4,02	4,53	4,38	166	3,27	2,72	4,25
17	4,5	4,26	4,1	67	4,32	4,45	3,75	117	4,68	4,63	4,13	167	3,4	3,02	5,1
18	5,33	4,9	4,95	68	4,3	3,42	3,7	118	4,49	4,89	4,63	168	4,06	3,3	4,65
19	4,57	4	3,79	69	4,78	3,75	4,35	119	4,3	4,54	4,84	169	3,67	3,19	4,96
20	4,77	4,55	4,45	70	4,68	4,2	3,22	120	4,83	4,55	5,21	170	3,73	4,1	3,81
21	3,84	4,64	3,88	71	4,9	4,11	4,55	121	4,51	3,82	3,93	171	4	4,27	3,27
22	4,54	4,52	4,35	72	5,2	4,56	4,05	122	4,58	4,13	3,45	172	4,29	4,29	3,88
23	5,6	5,42	4,75	73	4,47	3,6	3,61	123	4,36	4,35	4,97	173	4,22	3,98	3,39
24	4,72	3,71	4,67	74	5,5	4,4	3,8	124	4,7	4,34	4,5	174	4,3	4,1	4,61
25	4,69	4,25	4,55	75	5,4	4,4	3,39	125	4,49	4,54	3,46	175	5,04	3,95	4,38
26	4,7	3,91	4,05	76	4,81	4,36	3,27	126	5,1	4,4	4,2	176	4,95	4,75	3,53
27	4,4	4,68	4,16	77	5,43	3,97	4,14	127	4,87	5,1	4,88	177	5,2	4,58	3,87
28	4,43	4,5	5,23	78	4,82	4,21	3,4	128	4,51	4,75	4,37	178	4,8	4,23	3,42
29	4,37	3,68	5,4	79	5,6	4,32	3,32	129	4,75	3,66	4,52	179	4,72	3,8	4,43
30	4,53	5,2	3,94	80	5,42	4,29	3,65	130	4,3	4,77	5,23	180	5,15	4,83	3,72
31	4,34	3,84	4,31	81	5,1	3,72	4,07	131	4,85	4,15	3,38	181	3,83	3,02	3,58
32	4,74	4,32	4,97	82	5,4	3,7	4,55	132	4,4	3,78	4,77	182	3,67	3,85	4,7
33	5,23	4	4,78	83	5,1	4,7	4,35	133	4,91	3,96	4,39	183	4,79	4,27	3,27
34	4,26	4,74	4,14	84	4,77	4,45	4,62	134	4,44	3,62	4,11	184	4,5	4,28	3,02
35	5,28	4,55	4,4	85	4,8	3,84	4,3	135	4,67	4,26	4,16	185	3,85	3,89	3,02
36	4,33	4,43	4,98	86	4,72	3,87	4,42	136	4,6	4,75	4,05	186	4,57	5,35	3,92
37	4,18	4,42	3,5	87	4,62	3,6	3,85	137	4,54	4,53	4,53	187	5,03	3,3	4,1
38 39	4,62 4,42	3,43	4,39 4,24	88 89	4,3 4,3	3,73 4,34	3,85 3	138 139	4,19 4,29	4,1 4,28	4,53 3,77	188 189	3,84 4,26	3,46 3,27	3,38
39 40		4,2		90			3,94	140	4,29 4,6	3,52	3,//	190			3,52
40 41	4,75 4,37	4,79 4,8	4,33 4,31	90 91	4,85 4,45	3,94 4,2	3,82	140	4,6 4,66	3,97	4,23	190	4,69 4	3,02 5,72	2,52 4
42	4,5	4,81	4,31	92	4,45	3,9	5,31	141	4,00	4,19	3,3	192	3,95	4,28	4,35
43	4,5	3,96	4,89	93	4,2	4,3	4,17	142	3,94	4,19	3,9	193	3,73	3,95	4,45
44	4,78	4,62	4,28	93	4,45	4,65	4,17	144	4,43	4,63	4,52	193	3,6	3,32	4,14
45	5,41	4,63	4,61	95	4,06	5,72	4,34	145	3,98	4,14	5,27	195	4,62	4,47	4,7
46	5,56	4,25	4,72	96	4,75	4,3	2,11	146	4,36	4,43	3,3	196	4,65	3,9	4,23
47	5,21	4,9	4,94	97	4,15	5,23	3,02	147	4,14	3,83	3,69	197	4,82	4,42	3,68
48	4,18	4,86	4,5	98	4,4	4,37	2,51	148	4,38	3,94	4,37	198	5,05	3,9	4
49	4,71	4,13	3,79	99	4,57	5,4	4,06	149	4,27	3,87	3,27	199	4,18	3,53	3,82
50	4,34	4,37	4,29	100	4,15	4,86	3,95	150	4,61	3,82	4,32	200	4,5	3,02	3,84

Tabela 1. Continuação...

Árvores N <sup>0</sup>	T1	T2	T3	Árvores N <sup>0</sup>	T1	T2	T3	Árvores N <sup>0</sup>	T1	T2	T3	Árvores N <sup>0</sup>	T1	T2	T3
201	4,78	3,9	3,56	251	4,89	5,17	4,22	301	4,83	4,26	3,5	351	4,5	3,27	4,04
202	4,84	4,7	4,65	252	4,05	5	3,03	302	4,45	4,25	4,22	352	3,4	4,17	4,3
203	5,13	4,6	3	253	4,9	5,56	3,3	303	4,56	4,22	4,07	353	3,56	4,38	2,72
204	5,1	4,63	5,53	254	4,15	4,3	5,45	304	4,49	4,33	4,46	354	4,75	4,75	3,47
205	4,5	4,5	5,02	255	4,58	4,27	3,02	305	4,57	4,57	4,42	355	3,87	2,52	3,98
206	4,64	4,66	4,44	256	3,65	4,14	4,8	306	4,55	4,56	4,87	356	3,27	4,2	3,45
207	4,83	4,92	3,79	257	3,86	3,7	3,73	307	4,52	4,44	4,09	357	4,15	4,38	3,3
208	5,3	4,55	4,99	258	3,85	4,66	4,8	308	4,69	4,84	3,7	358	4,42	4,68	3,73
209	4,66	4,5	4,53	259	3,94	4,8	4	309	5,17	3,5	4,75	359	4,16	4,45	3,58
210	4,56	4,67	4,44	260	4,34	3,63	3,42	310	4,43	3,89	4,72	360	3,7	4,07	3,62
211	5,89	4,67	4,02	261	4,27	3,45	3,27	311	4,56	3,49	3,45	361	4,15	3,52	2,99
212	4,95	5,02	3,95	262	4,36	3,45	3,98	312	4,47	3,77	3	362	4,11	3,65	3,05
213	5,1	4,92	3,64	263	4,55	3,72	4,52	313	4,39	4,02	3,62	363	4,32	4,15	4,95
214	4,81	4,67	4,35	264	4,3	2,77	3,27	314	4,5	4,14	3,91	364	3,9	3,59	4,38
215	4,5	4,25	5,32	265	4,68	2,3	3,86	315	4,31	4,13	3,92	365	3,73	3,4	5,15
216	4,42	4,69	3,88	266	5,15	2,77	4,12	316	4,6	4,06	4,61	366	4,68	3,72	4,77
217	4,67	4,03	3,95	267	5,2	3,54	3,92	317	4,77	3,91	3,2	367	4,05	4,9	4,74
218	4,43	5,41	4,04	268	5,45	3,02	3,87	318	4,46	4,68	3,98	368	3,37	3,97	4,9
219	4,84	5,07	4,05	269	4,95	5,1	3,95	319	4,21	3,87	4,71	369	4,6	3,73	3,87
220	5,12	4,65	4,12	270	4,96	2,75	3,85	320	3,91	4,17	4,66	370	5,25	4,2	3,69
221	5,12	3,69	3,54	271	5,2	3,27	4,34	321	4,61	4,64	3,91	371	4,46	4,46	3,35
222	4,5	3,69	3,3	272	5,27	4,02	4,27	322	4,92	4,37	3,92	372	4,53	3,9	3,45
223	4,66	3,53	4,47	273	5,24	3,52	4,3	323	4,53	4,46	4,55	373	4,83	3,86	3,36
224	4,35	4,05	4,28	274	4,63	4,3	4,3	324	4,08	3,94	4,25	374	4,06	3,59	4,1
225	4,56	4,38	4,04	275	5	4,3	4,45	325	4,56	4,24	4,23	375	4,63	4,2	4,67
226	4,5	4,98	4,05	276	5,2	4,46	4,34	326	4,69	3,62	4,49	376	3,72	4,86	3,58
227	4,4	3,97	4,3	277	4,8	5,3	4,65	327	5,18	4,16	3,94	377	3,35	5,27	4,35
228	4,44	4,45	4,53	278	5,12	4,72	4,93	328	4,27	3,6	4,14	378	3,88	4,85	4,9
229	4,65	4,58	4,51	279	4,69	5,2	4,3	329	4,84	3,77	3,27	379	3,76	4,1	4,8
230	5,25	3,83	4,77	280	4,33	5,3	4,8	330	4,69	3,87	3,71	380	4,08	3,57	5,34
231 232	5,82 4,5	4,75 5,37	4,21 3	281 282	4,38 4,48	5,7 5,45	3,55	331 332	5,12 4,54	3,96 3,83	3,89	381 382	4,62 4,39	4,07 3,5	3,56 3,86
232	4,29	4,55	4,09	283	5,08	5,4	4,1 2,77	333	4,7	4,11	3,94 3,3	383	3,68	3,7	4,05
	-	4,21	4,39	284	-	4,95	4.38	334	4.89	3,82	4,29	384	4,99	4,29	-
234 235	5,19 5	-	4,04	285	4,25 4,72	4,55	-	335	-	3,27		385	-	4,27	4,22 3,95
236	4,61		4,69	286	4,72	3,76	4,9	336	3,87			386	5,17	4,45	3,05
237	3,74	5,13		287	4,78	2,77	5,07	337		3,95	5,2	387	5,23	3,85	3,3
238	4,1		5,44	288	4,53	3,7	3,8	338	4,37	4,03	3,68	388	3,6	3,8	4,18
239	3,65	4,39		289	3,37	3,8	5,25	339	4,94	-	4,51	389	4,31	4,01	3,2
240	4,73	4,59	-	290	3,44	3,27		340		4,22		390	3,48	3,77	
241	5,4		4,63	291	3,72	3,45	5,3	341	4,7	4,42		391	3,7	3,73	4,33
242	5,1	-	4,61	292	3,27	5	5,31	342	4,16		4,72	392	3,02	3,7	3,02
243	4,15		3,64	293	3,27	4,4	5,2	343	4,55	4,47		393	4,8	4,09	4,25
244	4,18	4,72		294	3,27	4,45	5,28	344	4,55	4,78	3,25	394	4,3	4,13	4,02
245	4,43	4,39	3	295	3,86	3,6	4,68	345	4,55	4,1	4,64	395	3,6	3,9	4,3
246	4,16		3,3	296	3,02	4,05	3,67	346	4,38	3,2	4,98	396	5	3,97	4,69
247	4,23	3,37		297	3,96	4,1	4,6	347	4,86	4,62	3,5	397	4,12	3,99	5,02
248	5,5	4,41		298	3,91	4,3	4,55	348		3,81	3,68	398	3,54		4,75
249		3,25		299		4,25	4,3	349		4,48	-	399		3,62	4,1
250	4,94	3,4	3,5	300	3,15	3,45	3,45	350			4,57	400	3,27		4,7

**Tabela 2.** Altura total (*Ht*) em metros, de árvores de eucalipto híbrido (clone de *Eucalyptus grandis* vs *E. urophylla*), aos 20 meses de idade, em local de ocorrência de ataque por *Lampetis nigerrima* (Kerremans, 1897). T1: Não atacadas e não podadas (Testemunhas); T2: Atacadas e submetidas à poda de correção; T3: Atacadas e sem poda. Grão Mogol, MG, 2005 a 2007.

Árvores				Árvores				Árvores				Árvores			
$N^0$	T1	T2	T3	$N^0$	T1	T2	T3	$N^0$	T1	T2	T3	$N^0$	T1	T2	T3
1		5,50		51		6,00		101	9,00	6,50	5,25	151			6,00
2	-	5,50	-	52	-	6,50	-	102	9,00	5,00	5,00	152	-	5,00	-
3		5,50		53		6,25		103	7,25	-	7,50	153		4,50	
4		6,50		54		6,50		104	6,50	7,50	7,00	154		6,00	
5		7,25		55		6,75		105	7,50	7,00	7,00	155	-	5,00	-
6		5,50		56		6,25		106	7,00	6.00	8,00	156	-	6,00	
7		5,00		57		6,50		107	7,50	7,00	6,50	157		6,25	
8		7,00		58		5,50		108	6,00	6,50	6,00	158		6,25	
9		7,25		59		6,00		109	6,25	6,00	5.50	159		6,25	
10		9,75		60		8,25		110	9,50	9,00	6,00	160		5,75	
11		6,00		61		6,50		111	8,50	8,50	7,25	161		4,25	
12		8,00		62		6,50		112	8,00	9,50	6,50	162			5,50
13		7,00		63		7,00		113	8,50	8,50	9,00	163			7,00
14		5,75		64		8,00		114	6,50	6,25	8,00	164		7,00	
15		6,50		65		8,25		115	6,50	7,00	7,00	165		6,00	-
16		8,00		66		8,75		116	5,75	6,50	6,00	166	-	4,50	-
17		7,00		67		6,00		117	7,00	7,00	7,00	167		6,00	
18		6,00		68	6,00	6,00	7,50	118	7,00	6,50	7,50	168	8,00	6,00	6,50
19		6,50		69		6,00		119	7,00	7,50	8,50	169	6,00	6,00	6,50
20		6,50		70		6,00		120	7,00	7,00	9,50	170		7,50	
21		9,00		71		6,25		121	6,25	6,00	8,00	171		7,50	
22		6,00		72	8.25	6,25	6.00	122	6,25	-	5,50	172		6,50	
23		8,00		73		7,75		123	7,50	8,50	7,50	173		6,50	
24		5,50		74		6,50		124	8,75	7,00	5,50	174		7,00	
25		6,75		75		6,00		125	6,50		7,50	175		6,50	
26		8,50		76		7,75		126	8,25	6,50	7,50	176		7,00	
27		7,00		77		6,25		127	6,75	7,75	7,75	177		6,50	
28		7,50		78		6,50		128	6,00	7,00	7,00	178		7,00	
29	5,00	5,50	7,00	79	8,25	5,50	6,50	129	6,00	6,75	8,00	179	7,00	6,00	7,00
30		7,00		80		6,00		130	8,50	8,50	6,75	180		7,00	
31	6,00	8,25	5,50	81	8,00	6,50	8,00	131	9,50	8,00	5,50	181	7,00	4,50	6,50
32	5,50	6,00	6,50	82	8,50	6,50	6,00	132	6,00	6,00	5,50	182	8,00	7,00	6,00
33	7,50	7,00	6,50	83		8,50		133	7,50	7,25	8,00	183		7,50	
34	7,00	8,50	5,50	84	8,00	6,50	8,00	134	7,00	6,50	7,50	184	8,00	8,00	6,00
35	8,50	7,00	7,00	85	6,50	6,00	8,50	135	6,50	10,50	8,00	185	6,50	6,00	6,00
36		9,00		86		6,50		136		7,00		186		7,50	
37		6,00		87		6,00		137	6,25	6,75	8,00	187		6,25	
38	7,00	6,50	7,00	88		6,50		138	5,75	8,50	8,50	188		5,50	
39		7,50		89	6,50	8,00	6,00	139	6,00	6,00	6,50	189		5,00	
40	7,75	9,00	7,50	90		6,50		140	6,50	7,75	6,50	190	7,00	6,00	4,00
41		6,00		91	6,00	8,00	8,00	141	6,50	5,00	5,75	191		8,50	
42	6,00	5,50	7,50	92	6,00	6,50	8,25	142	6,50	9,00	5,75	192	6,00	6,00	7,00
43	7,00	5,00	6,00	93	6,25	6,00	7,75	143	7,00	9,00	6,00	193	7,00	6,00	6,50
44		6,75		94	6,25	8,50	8,25	144		8,50		194		5,50	
45	8,50	5,50	6,50	95		8,50		145	6,00	7,75	8,50	195		8,00	
46		6,50		96	8,25	8,50	4,25	146	8,00	9,50	6,25	196		7,00	
47		6,75		97		8,50		147		6,50	6,75	197		7,00	
48		5,00		98		6,50		148		5,50		198		6,75	
49		7,50		99		8,50		149	7,00	8,00	6,50	199		6,00	
50		7,00		100	6,50	6,25	7,00	150	8,50	8,50	7,00	200	7,00	6,00	6,00

Tabela 2. Continuação...

Árvores				Árvores				Árvores				Árvores			
$N^0$	T1	T2	T3	$N^0$	T1	T2	T3	$N^0$	T1	T2	T3	$N^0$	T1	T2	T3
201	7,75	7,25	7,00	251	8,50	8,00	6,00	301	7,00	9,50	5,50	351	6,00	7,00	6,00
202	7,75	5,50	5,50	252	6,00	8,25	6,00	302	7,50	6,50	6,00	352	6,00	8,00	4,50
203	7,00	6,75	7,00	253	6,00	6.25	8,50	303	7,00	6,00	7,25	353	6,50	6,00	6,00
204	7,00	7,00	7,00	254	8,50	6,50	6.00	304	8,00	7,00	7,50	354	6,50	4,00	6,00
205	7,50	7,00	6,75	255	6,00	6,50	6,00	305	8,00	8,25	8,00	355	5,00	8,00	6,25
206	5,50	7,00	6,50	256	6,75	7,00	6,75	306	7,00	9,00	6,00	356	6,50	8,00	4,25
207	6,00	9,00	7,00	257	6,50	6,00	8,25	307	8,00	9,50	7,25	357	6,50	8,00	6,00
208	5,50	8,25	6,75	258	5,50	8,00	7,00	308	9,00	7,50	6,00	358	6,00	7,00	6,00
209	6.75	9,00	7.00	259	6,50	6.00	6.00	309	6,50	8,00	6,00	359	6,50	6.00	5,00
210	9,00	8,00	6,00	260	8,00	6,50	6,50	310	6,75	7,75	7,00	360	6,50	6,00	6,00
211	6,25	7,50	6,25	261	6,00	6,50	5.25	311	9,50	6,75	5,00	361	6,00	6,00	5,00
212	6,25	9,00	5,50	262	8,00	5,00	8,00	312	7,00	6,00	6,75	362	8,00	6,00	7,00
213	6,00	6,00	7,50	263	7,00	6,00	6,25	313	9,00	7,50	5,50	363	6,00	5,00	7,00
214	6,25	6,50	7,50	264	8,00	4,25	6,25	314	8,00	6,50	7,25	364	6,00	5,00	8,00
215	6,25	5,25	5,50	265	8,00	4,25	6,50	315	8,00	7,50	7,00	365	6,50	6,50	7,00
216	7.00	7,00	5,50	266	8,00	6.00	5,50	316	8,25	5,50	7,00	366	7.00	8.00	6,00
217	5,00	6,50	6,00	267	8,50	6,00	6,50	317	8,00	6,00	6,75	367	5,00	6,00	6,00
218	7,50	7,00	6,00	268	8,00	8,25	6,00	318	8,00	7,75	8,25	368	6,00	7,00	5,75
219	7,50	8,25	6,00	269	8,50	4,25	6,00	319	5,50	8,75	8,00	369	8,25	6,50	5,50
220	6,00	6,50	5,50	270	8,00	6,00	5,25	320	9,00	7,50	5,00	370	6,50	6,00	4,50
221	6,00	6,00	5,75	271	8,50	6,50	6,25	321	8,25	8,50	7,00	371	6,50	6,50	5,50
222	6,00	6,50	6,50	272	7,00	6,50	6,00	322	9,00	7,50	8,00	372	5,75	6,00	4,50
223	6.25	8,50	6,50	273	8,00	6,75	6.00	323	7,00	7,50	6,50	373	6,50	5,50	5,25
224	5,00	8,00	6,00	274	8,00	7,25	6,00	324	7,50	7,75	6,50	374	6,00	7,00	5,75
225	6,50	8,50	6,00	275	8,25	8,00	8,00	325	7,00	7,25	6,75	375	7,00	7,50	4,50
226	5,00	7,00	6,75	276	8,00	8,75	6,25	326	7,50	7,00	6,00	376	6,25	8,00	5,25
227	6,75	7,50	5,25	277	8,00	7,00	6.00	327	8,50	6,50	7,25	377	8,25	7,50	6,00
228	5,75	7,50	5,75	278	7,75	7,00	7,25	328	6,00	6,25	6,50	378	4,50	7,00	6,00
229	9,00	6,75	6,00	279	7,75	8,00	6,25	329	7,00	6,00	5,00	379	6,50	6,00	6,25
230	7,00	7,50	7,00	280	8,00	7,00	6,00	330	12,50	6,75	6,50	380	6,50	6,00	4,50
231	6,25	8,50	5,50	281	6,75	8,25	7,00	331	8,50	5,00	5,75	381	8,50	5,50	6,00
232	5,50	7,00	5,75	282	8,00	8.25	5.00	332	6,25	7,00	6,50	382	6,50	6.50	6.00
233	7,00	5,50	-	283	-	8,00	-	333	9,00	-	9,50	383	8,00	7,00	4,00
234	6,00	6,50	6,00	284	6,25	7,00	6,00	334	8,50		9,50	384	6,50	6,50	4,00
235	8,00	5,00	6,50	285	6,50	6,75		335	9,00	7,00	9,00	385	8,00		4,25
236	6,25	7,00	6,00	286	6,75	4,50	6,00	336	7,00		7,50	386	8,00	7,00	6,00
237	9,00	6,25	7,50	287	6,50		6,50	337	11,50		5,75	387	5,00	6,00	6,25
238	6,50	6,50	7,00	288	6,50	6,25		338	7,75	6,00	6,00	388	8,00	6,00	6,00
239	6,00	6,25	5,50	289	6,00	5,50		339	6,50	9,00	6,00	389	6,00	8,00	7,00
240	6,25	6,25	6,00	290	6,00		6,25	340	6,50	7,75	9,00	390	7,00	6,50	6,50
241	6,00	6,00	6,00	291	6,00	8,25		341	7,00	8,00	7,00	391	6,00	6,50	6,00
242	5,00		5,50	292	6,25	6,00		342	8,00	7,75	8,00	392	8,00	6,00	6,50
243	7,00		6,50	293	6,00	5,50	-	343	8,50	9,00	6,00	393	6,25	6,00	6,00
244	5,50	7,00	5,00	294	6,50	6,25	6,00	344	7,00	6,00	8,00	394	6,00	7,00	6,50
245	7,00	8,50	5,00	295	6,00	6,00	5,00	345	8,00	6,00	6,25	395	8,00	7,00	7,00
246	6,25	5,00	7,50	296	6,25	6,00	7,75	346	9,00	6,50	6,00	396	6,50	6,00	8,00
247	7,00	7,25	7,25	297	6,75	6,25	8,00	347	8,00	6,50	6,50	397	6,00	6,00	6,50
248	6,00	5,75	6,75	298	6,75	6,25	6,00	348	7,00	7,50	7,25	398	5,50	7,00	6,00
249		6,00	5,00	299	6,00	6,00	5,00	349	7,00	8,00	7,00	399	5,00	6,00	8,00
250	6,25	7,50		300	6,00		6,00	350	8,00	6,50	6,00	400	6,50	5,00	6,00

**Tabela 3.** Altura total (*Ht*) em metros, de árvores de eucalipto híbrido (clone de *Eucalyptus grandis* vs *E. urophylla*), aos 26 meses de idade, em local de ocorrência de ataque por *Lampetis nigerrima* (Kerremans, 1897). T1: Não atacadas e não podadas (Testemunhas); T2: Atacadas e submetidas à poda de correção; T3: Atacadas e sem poda. Grão Mogol, MG, 2005 a 2007.

Árvores				Árvores				Árvores				Árvores			
$N^0$	T1	T2	T3	$N^0$	T1	T2	T3	$N^0$	T1	T2	T3	$N^0$	T1	T2	T3
1	13 75	14,00	11 75		12.00	11 25	11,75	101	13.25	13,50	10.00		11.75	13 00	11,25
2		12,25					11,25	102		14,50				11,50	
3		13,00					12,00	103		14,25				11,25	
4	-	11,75					11,50	104		12,50				12,50	
5		14,25					12,00	105		13,00				11,00	
6		12,50					11,00	106		13,00				12,00	
7	13,00	13,20	12,75	57	12,00	12,25	12,00	107	11,50	13,75	12,50	157	11,00	11,00	10,00
8	13,75	14,75	12,75	58	11,00	13,00	12,00	108	13,00	13,25	12,75	158	12,00	10,75	13,00
9	13,50	13,75	13,00	59	11,00	12,75	13,00	109	13,50	14,00	12,50	159	11,00	13,00	9,00
10	13,50	14,25	14,25	60	11,50	12,00	14,00	110	14,00	14,00	13,00	160	10,50	13,50	9,00
11	13,00	12,75	12,50	61	11,50	13,00	13,75	111	13,25	13,00	12,25	161	10,50	11,00	12,50
12	13,50	12,75	12,75	62	12,25	13,00	13,50	112	14,00	13,75	12,50	162	10,00	11,50	11,00
13	13,25	13,00	13,00	63	12,00	13,25	14,00	113	14,50	13,50	13,50	163	12,00	11,50	12,00
14	12,00	13,00	13,00	64	12,75	14,25	12,25	114	14,00	12,50	13,25	164	12,50	12,50	12,00
15	13,75	12,50	12,25	65	12,50	13,75	13,00	115	12,50	12,50	13,00	165	11,50	12,00	11,75
16	13,25	13,00	13,00	66	12,75	11,75	10,50	116	13,50	12,25	13,00	166	11,25	12,25	12,00
17	14,00	12,75	12,50	67	13,25	12,25	11,00	117	13,00	13,00	13,25	167	11,75	11,00	13,75
18	14,25	13,00	13,00	68	13,00	11,50	12,00	118	13,00	14,50	14,00	168	12,00	10,25	12,00
19	13,00	14,00	12,50	69	12,25	11,50	12,50	119	13,75	14,00	13,00	169	11,00	11,75	11,50
20	12,75	12,50	13,00	70	13,25	12,25	12,00	120	14,50	13,00	14,00	170	12,50	11,50	11,75
21	12,00	13,50	13,00	71	13,25	11,50	12,00	121	14,50	13,25	13,00	171	12,25	13,00	11,50
22	12,25	12,00	12,00	72	13,25	12,00	13,50	122	14,00	13,00	11,00	172	13,00	12,25	11,00
23	14,00	13,50	13,50		11,75	12,50	12,00	123	13,50	13,00	13,75	173	13,00	11,00	9,00
24	13,00	12,00	14,00	74	12,25	12,50	12,00	124	13,50	13,50	12,00	174	12,25	12,50	11,00
25	12,75	12,50	12,50	75	13,50	12,75	13,25	125		13,25			13,00	13,00	10,50
26	12,50	12,50	12,50	76	14,50	12,50	11,75	126	14,00	13,50	13,75	176	12,50	12,00	10,00
27	12,50	12,25	12,25		14,25	11,00	13,75	127	14,25	14,75	14,50			12,50	
28		12,75					12,00	128		14,75					10,50
29		12,50					12,00	129		13,25					11,00
30		13,25					11,50	130		14,25					12,00
31		12,25					11,50	131		13,25					10,50
32		11,75					13,00	132		13,25			-	-	10,50
33		11,75					12,00	133		12,75					10,00
34		14,00					12,50	134		12,50				13,00	
		13,75					13,50		13,50						10,00
36		13,75					13,00	136		13,50				13,50	
37		13,00					14,00	137		13,50				13,50	
38		13,25					14,00	138		13,00		188		12,50	
39		12,75		89			12,25	139		12,25		189		10,25	
40		13,50					12,25	140		13,75		190		10,00	
41		14,25					14,00	141		11,75		191		13,00	
42 43		13,50					15,50	142		13,50		192		12,75	
43 44	-	14,00	-	93 94			14,00	143	-	13,00	-	193 194		11,50	
45		13,50					14,00	144		14,00				11,50	
46		13,50					12,75	145		12,50 13,25		195		12,00	
46		13,25					13,75	146 147				196 197		11,50	
48		13,00 12,50					10,25 10,75	147 148		13,50 11,75		198		12,50 12,25	
49		13,25					13,00	149		11,75		199			10,00
50							13,00	150		12,25		200			11,00
30	12,23	12,75	12,/3	100	13,23	15,50	15,00	130	13,00	12,23	12,50	200	11,00	12,73	11,00

Tabela 3. Continuação...

Árvores				Árvores				Árvores				Árvores			
$N^0$	T1	T2	T3	$N^0$	T1	T2	T3	$N^0$	T1	T2	T3	$N^0$	T1	T2	T3
201		13,00		251		14,25		301		12,25		351			10,50
202		13,00				15,50		302		12,23		352			11,50
203		13,50				16,50		303		12,00		353			10,00
204		13,25				14,00		304	-	10,00	-	354			11,00
205		14,50				13,75		305		13,25		355			12,00
206		14,25				14,25		306		14,25	-	356			10,00
207	-	-					13,00	307				357	-	13,50	
207		13,25						308		13,00			-	-	-
209		13,50				14,50		309		14,00		358 359			10,25
210		13,50	-			13,75	-			11,50	-				10,50
210		14,50				11,75		310		11,50		360			10,50
		13,75				13,00		311		12,00		361		10,50	
212		15,00				12,25		312		11,50		362			10,50
213		15,25	-		-	13,25	-	313		11,50		363	-	-	11,50
214		14,25				12,50		314		12,50		364	-	-	10,50
215		14,00		265		12,00		315		12,00		365			11,00
216		13,00				14,25		316		12,75		366			11,50
217		13,25				12,25		317		12,00		367			11,00
218		15,25				11,75		318		14,00		368			11,00
219		15,00				14,25		319		13,00		369		-	11,00
220		14,25			-	11,75	-	320		13,00		370			10,50
221		13,00				11,00		321		13,00		371		13,25	
222		12,50				12,50		322		13,75		372			10,00
223		12,50			-	11,00	-	323		14,00		373		11,00	
224		12,75				12,50		324		12,50		374			10,50
225		13,50				13,00		325		11,00		375			10,50
226		15,25				14,00		326		12,00		376			10,00
227		13,25			-	13,75	-	327		11,50		377		12,00	
228		13,50				13,50		328		12,50		378			11,00
229		13,50				13,50		329		13,00		379			11,00
230		14,00			-	14,50	-	330		13,00		380		11,75	
231	-	13,50	-			14,00		331		11,50		381			10,50
232	-	14,25				14,00		332		14,00		382			10,00
233		13,25		283		14,00	-	333		12,50		383		12,25	
234		13,25				13,25		334		12,00		384		12,00	
235		14,50				13,25		335		12,00		385		12,50	
236		11,75		286		12,00		336		13,25		386		12,50	
237		13,75				11,75		337		13,25		387		12,25	
238		12,50				13,00		338		13,75		388		12,00	
239	-	13,25	-			11,50		339		14,00		389		11,00	
240		14,00		290		11,25		340		13,50		390			11,50
241		14,00		291		11,50		341		13,00		391			10,00
242		13,50				13,25		342		13,25		392			10,50
243		14,25				13,50		343		13,00	-	393			10,50
244		12,00				13,50		344		14,00		394			10,50
245		15,25				11,25		345		12,50		395			10,50
246		15,00				12,50		346		12,50		396			11,00
247		15,50				12,25		347	13,25	14,50	13,00	397	11,00	12,50	11,50
248	13,50	13,00	13,00	298	10,75	12,50	14,00	348	12,25	12,75	13,50	398	12,00	11,00	12,00
249	13,50	12,00	13,00	299	11,00	12,50	12,00	349	13,00	13,25	14,25	399	13,00	11,00	11,50
250	13,50	13,00	12,00	300	11,00	11,75	12,00	350	13,75	13,50	13,75	400	12,00	12,75	9,50

**Tabela 4.** Altura total (*Ht*) em metros, de árvores de eucalipto híbrido (clone de *Eucalyptus grandis* vs *E. urophylla*), aos 32 meses de idade, em local de ocorrência de ataque por *Lampetis nigerrima* (Kerremans, 1897). T1: Não atacadas e não podadas (Testemunhas); T2: Atacadas e submetidas à poda de correção; T3: Atacadas e sem poda. Grão Mogol, MG, 2005 a 2007.

Árvores															
$N^0$	T1	T2	T3												
1	16 00	16,00	14 00	51	14 75	15,50	14 75	101	15 00	15,50	13.50	151	15 00		14,00
2		14,75		52		16,50		102		16,50		152			13,50
3		15,25		53		17,00		103		16,50		153		15,00	
4		14,50		54	-	15,75		104		15,75		154		17,00	
5		16,50		55		16,00		105		16,00		155		15,50	
6	14,75	14,50	14,00	56	16,00	16,50	14,25	106	16,50	15,50	14,50	156		16,50	
7	15,25	15,00	15,00	57	16,75	16,50	15,50	107	16,25	15,75	14,50	157	13,25	15,50	12,75
8	15,50	16,50	14,50	58	15,50	17,00	15,50	108	15,75	15,50	15,00	158	14,25	15,00	14,50
9	14,50	15,00	14,50	59	15,25	16,00	16,00	109	15,75	17,00	13,25	159	14,50	16,00	13,00
10	15,00	16,25	16,00	60	15,25	17,00	17,00	110	16,00	17,00	14,50	160	13,75	15,50	13,00
11	14,00	14,50	14,50	61	15,50	17,00	16,00	111	15,50	16,00	15,00	161	13,50	14,25	15,00
12	14,50	15,00	14,25	62	16,50	17,25	16,00	112	16,75	16,00	15,50	162	14,00	15,50	14,00
13	16,00	15,00	14,75	63	15,75	17,75	16,75	113	16,25	15,75	16,25	163	15,25	15,00	15,00
14	14,00	15,25	15,00	64	16,75	18,00	15,25	114	16,00	14,25	15,50	164	15,50	15,50	13,75
15	15,50	15,25	14,50	65	16,50	17,25	16,50	115	14,75	14,50	15,50	165	15,50	15,25	14,00
16	15,00	15,50	15,00	66	17,00	16,75	14,00	116	15,50	17,00	15,50	166	14,00	13,50	14,75
17	16,00	14,25	14,50	67	16,50	16,00	15,00	117	16,00	14,75	16,50	167	14,50	14,25	15,25
18	16,00	15,00	14,50	68	16,50	15,25	15,25	118	15,75	15,75	15,75	168	14,50	14,00	15,00
19	15,00	15,50	14,50	69	16,50	15,75	15,00	119	16,00	16,00	15,50	169	15,00	15,25	14,50
20	15,50	13,75	14,75	70	17,00	15,50	15,50	120	16,50	15,75	15,75	170	15,75	15,00	14,75
21	14,00	15,00	15,00	71	17,50	14,75	15,00	121	17,00	15,00	13,75	171	14,75	15,25	14,25
22	14,25	14,75	13,75	72	17,50	15,50	16,75	122	16,50	15,00	14,00	172	15,50	15,50	14,75
23	16,50	14,75	15,50	73	17,00	16,50	15,50	123	16,00	16,25	16,00	173	14,50	15,25	12,00
24	15,00	14,50	16,50	74	17,50	16,50	15,00	124	15,50	16,00	14,75	174	14,75	15,25	14,00
25	15,25	15,00	14,50	75	16,75	16,75	15,00	125	14,50	16,00	15,50	175	15,50	15,75	13,50
26	15,00	14,00	14,50	76	17,25	15,25	14,00	126	16,00	15,50	14,00	176	15,00	14,50	13,50
27	14,50	13,75	15,75	77	17,75	15,00	15,50	127	16,75	16,25	16,50	177	15,25	14,75	14,75
28	15,00	15,00	14,50	78	17,00	15,50	14,00	128	15,25	17,00	16,50	178	15,00	15,00	13,50
29	15,25	14,50	14,25	79	17,50	15,50	14,50	129	16,50	15,50	16,50	179	14,50	14,75	14,00
30	16,25	16,25	16,00	80	17,25	16,50	14,00	130	14,00	17,00	15,50	180	14,00	15,25	14,25
31	15,75	15,00	15,00	81	17,00	16,00	14,75	131	16,00	16,75	15,00	181	14,75	13,75	13,00
32		14,50		82		16,25		132		15,50	-	182		14,50	
33		13,50		83		16,00		133		14,50		183		15,25	
34		16,00		84		14,50		134		14,50		184		15,75	
35	16,25	15,00	17,00	85	16,50	16,00	16,00	135	16,50	15,50	14,25	185	14,50	14,75	13,50
36	-	15,00	-	86	-	16,00	-	136		15,50		186	-	16,00	-
37		15,00		87		15,00		137		15,50		187		15,75	
38		15,00		88		15,50		138		15,50		188		15,00	
39		15,75		89		16,75		139		14,00		189		15,00	
40		17,00		90		15,50		140		15,25		190		15,00	
41		17,25		91		16,00		141		14,25		191		15,50	
42		15,50		92		15,00		142		16,00		192		15,25	
43		15,75		93		17,25		143		15,50		193		13,75	
44		16,00		94		16,25		144		16,25		194		13,00	
45		16,00		95		16,00		145		15,25		195		14,00	
46		15,25		96		17,25		146		17,00		196		13,75	
47		15,50		97		17,00		147		15,75		197		15,00	
48		16,00		98		17,00		148		15,00		198		14,50	
49		16,25		99		17,75		149		15,50		199		14,25	
50	14,00	15,75	15,75	100	15,50	17,75	16,00	150	15,00	15,50	14,75	200	14,25	14,50	14,50

Tabela 4. Continuação...

N <sup>0</sup>								Arvores				Arvores			
	T1	T2	T3	$N^0$	T1	T2	T3	$N^0$	T1	T2	T3	$N^0$	T1	T2	T3
201		15,50		251		17,00	14 50	301		15,00					14,00
	-	15,50	-	252		17,00	-	302	-	14,50	-				14,50
		16,25			-	18,00	-	303		15,25					13,50
		16,00		254		17,75		304		14,00			-	14,50	-
		16,00		255		15,75		305		15,00				13,50	
		16,50				16,50		306		16,25					14,00
		15,50		257		16,00		307		15,00					13,00
		15,75		258		17,00		308		16,25					14,50
		17,00				15,00		309		14,00					13,00
		16,50		260		15,25			-	14,25	-				13,00
		17,00		261		15,00		311		14,50					12,00
		17,75		262		14,50		312		13,00				14,50	
		16,75		263		15,50		313		14,00				14,00	
		16,00		264		14,50		314		15,50				13,00	
		16,00		265		14,75		315		14,50				14,59	
	-	16,00	-	266		16,50		316		14,75				12,75	
		15,50		267		14,25		317	-	14,25	-			16,00	
		17,00		268		13,50		318		16,00					14,50
		16,50		269		16,50		319		16,00			-	12,50	-
		15,50		270		14,25		320		16,00				13,50	
		15,00		271		15,75		321	-	16,50	-				13,00
		14,50				16,00		322		16,25					14,00
		14,75		273		14,25		323		15,50				15,25	
		15,00		274		16,25		324		14,50				15,00	
		15,75		275		16,25		325		14,00				13,25	
		17,00		276		16,00		326		15,00				14,75	
		15,50		277		18,25		327		16,00				14,50	
		16,00		278		17,25		328		14,50				14,00	
		16,00		279		17,23		329		17,00				15,00	
		16,00		280		18,25		330		16,00					12,50
		16,00		281		18,50		331	-	15,00	-			15,25	
		17,50		282		16,50		332		15,50					13,50
	-	16,50		283		17,75		333		17,50	-	383		14,25	
	-	15,25	-	284	-	17,50	-	334	-	15,75	-		-	15,00	-
		16,50		285		16,75				15,00					13,00
		15,50		286		16,25		336		16,00				14,55	
		17,00		287		15,50		337		15,00			-	14,50	-
		15,50		288		15,50		338		15,50				14,25	
		16,50		289		15,00		339		16,25				14,75	
		18,00		290		15,25		340		15,75				15,00	
		16,50		291		14,25		341		15,25				14,00	
		16,00		292		16,00		342		15,50				13,25	
		16,50		293		15,00		343		15,50				16,50	
		16,50		294	-	15,00	-	344	-	16,75	-			14,25	
		17,00		295		13,80		345		14,50				14,00	
		18,50		296		14,00		346		14,50				14,75	
		16,25		297		14,25		347		17,50				13,75	
		17,00		298		14,50		348		17,00				14,00	
		15,25		299		16,50		349		16,25				12,50	
		16,00		300		15,75		350		17,00					13,25

**Tabela 5.** Diâmetro a 1,30 m do solo (*DAP*) em centímetros, de árvores de eucalipto híbrido (clone de *Eucalyptus grandis* vs *E. urophylla*), aos 8 meses de idade, em local de ocorrência de ataque por *Lampetis nigerrima* (Kerremans, 1897). T1: Não atacadas e não podadas (Testemunhas); T2: Atacadas e submetidas à poda de correção; T3: Atacadas e sem poda. Grão Mogol, MG, 2005 a 2007.

Árvores N <sup>0</sup>	T1	T2	Т3	Árvores N <sup>0</sup>	T1	T2	T3	Árvores N <sup>0</sup>	T1	T2	Т3	Árvores N <sup>0</sup>	T1	T2	Т3
1	3,18	3,50	2,80	51	3,34	3,60	3,34	101	2,90	3,44	0,96	151	3,50	3,50	2,85
2	3,66	3,02	2,32	52		3,50		102	3,12	3,79	3,50	152	3,19	2,64	3,21
3	4,23	2,61	3,50	53	3,60	3,92	2,64	103	3,02	4,36	3,06	153	2,86	1,62	2,53
4		3,95		54		3,50		104		1,11		154	-	3,83	-
5		4,62		55		4,62		105		3,34		155		2,87	
6		3,44		56	-	4,15	-	106		2,20		156		3,28	
7		3,18		57	-	3,51	-	107		3,18		157			2,29
8		3,50		58		3,19		108		3,82		158		2,57	
9		4,46	-	59	-	3,82		109		4,30		159		3,18	
10		5,41		60		2,96		110		3,63		160		3,28	
11		3,66		61		4,71		111		4,46		161	-	1,60	
12		3,50		62		4,33		112		4,78		162		1,60	
13		3,66		63		4,39		113		5,09		163		1,92	
14		2,71		64		4,46		114		2,99		164		3,21	
15		3,02		65		4,33		115		2,87		165		2,57	
16	-	3,02	-	66	-	3,79	-	116	-	2,93	-	166	-	1,92	-
17		3,02		67		2,90		117		3,25		167		1,59	
18		3,44		68		3,50		118		4,14		168		2,23	
19	-	3,50	-	69	-	3,50	-	119	-	3,02	-	169	-	2,87	-
20		3,44		70		3,50		120		3,28 2,64		170		2,57	
21		3,41		71		3,18		121	-		-	171	-	-	-
22	-	3,02	-	72	-	3,82	-	122		2,74		172			2,59
23 24	-	4,07 2,87		73 74		3,37 3,50		123 124		3,47 2,99		173 174	-	2,87 2,56	
25		2,39	-	75	-	3,66		125		3,09		175		2,64	
26		2,71		76		4,07		126		2,80		176		3,21	
27	-	4,20	-	77	-	3,50	-	127		4,43	-	177			3,96
28		3,25		78	-	3,50	-	128	-	3,34	-	178		3,20	
29		2,17		79		3,66		129		2,13		179		2,87	
30		3,82		80		3,76		130		3,44		180		3,82	
31		2,32		81		3,18		131		2,36		181		1,92	
32		2,83		82		2,64		132	-	2,23	-	182		2,57	
33		2,52		83		3,44		133		3,06		183		3,18	
34	-	4,78	-	84		3,79		134	-	2,42	-	184	-	2,87	-
35	-	3,18	-	85		3,34		135		2,61		185		2,25	
36		2,93		86		3,28		136		3,25		186			3,06
37		3,28		87		2,99		137		3,18		187	3,50	2,57	3,05
38		1,69		88		3,02		138		3,02		188			2,62
39		2,83		89		3,84		139		2,83		189			2,39
40	3,50	3,34	4,23	90	3,98	2,64	2,55	140	3,02	3,28	1,69	190	3,02	2,25	2,16
41	2,96	3,66	3,50	91	3,66	3,12	2,45	141	3,34	3,34	2,17	191	2,71	4,55	3,21
42	3,18	2,96	3,34	92	3,34	2,99	5,09	142	3,06	2,87	1,97	192	2,55	2,89	2,67
43	2,83	3,50	4,14	93	3,50	3,60	3,83	143	2,42	3,34	2,20	193	2,71	2,25	2,39
44	2,86	3,47	2,80	94	3,50	4,04	4,23	144	3,12	3,34	4,20	194	2,24	2,55	3,11
45	3,98	3,44	3,66	95	3,02	5,11	3,28	145	2,07	2,55	4,46	195	2,87	3,50	3,11
46	4,93	2,87	3,66	96	4,14	3,21	1,05	146		2,61		196	3,34	2,87	2,09
47	4,14	3,28	4,30	97	3,34	4,16	2,32	147	3,57	2,45	2,71	197	3,34	2,88	2,60
48	2,39	3,50	2,55	98	3,50	3,20	1,60	148	3,18	2,77	2,71	198	3,66	2,87	3,01
49	3,66	2,55	2,96	99	4,14	5,42	3,18	149	2,71	2,36	1,59	199	2,86	2,55	2,29
50	3,02	3,02	3,02	100	3,34	3,84	3,18	150	2,86	2,74	2,74	200	3,34	2,24	2,72

Tabela 5. Continuação...

Árvores N <sup>0</sup>	T1	T2	Т3	Árvores N <sup>0</sup>	T1	T2	T3	Árvores N <sup>0</sup>	T1	T2	T3	Árvores N <sup>0</sup>	T1	T2	T3
201	3,12	2,20	2,71	251	4,30	4,16	2,96	301	3,76	2,87	2,39	351	3,18	2,32	2,87
202	4,07	3,69	4,52	252	3,12	4,17	1,60	302	3,18	3,02	2,87	352	2,55	3,18	3,50
203	3,98	2,55	1,91	253	4,04	5,41	1,91	303	3,28	2,29	2,07	353	2,56	2,89	1,27
204	3,82	2,71	4,36	254	3,21	3,51	5,83	304	3,02	3,28	2,96	354	3,66	2,55	3,02
205	3,31	3,44	4,62	255	3,98	2,89	1,93	305	3,12	3,02	3,82	355	2,86	1,60	2,57
206	3,02	4,43	3,34	256	2,25	3,18	4,14	306	3,06	3,26	3,72	356	2,23	2,96	2,39
207	3,50	3,82	2,23	257	2,89	2,87	3,53	307	2,93	2,77	2,39	357	2,88	2,55	1,11
208	3,50	3,18	4,93	258	2,89	3,85	4,15	308	3,82	4,30	1,85	358	2,89	3,21	2,25
209	3,02	3,18	3,50	259	2,89	3,84	3,76	309	3,50	2,26	3,50	359	2,57	3,20	1,92
210	3,34	3,76	2,80	260	3,66	2,87	2,24	310	2,80	2,52	4,14	360	2,55	3,02	2,25
211	5,03	3,18	2,52	261	3,18	2,71	2,25	311	2,96	2,17	1,97	361	2,58	1,59	1,43
212	4,14	4,78	2,55	262	3,21	2,56	2,87	312	2,80	2,55	1,53	362	2,86	2,39	1,27
213	4,62	4,04	3,25	263	3,72	2,87	2,96	313	2,71	3,25	2,20	363	3,19	3,34	4,30
214	3,18	3,34	3,12	264	3,66	1,59	2,96	314	2,99	2,96	2,71	364	2,57	3,02	3,34
215	3,18	2,45	4,62	265	3,98	1,59	2,89	315	2,93	2,29	3,69	365	2,55	3,34	3,98
216	2,83	3,34	2,71	266	4,30	1,69	2,87	316	3,18	2,39	3,25	366	3,50	2,25	3,92
217	3,25	2,71	3,02	267	4,16	2,57	3,19	317	3,12	1,59	2,01	367	2,87	4,14	3,50
218	2,86	5,48	5,25	268	4,48	2,23	2,89	318	2,93	3,37	2,74	368	2,39	2,96	3,51
219	3,95	3,66	2,93	269	3,84	4,16	2,89	319	3,18	3,02	4,11	369	3,34	2,24	2,57
220	3,82	3,50	3,12	270	3,83	1,59	2,58	320	2,23	2,61	3,63	370	3,82	2,87	2,23
221	3,79	2,39	2,07	271	4,15	2,32	3,18	321	2,99	3,02	2,23	371	3,18	3,19	1,93
222	3,18	3,02	1,43	272	4,17	3,31	3,21	322	3,82	3,09	3,18	372	3,21	2,87	2,39
223	3,12	2,20	2,55	273	4,30	2,39	3,98	323	2,90	3,02	3,60	373	2,71	2,56	1,91
224	2,83	3,22	3,57	274	3,84	3,21	3,98	324	2,80	2,55	2,90	374	2,71	2,64	2,89
225	3,66	3,18	2,55	275	4,14	3,60	4,16	325	3,98	3,02	3,18	375	3,34	3,50	3,18
226	3,18	5,25	3,12	276	4,48	3,82	3,92	326	2,99	2,55	3,02	376	2,55	3,18	2,55
227	2,99	2,87	3,02	277	4,15	4,46	3,50	327	3,57	2,71	2,87	377	2,64	3,98	2,87
228	2,83	3,50	3,76	278	4,15	3,92	4,78	328	2,71	2,80	3,02	378	2,56	3,66	3,82
229	2,86	2,87	3,02	279	3,53	4,30	3,28	329	3,21	2,99	1,75	379	2,86	2,89	3,19
230	4,30	3,02	3,92	280	2,88	4,80	3,50	330	3,25	3,02	2,45	380	2,88	2,26	3,82
231	4,07	3,34	2,39	281	3,18	5,51	2,71	331	3,98	2,77	2,20	381	3,21	3,02	2,23
232	3,02	4,78	1,97	282	3,21	4,79	2,96	332	3,02	2,45	3,02	382	2,87	2,71	2,87
233	3,02	3,50	3,15	283	4,16	5,25	1,75	333	3,12	2,61	1,81	383	1,94	2,39	2,87
234	4,14	2,87	3,34	284	3,18	3,82	3,51	334	3,18	2,67	2,93	384	3,83	3,18	2,88
235	3,66	5,48	3,02	285	3,85	3,66	3,85	335	2,55	2,23	3,50	385	1,94	1,36	2,55
236	3,82	2,61	3,28	286	3,60	2,96	4,17	336	2,26	2,93	3,69	386	3,82	3,18	2,39
237	2,55	4,93	3,22	287	3,83	1,91	4,46	337	2,64	2,48	1,59	387	3,83	2,87	3,18
238	2,71	2,96	5,13	288	3,98	2,55	2,57	338	3,63	2,07	3,02	388	2,26	3,34	3,02
239	2,23	2,29	2,13	289	2,25	2,55	4,80	339	3,25	3,31	3,22	389	2,86	2,71	1,60
240	3,50	3,57	1,81	290	2,71	2,25	4,46	340	2,77	3,28	2,31	390	1,93	2,57	4,14
241		2,87		291		2,39		341		2,52		391			3,02
242	4,14	3,09	2,71	292		4,46		342		2,23		392			2,87
243		3,60		293		3,82		343		3,44		393			3,21
244		3,34		294		3,51		344		3,34		394			2,25
245		4,78		295		2,71		345		2,61		395			2,39
246		3,82		296		3,18		346		1,75		396			3,82
247		1,94		297		3,22		347		3,37		397			1,11
248		4,23		298		3,60		348		2,71		398			3,21
249		1,59		299		3,02		349		3,69		399		2,55	
250		1,75		300			2,89	350		2,26		400			3,50

**Tabela 6.** Diâmetro a 1,30 m do solo (*DAP*) em centímetros, de árvores de eucalipto híbrido (clone de *Eucalyptus grandis* vs *E. urophylla*), aos 20 meses de idade, em local de ocorrência de ataque por *Lampetis nigerrima* (Kerremans, 1897). T1: Não atacadas e não podadas (Testemunhas); T2: Atacadas e submetidas à poda de correção; T3: Atacadas e sem poda. Grão Mogol, MG, 2005 a 2007.

Árvores N <sup>0</sup>	T1	T2	T3	Árvores N <sup>0</sup>	T1	T2	T3	Árvores N <sup>0</sup>	T1	T2	T3	Árvores N <sup>0</sup>	T1	T2	T3
1	8,59	9,23	9,55	51	8,91	9,55	8,28	101	8,28	9,87	4,78	151	8,59	8,28	7,96
2	9,23	8,59	8,28	52	8,59	8,59	9,23	102	8,91	10,19	9,87	152	8,28	7,64	7,64
3	9,87	7,64	8,91	53	7,96	9,55	7,96	103	9,55	10.19	9,23	153	7,96	7,00	4,46
4	8,91	7,96	9,55	54	11,14	8,28	8,28	104	8,59	8,28	8,28	154	-	10,19	-
5	9,23	9,55	8,59	55	-	10,19	8,91	105	8,91	9,87	7,32	155	8,59	7,32	5,09
6	7,96	8,59	9,87	56	8,91	8,59	8,28	106	8,91	8,28	8,59	156	7,00	8,59	6,05
7	8,91	9,23	7,32	57	8,28	8,28	8,59	107	9,23	8,91	8,28	157	6,37	7,96	6,05
8	8,91	9,87	8,28	58	8,28	8,91	8,91	108	9,55	10,19	6,69	158	7,96	7,96	8,28
9	8,91	9,55	8,59	59	7,96	8,91	8,59	109	10,50	10,19	8,59	159	7,00	8,59	4,46
10	9,55	10,50	10,50	60	8,28	7,32	10,19	110	11,14	9,23	8,28	160	6,68	8,59	5,73
11	8,91	9,23	9,55	61	8,91	10,19	9,87	111	8,91	7,96	8,59	161	7,00	6,69	8,59
12	9,23	9,55	8,28	62	9,23	10,19	9,55	112	9,87	7,00	8,59	162	6,37	6,69	6,69
13	9,23	9,23	9,55	63	8,59	9,55	9,55	113	11,14	10,82	8,59	163	7,00	6,69	8,59
14	9,23	7,96	8,59	64	9,55	9,55	8,59	114	8,28	7,64	9,23	164	7,64	7,32	7,00
15	9,55	8,59	7,64	65	9,23	10,19	9,55	115	8,91	7,96	8,91	165	7,64	7,64	8,59
16	9,23	9,23	8,28	66	9,55	8,59	9,23	116	8,28	8,59	10,19	166	6,68	7,32	8,59
17	8,28	8,28	8,59	67	8,91	8,28	7,96	117	9,23	6,69	9,55	167	7,00	6,69	9,23
18	10,19	12,10	9,55	68	9,23	8,91	8,28	118	8,91	9,87	8,91	168	7,64	7,00	8,59
19	8,28	9,87	9,87	69	9,87	8,59	8,91	119	9,23	8,91	10,82	169	7,32	8,28	8,91
20	9,23	8,59	10,50	70	9,55	8,59	8,91	120	10,19	8,91	12,73	170	7,64	8,28	8,91
21	7,96	8,59	7,96	71	9,87	7,96	8,44	121	9,55	7,96	8,28	171	7,64	8,59	7,64
22	8,91	7,96	8,91	72	10,50	8,59	8,28	122	9,23	8,28	7,64	172	8,28	7,96	8,59
23	10,82	10,50	9,87	73	9,55	8,59	8,44	123	9,23	8,59	10,82	173	8,59	8,28	7,64
24	9,55	7,96	10,19	74	9,87	8,91	8,44	124	9,55	8,91	8,91	174	8,28	8,28	7,96
25	9,23	8,59	9,87	75	9,87	8,75	8,28	125	8,28	8,28	6,05	175	8,28	8,59	8,91
26	8,59	7,64	8,28	76	10,19	9,07	7,96	126	10,82	7,64	8,91	176	8,59	8,91	7,96
27	9,23	8,91	7,32	77	10,19	8,28	8,75	127	8,91	-	10,50	177	9,55	8,28	8,91
28	8,59	8,91	10,50	78	9,87	8,12	7,32	128	8,59	9,23	9,55	178	9,23	8,59	7,32
29	8,59	8,28	10,19	79	9,87	8,44	7,96	129	8,59	7,64	8,59	179	8,91	7,96	8,91
30	9,87	9,55	8,59	80	9,55	9,07	7,96	130	7,96	9,23	10,19	180	8,91	8,91	7,64
31	8,91	10,19	8,59	81	10,50	8,44	8,28	131	7,64	8,28	7,32	181	7,96	6,37	7,96
32	8,91	7,64	9,23	82	10,50	8,28	8,59	132	8,59	7,64	10,19	182	7,64	7,00	8,59
33	10,19	7,96	7,96	83	10,82	8,12	8,91	133	10,19	8,91	8,59	183	8,59	8,28	8,59
34	7,96	9,55	9,55	84	8,91	8,28	9,23	134	8,59	7,64	8,59	184	7,64	8,28	6,37
35	10,19	8,28	10,50	85	8,91	7,96	8,91	135	8,59	8,28	9,55	185	8,59	-	6,05
36	8,59	8,59	11,46	86	8,91	8,59	9,39	136	8,91	8,59	10,50	186	-	10,19	-
37	8,91	7,96	7,96	87	9,23	8,12	9,07	137	8,91		10,50	187		7,96	
38	8,91	7,32	8,59	88	8,59	7,96	9,07	138	8,59	7,96	9,55	188	-	7,96	-
39	8,28	7,64	8,91	89	8,59	8,75	8,75	139	9,23	8,59	8,28	189		6,37	
40	9,23	8,91	8,59	90	9,55	8,12	5,73	140	8,59	8,91	6,05	190		6,69	
41	8,28	9,87	8,91	91	8,91	7,96	8,59	141	8,91	8,28	8,59	191		10,50	
42	8,91	9,55	8,91	92	8,91	8,12	10,82	142	8,59	8,59	7,00	192		7,96	
43	8,59	9,23	9,87	93	8,59	8,91	9,23	143	7,96	8,91	7,32	193		7,96	
44 45	8,91	8,91	8,59	94 95	8,28	9,87	9,87	144	8,59	8,91	8,91	194		7,96	
45 46	9,55	8,59	9,55	95 96	7,96	10,50	8,59	145	8,28	8,28	10,50	195	8,59		8,59
46 47	10,82 9,87	7,96 8,59	8,91 10,82	96 97	9,55 8,59	9,23 10,03	6,05 7,32	146 147	8,28 8,91	8,28	6,05	196 197	8,59 8,91	8,28 8,91	8,59 7.96
48	8,59	8,59	8,91	98	9,23	8,91	6,37	148	8,28	8,28 7,96	8,59 8,28	198	8,91		7,96 7,96
46 49	8,91	9,23	7,64	99	8,91	10,82	8,59	149	8,28 7,96	7,96	6,05	199	8,91		
															8,91
50	8,59	8,59	8,91	100	8,91	9,55	9,23	150	8,91	7,96	8,59	200	7,90	7,96	7,04

Tabela 6. Continuação...

Árvores N <sup>0</sup>	T1	T2	T3	Árvores N <sup>0</sup>	T1	T2	T3	Árvores N <sup>0</sup>	T1	T2	T3	Árvores N <sup>0</sup>	T1	T2	T3
201	8,28	8,28	8,28	251	9,87	9,87	7,64	301	10,50	7,96	7,96	351	8,91	8,59	8,91
202	9,23	8,91	9,87	252	9,23	10,19	7,00	302	9,55	8,28	8,28	352	7,96	8,28	9,87
203	9,87	8,59	7,00	253	8,28	11,46	8,28	303	9,55	7,96	7,00	353	7,64	8,91	5,73
204	9,55	8,59	10,19	254	8,59	8,59	11,78	304	8,91	8,59	8,91	354	8,91	8,28	8,28
205	9,23	9,55	10,19	255	8,44	8,59	7,96	305	8,59	8,59	9,23	355	8,28	6,37	8,91
206	8,28	10,19	7,96	256	7,80	8,59	9,55	306	8,91	8,59	9,55	356	7,64	8,28	7,64
207	9,23	9,23	8,59	257	8,12	7,96	8,91	307	8,59	7,96	6,69	357	8,28	8,91	5,09
208	8,91	9,23	9,87	258	7,96	9,55	9,87	308	9,87	9,87	6,05	358	8,28	9,87	7,96
209	8,59	8,59	7,96	259	7,64	8,59	8,28	309	9,87	7,32	9,55	359	7,96	8,59	7,32
210	8,91	9,55	7,96	260	8,91	7,96	7,96	310	8,28	7,96	11,46	360	7,00	8,59	7,96
211	7,00	8,91	8,28	261	8,12	7,32	7,64	311	7,96	7,64	8,91	361	8,28	6,37	5,73
212	9,55	11,14	8,28	262	7,64	7,32	7,64	312	8,59	8,28	6,37	362	8,59	7,96	5,73
213	10,82	10,19	8,91	263	9,39	7,64	9,87	313	8,59	8,91	7,96	363	8,59	7,96	9,87
214	8,91	9,23	6,69	264	8,75	6,37	8,28	314	8,28	9,23	8,28	364	7,96	8,28	8,28
215	8,91	7,96	8,91	265	9,55	6,69	7,96	315	8,28	8,28	8,28	365	7,96	3,82	9,55
216	8,28	8,59	8,91	266	9,87	7,00	8,28	316	8,91	7,96	8,59	366	7,96	7,96	10,50
217	8,91	8,59	8,28	267	9,71	7,64	8,28	317	9,23	7,96	7,00	367	7,96	8,59	10,50
218	8,28	10,50	10,19	268	10,35	7,00	7,96	318	8,59	9,23	7,96	368	7,00	8,59	8,91
219	8,91	9,55	9,23	269	9,07	10,19	8,28	319	8,91	7,96	9,87	369	8,91	7,96	8,28
220	9,55	8,59	9,23	270	9,07	6,69	8,28	320	7,00	8,91	9,23	370	8,28	7,96	7,64
221	9,55	7,96	8,59	271	9,39	7,32	7,96	321	8,28	8,91	8,28	371	8,28	8,28	7,00
222	8,28	7,96	7,32	272	9,39	8,28	9,23	322	9,55	8,59	7,64	372	8,91	7,96	7,64
223	8,59	7,96	8.59	273	9.71	7,64	8,91	323	8.28	9.23	9,55	373	7,64	7,64	7,96
224	8,59	7,96	7,96	274	8,75	8,91	8,91	324	8,59	7,96	8,59	374		8,28	8,59
225	9,23	8,91	7,96	275	9,71	9,23	9,55	325	10,19	7,96	9,23	375		8,28	8,59
226	8,59	11,46	8,59	276	9,87	8,59	8,91	326	9.23	7,96	8,28	376		8.59	6,37
227	8,28	8,59	8,59	277	9,23	9,87	8,59	327	8,91	7,32	7,96	377	7,64	9,23	7,00
228	8,28	8,28	8,91	278	9,55	9,55	9,87	328	7,96	8,59	8,28	378		8,59	9,55
229	8,28	8,59	9,23	279	9,55	9,55	9,55	329	8,91	8,28	6,05	379		7,96	9,87
230	10,19	9,23	9,23	280	7,96	10,82	8,28	330	8,91	8,28	7,96	380	8,28	7,64	10,50
231	9,55	8,91	7,96	281	8,91	11,46	7,32	331	8,59	7,96	6,69	381	8,59	8,28	7,32
232	8,28	10,50	7,00	282	8,91	10,82	7,96	332	8,59	7,64	7,32	382	8,28	7,00	7,64
233	8,59	8,59	7,96	283	9,87	10,82	6,05	333	8,59	8,59	7,64	383	7,32	7,64	7,96
234	9,87	8,59	8,59	284	8,91	8,91	8,28	334			8,28	384		8,28	7,96
235	9,23	11,78	8,91	285	9,23	9,23	9,55	335	8,28	8,28	9,23	385		8,59	7,64
236	9,55	7,32	8,91	286	8,91	8,59	9,55	336			9,23	386	9,87	8,28	7,64
237	8,59	10,19	8,28	287	8,28	7,32	10,19	337			7,00	387			7,96
238	8,59	8,91	11,46	288	9,23	7,64	7,32	338	10,19	7,64	8,28	388	7,64	8,28	8,28
239	7,64	8,28	8,28	289	7,00	7,96	9,55	339			8,59	389			6,69
240	9,87	9,55	7,96	290	7,00	7,64	9,23	340			7,32	390			10,50
241	9,55	8,91	10,19	291	7,96	7,32	9,23	341		8,28		391			8,12
242	10,50	9,23	8,59	292	7,64	10,50		342			6,69	392			7,64
243	8,28	9,23	9,55	293	7,00	8,59	8,28	343	-	-	8,28	393			9,87
244	8,28	9,23	8,91	294	7,32	8,59	10,19	344			7,64	394			7,32
245	8,59	11,78	7,64	295	8,28	7,64	8,91	345	8,91		8,91	395			7,64
246	8,28	11,14		296	7,00	8,28	8,91	346		7,00		396			9,55
247	8,28		10,19	297	8,91	8,28	8,59	347			7,64	397			6,05
248	8,59	9,55	9,87	298	7,96	8,91	9,55	348			7,32	398			7,96
249	8,91	6,37	7,64	299	8,28	8,59	9,23	349			10,19	399			7,96
250	9,55	7,32	7,64	300	6,68	8,59	7,96	350		8,28		400			10,50

**Tabela 7.** Diâmetro a 1,30 m do solo (*DAP*) em centímetros, de árvores de eucalipto híbrido (clone de *Eucalyptus grandis* vs *E. urophylla*), aos 26 meses de idade, em local de ocorrência de ataque por *Lampetis nigerrima* (Kerremans, 1897). T1: Não atacadas e não podadas (Testemunhas); T2: Atacadas e submetidas à poda de correção; T3: Atacadas e sem poda. Grão Mogol, MG, 2005 a 2007.

Árvores N <sup>0</sup>	T1	T2	T3	Árvores N <sup>0</sup>	T1	T2	T3	Árvores N <sup>0</sup>	T1	T2	T3	Árvores N <sup>0</sup>	T1	T2	T3
1	11,14	11,14	11,78	51	10,50	11,14	9,55	101	10,19	11,30	6,37	151	9,87	9,39	9,39
2	10,82	10,19	9,55	52	10,35	10,03	10,66	102	10,50	11,46	10,66	152	10,03	8,75	9,23
3	11,14	9,39	10,66	53	9,71	11,30	9,87	103	10,98	11,30	10,50	153	9,07	7,80	5,73
4		9,55		54		10,19		104		9,39		154	8,44	10,66	10,66
5	9,71	11,14		55		11,46		105		11,14		155	10,03	-	6,84
6	9,39	9,87	11,46	56	10,50	10,50	9,55	106		9,71		156	9,07	9,71	7,80
7	-	10,66	-	57	9,71	-	10,19	107		10,66		157	9,07	8,75	7,32
8	-	11,30	-	58	9,87	-	10,19	108	-	11,62	-	158	9,39	9,07	9,39
9		10,98		59	9,39		10,19	109	-	11,94	-	159	8,44	9,71	6,05
10		12,26		60	-	10,03	-	110		10,66		160	9,07	10,03	
11		10,50		61		12,10		111	10,66	9,39	9,71	161	8,12		10,19
12	-	10,50	-	62		11,14				11,46		162	9,07	7,80	7,96
13		10,98		63		11,30		113	12,89	11,94		163	8,44	8,44	10,35
14		9,87		64		10,98		114	9,71		10,66	164	9,23	9,87	7,96
15	10,82	10,35	9,23	65	10,98	11,62	10,82	115		9,55		165	9,07	9,07	9,71
16	10,82	10,82	9,87	66		10,35	10,82	116	10,50	10,03	10,82	166	8,28	7,96	10,35
17	9,71	9,71	10,19	67	11,30	9,71	9,23	117	10,98	10,66	11,14	167	7,80	7,64	10,82
18	11,78	10,50	11,46	68		10,03		118	10,35	11,46	9,55	168	9,07	8,12	10,35
19	9,71	11,14	10,82	69	11,30	10,35	10,66	119	10,66	10,50	11,94	169	8,91	9,39	10,35
20	10,98	10,03	11,14	70	11,30	10,35	9,87	120	10,82	10,03	13,05	170	8,91	9,07	10,35
21	9,23	10,35	9,55	71	11,30	9,55	9,87	121	12,41	9,55	9,87	171	8,91	10,03	8,75
22	9,71	9,55	10,50	72	11,78	10,03	10,19	122	10,35	9,87	9,07	172	9,71	9,23	10,03
23	12,26	11,14	11,30	73	11,30	10,19	10,19	123	10,03	10,19	12,26	173	9,71	9,39	8,91
24	11,46	9,55	11,14	74	11,30	10,50	10,35	124	10,50	10,50	10,03	174	9,71	9,23	9,39
25	10,50	10,19	11,14	75	11,46	10,66	10,19	125	9,55	10,19	7,96	175	9,55	10,50	9,87
26	9,87	9,07	10,19	76	11,62	10,82	9,23	126	11,14	9,23	10,50	176	10,35	9,87	8,59
27	10,98	10,66	9,07	77	11,46	9,71	10,50	127	10,82	11,78	12,10	177	10,82	9,39	10,35
28	10,19	10,66	11,94	78	11,30	9,71	9,23	128	11,78	10,66	10,35	178	10,50	9,87	8,91
29	10,03	9,87	8,59	79	11,14	10,03	9,23	129	10,50	9,55	10,19	179	10,35	8,75	9,87
30	11,78	11,78	10,19	80	11,30	10,82	9,55	130	10,03	10,50	11,62	180	10,19	10,50	9,07
31	10,50	9,87	10,50	81	12,10	10,50	9,71	131	10,19	9,71	8,28	181	9,23	7,48	9,55
32	10,50	9,07	10,82	82	11,78	10,03	10,19	132	10,19	10,19	11,94	182	9,07	8,59	10,19
33	11,78	9,39	9,87	83	12,10	10,19	10,50	133	11,78	10,50	10,03	183	9,39	9,39	6,69
34	9,71	11,14	10,98	84	10,50	10,03	10,19	134	10,03	9,55	10,03	184	9,07	9,39	7,48
35	11,78	10,35	12,10	85	10,19	9,71	10,50	135	10,66	9,71	10,50	185	9,23	9,07	7,64
36	10,03	10,19	12,10	86	10,66	10,19	10,98	136	10,19	10,35	12,26	186	9,07	11,14	9,39
37	10,66	9,23	9,39	87	11,14	9,55	10,50	137	10,35	10,03	11,78	187	10,66	9,07	10,35
38	10,82	9,23	10,35	88	10,03	9,71	10,35	138	10,19	9,55	11,30	188	8,91	9,55	8,59
39	9,87	9,07	10,82	89	10,35	10,66	9,55	139	9,87	10,35	9,71	189	9,39	7,96	8,75
40	10,66	10,35	10,19	90	10,82	9,55	6,69	140	10,19	10,66	7,96	190	9,71	7,48	6,53
41	9,71	11,94	10,35	91	10,66	9,55	9,87	141	10,19	9,71	9,55	191	10,03	10,82	10,50
42	10,50	11,30	10,98	92	10,35	9,39	12,73	142	9,87	10,03	8,91	192	8,75	9,55	9,87
43	10,03	10,82	11,46	93	10,50	10,35	10,50	143	10,66	10,66	8,91	193	9,07	8,59	9,87
44	10,35	10,50	10,19	94	9,71	11,14	11,46	144	9,71	10,66	10,50	194	8,75	8,75	10,03
45	11,46	10,19	10,82	95	9,39	11,94	10,19	145	9,39	10,19	11,78	195	9,87	9,71	10,19
46	12,41	10,35	10,50	96	11,14	10,82	7,48	146	10,50	10,03	8,28	196	10,03	9,39	10,03
47	11,78	10,35	11,94	97	11,30	11,46	8,28	147	12,10	10,03	10,03	197	10,19	10,03	9,55
48	10,03	10,19	10,50	98	10,82	10,82	8,12	148	10,82	9,55	9,55	198	10,03	9,39	8,91
49	10,35	10,35	9,39	99		12,73		149		9,55		199	9,71	9,07	9,07
50	10.19	9,87	10,50	100	10,66	10,98	11,14	150	10,82	9,55	10,03	200	9,07	8,75	8,75

Tabela 7. Continuação...

Árvores N <sup>0</sup>	T1	T2	Т3	Árvores N <sup>0</sup>	T1	T2	Т3	Árvores N <sup>0</sup>	T1	T2	T3	Árvores N <sup>0</sup>	T1	T2	Т3
201	9,55	10,35	10,19	251	11,46	11,30	9,23	301	12,10	9,39	9,55	351	9,55	8,75	9,07
202	11,14	10,35	11,14	252	11,30	10,98	8,75	302	10,50	8,91	10,03	352	9,07	9,07	10,35
203	11,30	9,71	8,44	253	10,35	12,89	9,87	303	10,19	9,55	8,28	353	8,75	9,39	6,84
204	10,50	10,19	11,14	254	10,35	10,19	12,73	304	-	9,55	-	354	10,03	9,71	9,39
205	10,66	10,82	11,62	255	10,19	9,87	9,87	305	11,30	10,35	10,66	355	9,23	7,32	9,23
206	9,87	11,46	9,71	256	9,23	9,87	10,98	306		10,19	11,14	356	8,91	9,39	8,91
207	11,46	10,98	10,19	257	9,71	9,55	10,50	307	9,55	9,23	8,28	357	9,39	10,03	6,69
208		10,50		258		10,82	-	308		11,14		358	9,39	11,30	
209		9,87		259	10,03		9,87	309		9,07		359	8,75	9,55	8,12
210		11,14		260	10,35	-	9,55	310	-	9,55	-	360	9,39	9,39	8,75
211		10,35		261	11,46		9,23	311	10,03	-	8,91	361	9,07	7,48	7,32
212		12,41		262	9,23	8,44	9,23	312	10,35		7,96	362	9,07	8,75	7,32
213		12,10		263	10,98		11,46	313		10,35		363	10,19	8,75	10,66
214	-	10,19	-	264	10,35		9,55	314	-	10,82	-	364	9,39	9,23	9,55
215		9,07		265	11,30		9,87	315	10,66		9,87	365	8,91	7,32	10,35
216	9,87		10,82	266	11,14		10,19	316	8,59	9,23	10,19	366	8,75	8,75	11,46
217		9,71	9,87	267	10,98		9,87	317	9,87	9,39	8,75	367	9,07	11,14	
218	9,71	11,78	11,62	268	11,94	8,28	9,55	318	11,30	10,50	9,71	368	8,28	9,87	10,50
219		11,46		269		11,78	-	319		9,23			9,87	8,59	9,23
220		10,35	10,82	270	10,66		10,03	320		10,35		370	10,50	-	8,91
221	10,98		9,71	271	10,82		9,07	321		10,19		371	9,55	9,23	8,28
222	9,87	9,71	8,44	272	10,98	10,98	9,87	322	10,03	10,03	9,23	372	9,71	8,91	8,59
223	10,82	9,39	9,55	273		9,07		323	-	11,46	-	373	8,91	8,75	8,59
224	10,19	9,23	9,87	274	10,19	10,66	10,82	324	9,55	9,39	10,19	374	8,59	8,91	9,55
225	10,82	10,19	9,39	275	11,30	10,50	11,46	325	10,50	9,71	10,82	375	9,87	9,07	9,55
226	10,19	13,05	10,19	276	11,14	10,03	10,82	326	10,35	9,55	9,87	376	8,75	9,71	7,96
227		10,35		277		11,30			10,19		9,55	377	9,07	10,19	7,96
228	10,03	10,03	10,50	278	11,14	11,30	11,14	328	10,03	9,71	9,87	378	8,91	9,87	10,98
229	-	10,19	-	279	-	10,82	-		-	9,87	8,28	379	8,59	9,23	10,50
230		11,14		280	-	12,26	-	330	9,55	9,87	8,28	380	9,55	8,91	11,46
231		10,35		281	-	10,82	-	331	9,87	9,71	9,23	381	9,55	9,55	8,91
232		11,78		282	-	12,41		332	10,03		10,35	382	9,55	7,80	8,59
233	-	10,03	-	283	11,46	12,89	7,32	333		10,19		383	9,07	8,12	8,59
		10,19				13,53		334		9,87		384	10,03		8,91
235		13,69		285		11,14				9,55				10,19	
236		8,59		286		10,35					10,98			9,39	
237		11,78		287		9,07				9,23		387		9,07	
238		10,50		288		9,39		338		9,07		388		9,39	
239		10,03		289						10,35				8,44	
240		10,98		290	8,59		10,82			10,03		390		9,07	
241		9,87		291	9,55		10,82			10,03				8,59	
242		11,46		292		12,10				9,87		392		9,39	
243		11,30		293		10,35		343		11,30				8,75	
244		10,35		294		10,35				10,35		394		9,39	
245		14,17		295		8,91				9,87		395	8,59		9,23
246		12,73		296		9,87				8,28				9,07	
247		11,62		297		9,87				10,50		397			7,64
248		11,14		298		10,66				9,23				8,59	
249		8,12		299		10,50				10,82		399		8,75	
250	11,30	8,75	9,07	300	8,59	10,19	9,55	350	10,66	9,87	9,39	400	8,12	10,19	10,82

**Tabela 8.** Diâmetro a 1,30 m do solo (*DAP*) em centímetros, de árvores de eucalipto híbrido (clone de *Eucalyptus grandis* vs *E. urophylla*), aos 32 meses de idade, em local de ocorrência de ataque por *Lampetis nigerrima* (Kerremans, 1897). T1: Não atacadas e não podadas (Testemunhas); T2: Atacadas e submetidas à poda de correção; T3: Atacadas e sem poda. Grão Mogol, MG, 2005 a 2007.

Árvores N <sup>0</sup>	T1	T2	T3	Árvores N <sup>0</sup>	T1	T2	T3	Árvores N <sup>0</sup>	T1	T2	T3	Árvores N <sup>0</sup>	T1	T2	T3
1	13,05	12,41	12,73	51	12,41	13,05	12,41	101	11,46	13,05	8,91	151	11,62	11,46	11,14
2	12,41	11,78	11,14	52	12,26	12,10	12,73	102	12,10	12,73	12,10	152	11,46	10,50	12,57
3	13,05	10,82	12,41	53	11,46	13,05	12,10	103	12,41	12,73	12,10	153	10,66	10,19	9,07
4	12,10	11,46	13,37	54	14,80	11,78	11,78	104	11,78	10,82	10,82	154	10,03	12,73	12,57
5	11,46	12,73	11,78	55	14,17	13,05	12,73	105	12,10	12,73	10,19	155	12,57	10,82	8,59
6	10,82	11,46	13,69	56	12,26	11,78	12,10	106	11,78	11,14	11,46	156	10,19	11,78	10,82
7	11,78	12,10	11,14	57	11,78	12,10	12,10	107	12,73	12,41	10,50	157	10,19	10,66	10,50
8	11,78	13,05	11,46	58	11,94	12,10	12,10	108	12,41	12,73	13,37	158	11,14	11,46	11,46
9	11,78	12,41	11,46	59	11,62	12,41	12,10	109	13,05	13,37	11,46	159	10,50	11,62	9,39
10	12,73	13,69	14,32	60	11,78	11,94	13,21	110	13,69	12,41	11,14	160	10,19	11,94	10,03
11	11,46	12,10	13,05	61	12,57	13,85	12,41	111	12,10	10,82	11,46	161	9,87	9,39	12,41
12	12,10	12,73	11,46	62	12,89	13,69	12,41	112	13,05	12,73	12,10	162	10,19	9,87	9,87
13	12,41	12,73	12,41	63	12,10	13,37	12,41	113	14,32	13,05	11,46	163	10,50	10,19	12,10
14	12,10	11,46	12,10	64	13,05	12,57	10,98	114	11,46	10,50	11,46	164	11,46	11,78	9,87
15	12,73	12,41	10,82	65	12,89	13,53	13,05	115	12,10	10,82	12,10	165	11,46	11,14	11,46
16	12,10	12,41	11,78	66	13,85	12,26	12,41	116	12,10	11,46	11,78	166	9,55	10,19	11,78
17	11,14	11,46	11,78	67	12,41	11,30	11,78	117	12,41	12,10	12,73	167	10,19	9,87	13,05
18	13,37	14,96	13,05	68	13,05	12,10	12,10	118	12,10	12,73	14,01	168	11,14	10,50	12,26
19	11,14	13,05	11,78	69	13,37	12,57	12,57	119	12,10	11,78	12,73	169	10,66	11,14	11,62
20	12,73	11,46	12,73	70	13,05	12,41	11,94	120	12,73	11,78	15,28	170	10,82	11,46	12,26
21	10,50	11,78	11,46	71	13,21	11,46	12,41	121	13,69	10,82	11,78	171	10,82	12,41	11,14
22	11,14	11,14	12,10	72	13,53	12,10	12,41	122	12,41	11,78	11,46	172	11,78	11,14	13,05
23	13,37	12,41	12,73	73	12,73	11,94	12,26	123		12,10			11,62	11,14	10,98
24	12,73	11,14	13,37	74	13,05	12,57	12,10	124	12,41	12,10	11,78	174	11,78	11,78	11,78
25	12,41	11,78	14,01	75	13,37	12,57	12,26	125	11,62	11,78	11,78	175	11,94	12,10	12,41
26	11,46	10,50	11,78	76	13,21	12,89	10,82	126	14,64	10,82	12,10	176	11,94	11,46	10,82
27	12,41	12,10	10,82	77	13,21	11,62	13,05	127	11,78	13,05	13,37	177	12,73	11,30	11,94
28	11,78	12,41	13,05	78	12,89	12,26	10,66	128	12,73	12,41	12,10	178	12,57	11,30	11,46
29	11,46	11,46	13,37	79	13,05	11,94	10,98	129	12,10	11,14	11,78	179	12,41	11,14	12,10
30	13,37	13,69	11,78	80	13,21	12,89	11,78	130	10,82	11,78	13,05	180	11,62	12,41	11,78
31	11,62	12,73	12,10	81	14,01	12,41	11,62	131	12,41	11,46	9,87	181	11,46	9,39	12,73
32	12,10	10,82	12,10	82	14,01	11,94	11,94	132	11,78	11,46	12,41	182	11,14	10,50	12,89
33	13,37	11,14	11,46	83	14,01	12,26	12,41	133	13,05	12,41	11,78	183	11,30	11,78	9,07
34	11,14	12,41	13,05	84	12,26	11,46	12,41	134	11,78	10,82	10,82	184	11,14	11,46	10,19
35		12,10		85		11,94		135		11,46		185		11,46	
36	11,78	12,10	14,32	86		12,10		136	11,78	11,78	13,69	186	12,10	13,37	11,14
37	12,41	10,50	11,14	87	12,89	11,78	12,10	137	11,78	11,46	13,85	187	12,57	11,14	12,10
38	12,10	10,50	12,10	88	11,62	11,62	12,10	138	11,46	11,46	13,05	188	10,82	12,10	11,46
39	11,46	10,50	12,10	89	12,73	12,10	10,98	139	12,10	11,78	11,46	189	11,78	10,19	11,14
40	12,10	12,10	11,46	90	12,73	11,30	10,82	140	11,46	12,10	12,10	190	11,78	9,87	9,71
41	11,14	13,37	11,14	91	13,05	11,30	11,78	141	11,78	11,14	10,82	191	12,10	13,85	13,69
42	12,41	13,05	12,10	92	12,41	10,98	14,01	142	11,46	11,46	10,50	192	10,82	12,10	12,41
43	11,78	12,41	13,05	93	12,26	12,10	12,41	143	11,46	12,41	11,46	193	11,14	10,35	12,41
44	12,10	12,41	11,46	94	11,94	13,05	13,37	144	12,10	11,94	11,46	194	11,14	11,14	12,41
45	12,10	11,78	12,41	95	11,46	13,69	12,57	145	10,50	11,78	13,53	195	12,26	12,41	13,37
46	14,01	11,46	12,10	96	13,05	12,10	9,55	146	11,78	11,46	9,87	196	12,57	11,46	12,10
47	13,37	12,10	13,05	97	12,73	12,73	10,35	147	13,05	11,78	11,78	197	12,57	12,10	11,78
48	11,14	11,78	12,73	98	13,05	12,10	10,03	148	11,46	11,14	12,10	198	12,26	11,78	11,46
49	12,10	11,78	10,50	99	13,05	14,32	12,26	149	11,46	11,30	10,19	199	12,10	10,66	11,46
50	11,78	11,46	12,41	100	12,57	13,21	12,10	150	12,10	11,14	11,46	200	11,14	10,82	11,14

Tabela 8. Continuação...

Árvores N <sup>0</sup>	T1	T2	Т3	Árvores N <sup>0</sup>	T1	T2	T3	Árvores N <sup>0</sup>	T1	T2	T3	Árvores N <sup>0</sup>	T1	T2	T3
201	11,46	11,78	12,10	251	13,37	12,89	10,66	301	13,37	10,82	10,82	351	11,78	11,46	11,46
202	12,73	12,10	12,10	252	13,21	12,73	9,87	302	12,57	11,78	11,46	352	11,46	11,46	12,73
203	12,73	11,46	9,55	253	11,78	15,12	11,78	303	12,73	11,14	12,73	353	11,14	11,78	8,59
204		12,10		254		11,78		304		11,14		354		12,10	
205	12,10	12,73	12,10	255	11,94	11,62	11,30	305	12,10	11,78	11,94	355	11,78	9,71	11,14
206	11,46	13,37	11,14	256	11,30	11,62	12,89	306		11,62		356	10,50	11,46	10,82
207		13,05		257	11,94	11,30	12,57	307	12,10	10,50	11,62	357	11,78	12,57	10,82
208	-	12,10		258		12,89		308		12,73				12,73	
209	12,10	11,78	11,46	259	11,46	11,94	11,14	309	13,05	10,50	14,64	359	11,46	12,10	10,19
210	12,41	13,05	10,82	260		11,78		310		11,14				12,10	
211	-	11,78	-	261		11,14		311		10,66				9,87	
212	-	13,37	-	262	-	10,35	-	312		11,14				11,78	
213		13,37		263	13,21	11,14	13,05	313	12,10	11,94	10,98	363	12,10	11,14	12,73
214	12,73	11,46	11,78	264	11,46	10,82	11,94	314		12,73			11,46	11,62	12,41
215		11,14		265	13,37	10,82	11,62	315	11,46	11,30	11,94	365		11,34	
216	11,78	11,78	11,78	266	12,89	10,82	12,57	316	9,55	11,14	11,62	366	11,14	11,46	13,37
217		11,14		267	12,41	11,46	12,41	317	12,41	10,82	10,03	367		14,01	
218	11,78	13,37	13,69	268		10,19		318		12,10		368		12,41	
219		12,73		269	-	13,53	-	319		10,66		369		10,50	
220		11,78		270	-	10,98	-	320		12,10		370		11,78	
221		10,82		271		10,66		321		11,62		371		11,78	
222		10,82		272		13,05		322		11,46				10,82	
223		11,14		273		11,14		323		12,73				10,82	
224		10,50		274		12,73		324	11,30	10,82	11,78	374	10,19	11,46	11,78
225		11,46		275		12,41		325	-	10,82	-	375		11,14	
226		14,64		276		11,78		326		11,46		376		12,10	
227		12,10		277		13,21		327		10,98		377		12,57	
228		11,46		278		12,89		328		10,98		378		11,62	
229		11,78		279		12,41		329	-	11,62	-	379		11,46	
230	-	12,41	-	280		14,01		330		11,46		380		10,82	
231		12,10		281	-	14,48	-	331	-	11,14	-	381		12,10	
232		13,69		282		14,01		332		11,14				10,19	
233	-	11,46		283		14,96		333		12,10		383		10,19	
234		12,10		284	-	14,64	-	334		11,46				11,46	
235		14,96		285		13,21		335		11,14		385		11,78	
236		10,50		286		12,26		336		11,14		386		11,46	
237		13,37		287		10,50		337		10,82		387		10,50	
238		12,10		288		11,14		338	-	10,66	-			11,14	
239		12,10		289		11,78		339		11,94		389		9,87	
240		12,41		290		10,82		340		11,46				10,50	
241		11,46		291		10,03		341		11,46		391		10,50	
242		13,37		292		14,32		342		11,62		392		11,78	
243		13,05		293		12,57		343		12,10		393		11,14	
244		11,46		294		12,57		344		11,78		394		11,46	
245		15,92		295		10,50		345		11,14				11,14	
246		14,64		296		12,10		346		9,71				11,14	
247		12,73		297		11,30		347		12,41				11,78	
248		12,41		298		12,73		348		11,14				10,50	
249		9,87		299		12,41		349		12,41		399		10,19	
250	13,05	10,19	10,82	300	10,66	12,41	12,10	350	12,41	11,30	10,98	400	10,19	12,10	12,10

**Tabela 9.** Volume de madeira com casca (Vcc) em metros cúbicos por hectare, de árvores de eucalipto híbrido (clone de *Eucalyptus grandis* vs *E. urophylla*), aos 8 meses de idade, em local de ocorrência de ataque por *Lampetis nigerrima* (Kerremans, 1897). T1: Não atacadas e não podadas (Testemunhas); T2: Atacadas e submetidas à poda de correção; T3: Atacadas e sem poda. Grão Mogol, MG, 2005 a 2007.

Árvores N <sup>0</sup>	T1	T2	T3	Árvores N <sup>0</sup>	T1	T2	Т3	Árvores N <sup>0</sup>	T1	T2	T3	Árvores N <sup>0</sup>	T1	T2	T3
1	1,82	2,23	1,43	51	1,87	0,76	1,05	101	1,86	2,23	1,86	151	3,62	3,60	1,48
2	2,15	1,26	0,81	52	3,22	2,57	3,81	102	2,23	2,10	1,70	152	1,58	3,48	0,31
3	3,60	1,04	2,09	53	3,26	1,20	0,44	103	2,39	2,74	1,01	153	3,21	6,53	0,48
4	2,93	2,73	1,78	54	2,99	1,36	4,22	104	4,90	2,12	0,76	154	1,71	2,13	7,42
5	1,55	4,70	1,69	55	1,98	2,13	4,29	105	3,96	4,28	1,12	155	2,91	1,43	0,45
6	1,54	2,31	6,03	56	1,70	3,66	1,99	106	2,47	3,44	1,37	156	0,74	1,68	3,30
7	2,96	1,78	1,87	57	2,38	2,88	0,76	107	2,23	2,08	1,36	157	1,29	1,22	1,86
8	2,53	2,31	0,40	58	2,61	1,85	4,88	108	1,27	1,60	3,10	158	1,29	2,77	3,31
9	2,63	4,25	1,50	59	1,71	1,83	2,23	109	1,26	2,34	1,12	159	1,32	2,84	2,27
10	3,09	6,11	2,15	60	2,04	2,64	1,40	110	1,39	1,46	3,40	160	2,33	1,20	0,69
11	2,89	2,47	1,93	61	5,98	1,90	1,02	111	2,21	4,69	2,75	161	1,74	1,01	0,67
12	2,63	2,25	1,34	62	3,40	4,59	1,03	112	1,45	3,67	3,99	162	1,80	0,90	1,32
13	3,25	2,40	3,00	63	4,36	3,23	1,54	113	2,23	3,97	2,72	163	2,53	1,23	1,59
14	2,91	1,12	1,02	64	1,96	2,09	1,70	114	3,96	3,95	2,44	164	2,31	0,28	1,15
15	3,10	1,61	0,65	65	1,83	1,02	4,55	115	2,95	3,56	3,84	165	2,97	0,23	1,29
16	2,56	1,46	0,95	66	1,42	2,10	1,14	116	2,65	2,56	2,98	166	3,82	0,32	1,36
17	1,32	1,56	1,50	67	1,98	1,18	1,45	117	1,52	1,50	0,98	167	3,61	0,94	1,60
18	3,95	2,32	3,00	68	1,46	6,51	4,47	118	2,65	1,68	1,30	168	4,40	0,60	1,30
19	1,86	1,97	0,59	69	3,03	2,73	1,39	119	3,19	1,85	3,47	169	2,93	3,55	1,32
20	1,98	2,16	1,47	70	3,00	2,29	1,61	120	3,47	2,07	0,90	170	2,92	0,28	1,02
21	1,00	2,16	0,57	71	2,95	0,84	0,61	121	3,21	1,67	2,66	171	3,59	0,71	1,77
22	2,23	1,66	1,60	72	1,83	1,35	0,27	122	3,57	2,67	1,42	172	3,67	1,77	1,76
23	6,20	3,61	3,68	73	1,82	0,68	1,16	123	2,12	1,65	1,87	173	3,88	0,81	2,73
24	2,12	1,22	2,97	74	1,40	1,68	2,18	124	4,26	2,17	1,06	174	2,74	1,77	2,73
25	2,31	0,97	1,85	75	2,45	1,78	1,05	125	3,88	2,37	0,89	175	3,44	2,23	3,09
26	1,91	1,15	1,82	76	1,83	5,51	1,58	126	3,31	2,91	0,81	176	4,18	2,61	2,67
27	1,90	3,32	0,71	77	1,58	1,31	1,58	127	4,33	1,95	2,15	177	3,32	4,22	2,29
28	1,66	1,90	4,79	78	1,43	2,19	2,57	128	2,82	2,07	1,13	178	3,55	2,90	4,51
29	1,38	0,69	5,28	79	1,53	1,51	1,66	129	4,03	2,32	0,72	179	2,34	3,85	1,86
30	2,35	3,05	1,87	80	3,89	1,41	2,93	130	3,61	2,43	1,20	180	1,44	4,90	2,36
31	1,56	0,83	1,12	81	3,88	2,13	0,96	131	4,42	1,51	1,76	181	1,78	6,94	1,04
32	2,33	1,39	2,45	82	1,65	4,91	0,47	132	4,94	1,04	2,27	182	1,85	5,02	1,44
33	4,05	1,02	1,75	83	1,57	2,24	1,63	133	4,48	2,23	2,38	183	3,53	5,98	0,34
34	1,11	4,34	0,95	84	3,57	1,39	1,97	134	2,79	2,56	2,53	184	1,73	2,90	2,17
35	4,21	1,85	4,58	85	2,69	6,91	1,48	135	3,10	1,72	2,23	185	2,80	2,45	2,95
36	1,76	1,52	5,51	86	2,70	1,18	2,02	136	3,24	1,67	2,59	186	2,23	1,32	3,41
37	1,44	1,91	0,51	87	0,97	5,01	1,88	137	3,13	1,29	1,02	187	2,81	0,41	4,04
38	2,48	0,39	2,24	88	1,20	1,55	5,73	138	2,52	1,37	1,27	188	2,88	0,96	1,01
39	1,52	1,35	1,19	89	0,73	0,93	0,77	139	2,73	2,57	0,45	189	0,69	0,99	4,86
40	2,34	2,15	3,11	90	2,33	2,34	0,48	140	3,08	1,10	1,03	190	1,01	0,67	4,10
41	1,54	2,58	2,12	91	4,00	1,42	2,49	141	2,39	1,64	0,92	191	1,37		4,27
42	1,83	1,69	1,95	92	3,51	1,63	1,35	142	1,95	1,40	5,53	192	0,85	3,99	3,69
43		1,95		93	1,16	2,38	1,12	143		2,23		193	0,75	2,58	2,59
44	1,57	2,23	1,35	94	1,38	2,12	0,59	144	2,19	3,05	3,28	194	0,75	2,20	3,65
45	3,44	2,20	2,48	95	1,80	4,02	0,55	145	1,49	5,99	1,87	195	1,42	1,06	3,22
46	5,43	1,40	2,54	96	1,37	2,76	0,50	146	3,26	1,78	0,09	196	0,60	1,65	1,08
47		2,11		97	1,39	0,51	4,82	147	1,86	3,63	0,65	197		1,71	
48	0,96	2,39	1,17	98	2,24	3,17	3,29	148	2,17	1,80	0,26	198	1,31	2,23	1,60
49	2,53	1,07	1,33	99	2,08	0,33	0,84	149	3,14	6,36	1,65	199	1,61	1,56	2,31
50	1,59	1,60	1,57	100	2,80	0,42	0,31	150	1,86	2,88	1,61	200	0,47	1,64	1,16

Tabela 9. Continuação...

Árvores N <sup>0</sup>	T1	T2	T3	Árvores N <sup>0</sup>	T1	T2	T3	Árvores N <sup>0</sup>	T1	T2	T3	Árvores N <sup>0</sup>	T1	T2	T3
201	1,43	2,20	0,17	251	2,74	1,40	0,80	301	1,89	1,84	1,81	351	1,83	0,71	1,34
202	1,65	2,70	2,20	252	1,81	1,56	1,39	302	1,80	0,91	1,31	352	0,88	1,70	2,12
203	1,68	3,82	1,67	253	1,97	0,89	0,70	303	1,37	0,27	0,09	353	0,93	1,47	0,18
204	1,64	0,19	0,51	254	1,65	1,87	1,57	304	0,37	2,88	1,57	354	2,55	1,24	1,27
205	2,09	2,01	0,66	255	1,78	1,68	2,59	305	1,46	1,25	0,22	355	1,27	0,26	1,06
206	1,99	0,75	0,76	256	1,71	1,95	2,71	306	0,81	1,86	0,29	356	0,65	1,48	0,79
207	2,09	1,90	1,00	257	1,56	1,37	0,94	307	0,29	1,50	0,32	357	1,38	1,15	0,16
208	2,00	2,65	0,57	258	2,75	3,59	0,51	308	1,06	1,13	1,54	358	1,48	1,94	0,76
209	3,83	3,94	0,92	259	2,54	0,72	2,34	309	0,46	1,86	0,17	359	1,10	1,82	0,53
210	4,04	2,63	0,82	260	1,40	0,99	3,24	310	0,44	1,88	0,29	360	0,96	1,49	0,73
211	2,01	4,30	1,36	261	1,60	0,66	0,54	311	0,47	0,28	1,65	361	1,10	0,36	0,25
212	2,68	4,76	0,71	262	1,41	0,98	0,28	312	0,29	0,33	0,66	362	1,35	0,83	0,20
213	4,79	5,00	1,77	263	1,29	1,70	0,70	313	0,49	0,45	1,59	363	1,76	1,86	3,67
214	1,17	1,64	1,29	264	1,62	1,46	1,15	314	1,05	1,69	0,86	364	1,03	1,32	1,96
215	1,94	1,45	2,19	265	1,48	0,87	2,15	315	1,09	0,98	1,80	365	0,97	1,52	3,27
216	1,80	1,56	1,26	266	1,87	0,93	1,95	316	0,49	0,40	1,74	366	2,30	0,76	2,93
217	2,10	1,96	1,02	267	1,86	0,40	0,52	317	0,68	0,31	3,51	367	1,34	3,37	2,33
218	1,61	3,36	3,04	268	1,54	2,14	1,20	318	1,07	0,66	1,90	368	0,77	1,40	2,42
219	1,86	1,67	4,73	269	1,71	1,42	3,19	319	0,74	1,05	2,47	369	2,06	0,75	1,02
220	2,38	1,96	5,42	270	0,78	1,14	2,46	320	0,76	1,09	1,27	370	3,07	1,39	0,74
221	1,49	1,07	1,24	271	1,66	1,70	0,78	321	1,32	1,13	0,48	371	1,81	1,82	0,50
222	1,86	1,24	0,59	272	2,88	1,67	1,59	322	1,51	1,44	1,01	372	1,87	1,28	0,79
223	1,92	2,10	3,06	273	1,53	1,64	2,36	323	1,41	1,31	0,50	373	1,42	1,01	0,49
224	1,55	1,56	2,02	274	1,28	1,03	1,43	324	1,76	1,08	0,79	374	1,19	1,01	1,37
225	1,83	1,74	0,43	275	2,90	1,56	1,72	325	2,51	1,11	1,61	375	2,08	2,07	1,90
226	4,24	1,39	1,71	276	1,69	0,94	1,65	326	2,44	1,96	0,92	376	0,97	1,98	0,93
227	2,40	4,01	3,89	277	2,64	1,22	1,30	327	3,05	1,86	1,29	377	0,94	3,35	1,43
228	1,49	2,13	1,44	278	1,25	1,13	1,52	328	2,36	1,73	0,70	378	1,02	2,61	2,87
229	3,17	0,67	1,59	279	2,01	1,35	0,40	329	1,94	1,26	1,46	379	1,24	1,37	1,96
230	1,26	2,26	5,04	280	1,98	1,42	0,89	330	3,03	2,83	0,74	380	1,36	0,73	3,13
231	2,39	0,92	0,40	281	3,25	1,22	0,75	331	1,00	0,45	0,82	381	1,91	1,49	0,71
232	1,61	0,75	2,84	282	1,67	0,92	1,45	332	0,75	1,02	1,57	382	1,45	1,03	1,27
233	2,83	1,48	1,61	283	1,84	1,12	0,44	333	1,97	1,74	0,53	383	0,56	0,85	1,33
234	1,56	0,85	1,10	284	1,99	1,10	1,48	334	0,98	1,42	0,35	384	2,94	1,74	1,41
235	1,64	1,16	1,03	285	1,05	0,65	2,48	335		0,79	0,20	385		0,32	
236	1,52	2,01	1,33	286	0,79	1,54	2,50	336	1,54	2,78	1,32	386		1,81	
237	2,04	1,84	1,49	287	1,08	0,98	0,53	337	2,48	0,87	1,50	387		1,27	
238	1,38	1,50		288	2,31	0,69	1,35	338	1,00	0,97	0,88	388			1,53
239	1,48		0,89	289	2,09		1,87	339	1,43	0,53		389	1,42	1,18	
240	1,69	1,52		290	1,29	1,82		340	1,72	0,62		390			3,35
241	2,09		0,80	291	2,57		2,31	341	1,18	4,76	1,65	391	0,96		1,59
242	1,69		0,52	292	1,40		2,24	342	1,03		1,28	392	0,60	1,22	1,00
243	0,93	1,82		293	1,60		1,80	343	1,10	0,80	2,39	393	2,36	1,68	1,76
244	1,73	2,08	3,20	294	1,74		0,33	344	0,72	0,86	1,69	394	1,78		0,82
245	0,68	1,08	4,20	295	2,08		2,45	345	1,53		2,31	395	0,73		0,98
246	1,53	1,21		296	2,00		3,01	346	2,08	1,29	2,09	396	2,50	1,04	
247	2,11	0,92	1,08	297	2,71		0,50	347	2,16	1,47		397	1,10	1,31	
248	1,78	1,21	1,28	298		1,12		348	2,72	1,29		398	0,71		1,96
249	1,25	0,86		299		2,45		349			1,49	399	0,99		1,20
250	1,52	1,15		300		0,93		350		0,61		400		1,78	

**Tabela 10.** Volume de madeira com casca (Vcc) em metros cúbicos por hectare, de árvores de eucalipto híbrido (clone de *Eucalyptus grandis* vs *E. urophylla*), aos 20 meses de idade, em local de ocorrência de ataque por *Lampetis nigerrima* (Kerremans, 1897). T1: Não atacadas e não podadas (Testemunhas); T2: Atacadas e submetidas à poda de correção; T3: Atacadas e sem poda. Grão Mogol, MG, 2005 a 2007.

Árvores N <sup>0</sup>	T1	T2	T3	Árvores N <sup>0</sup>	T1	T2	Т3	Árvores N <sup>0</sup>	T1	T2	T3	Árvores N <sup>0</sup>	T1	T2	T3
1	20,75	18,81	20,13	51	17,18	20,62	15,12	101	19,93	21,96	16,50	151	23,45	33,22	14,06
2	17,79	16,31	16,50	52	26,51	23,12	27,36	102	19,27	19,27	23,94	152	29,07	33,32	11,81
3	24,43	12,88	19,93	53	30,29	16,31	10,83	103	15,89	22,88	12,71	153	16,50	43,48	16,50
4	17,54	16,52	23,79	54	25,62	20,01	29,15	104	29,89	17,87	19,24	154	17,79	18,53	47,32
5	22,23	26,54	23,72	55	23,94	25,62	29,15	105	33,41	28,11	18,33	155	24,28	19,27	15,25
6	15,25	16,31	27,36	56	20,62	29,15	17,16	106	19,13	18,53	13,75	156	14,65	19,27	21,96
7	21,52	17,10	15,06	57	18,81	24,80	19,27	107	21,99	17,87	16,31	157	17,85	17,79	21,52
8	22,32	27,36	16,50	58	19,13	30,78	27,36	108	15,81	17,54	18,33	158	16,52	21,96	32,24
9	22,32	26,54	14,08	59	16,31	24,46	17,16	109	12,71	19,13	19,86	159	12,88	23,72	19,24
10	20,13	43,18	33,22	60	21,52	32,94	17,79	110	16,50	17,75	24,99	160		15,25	
11	22,32	20,52	25,62	61	17,72	25,51	16,50	111	19,93	27,07	24,43	161	21,16	13,98	15,23
12		29,28			22,88	37,36	17,18	112	21,38	27,07	30,20	162	14,06	13,98	12,30
13	29,93	23,94	25,62	63	29,38	37,48	17,54	113	18,53	25,62	30,20	163		11,71	
14	21,38	14,62	19,27	64	19,13	20,52	13,45	114		29,28		164	21,53	9,76	17,18
15	23,06	19,27	13,47	65	19,93	16,52	23,91	115	22,23	34,36	23,79	165	29,28	7,62	15,89
16	23,94	27,36	18,56	66	17,18	15,56	17,54	116	21,96	25,94	19,67	166	31,27	8,37	17,87
17	16,50	19,24	16,31	67	22,32	20,75	15,12	117	19,93	16,50	20,33	167	30,27	14,06	15,12
18	27,07	35,24	25,62	68		28,79		118		19,13		168	36,51	11,81	16,52
19	22,68	25,40	23,45	69		25,62		119	31,27	17,79	24,71	169		34,36	
20	20,52	19,27	33,22	70		24,46		120	21,96	17,79	19,13	170		7,62	
21	-	-	13,98			16,52		121		15,89		171		12,91	
22	18,33	15,25	22,32	72	16,50	15,25	12,37	122	36,54	18,53	16,50	172	30,08	17,87	21,38
23	32,91	35,43	30,29	73	17,79	16,52	19,27	123	30,20	22,98	18,56	173	26,48	15,23	19,13
24	21,96	13,98	32,27	74	18,53	21,61	16,52	124	23,45	20,72	24,28	174	24,60	21,52	19,13
25	22,23	20,01	29,31	75	17,10	25,51	15,25	125		18,45		175	30,27	24,80	21,96
26		19,91		76		44,80		126		25,60		176		23,72	
27		22,32		77		20,75		127		17,18		177		34,20	
28		23,91				20,62		128	29,31	17,19	12,91	178		25,62	
29		15,12				22,24		129		15,71		179		25,62	
30		25,62		80		23,09		130		19,82		180		37,61	
31		34,36		81		23,91		131		18,56		181		36,89	
32		14,06				37,65		132		17,87		182		38,79	
33		17,79				20,75		133		22,48		183		38,79	
34		31,11				16,31		134		17,87		184		25,51	
35		19,24				36,19		135		15,25		185		23,94	
36		26,68		86	-	10,76	-	136		19,27		186		20,01	
37		15,25				29,15		137		15,87		187		9,68	
38		13,98				19,93				16,52		188		15,81	
39		17,57				17,87				24,60		189		15,89	
40			22,24			22,88		140		17,19		190		12,88	
41		23,45				19,93		141		20,33		191		12,91	
42		20,13		92	-	20,52	-	142		17,19		192		36,54	
43		17,10				27,36		143		19,13		193		17,79	
44		21,52				20,52		144		33,22		194		16,31	
45		16,31				38,97		145		37,65		195		14,64	
46		16,52		96		42,35		146		29,07		196		16,50	
47		20,01		97		10,76		147		34,30		197		16,50	
48		14,82		98		26,54		148		20,72		198		19,93	
49		25,65				9,35		149		39,96		199		18,53	
50	19,27	20,75	23,12	100	23,79	12,91	11,71	150	20,72	22,88	23,94	200	10,76	17,79	12,71

Tabela 10. Continuação...

Árvores N <sup>0</sup>	T1	T2	T3	Árvores N <sup>0</sup>	T1	T2	Т3	Árvores N <sup>0</sup>	T1	T2	T3	Árvores N <sup>0</sup>	T1	T2	T3
201	24,74	25,40	4,80	251	35,43	16,52	15,25	301	14,82	16,50	15,25	351	20,72	14,82	19,13
202		20,82		252		26,12		302		11,71		352			23,45
203		27,07		253		16,52		303		8,86		353		25,51	
204		20,62		254		17,79		304		24,99		354		16,50	
205		27,36		255		20,75		305		10,76		355		6,51	
206		16,50		256		24,46		306		17,79		356		21,99	
207		22,32		257		22,88		307		15,89		357		25,51	
208		27,07		258	-	37,13	-	308		15,89		358		31,27	
209		24,99		259		16,14		309		18,53		359		20,75	
210		30,78		260		20,33		310		17,05		360		17,79	
211		21,61		261	-	18,15	-	311	9,84		19,27	361		-	7,91
212		18,70		262		18,56		312		10,76		362		15,25	
213		39,96		263		19,13		313		10,76		363		15,25	
214		14,64				25,65		314		15,06		364		13,75	
215		17,79		265	_	17,87	_	315	-	14,06	-			2,93	
216		19,27		266		19,06		316	8,97		17,79			16,52	
217		12,55		267		13,98		317		10,76				23,72	
218		25,40		268		20,52		318		11,81				17,79	
219	-	23,91	-	269	-	19,70	-			16,50		369		17,79	
220		22,32		270		27,90 23,91		320		20,62 22,24				16,52 16,50	
221 222		15,25 20,62		271 272	-	25,20	-	321 322	-	16,52	-	371 372		16,52	
223		25,20		273		25,65		323		17,87		373		14,06	
224		22,32				19,06		324		19,24		374		15,12	
225		17,87		275		19,70		325		19,24		375		19,24	
226		15,23		276		18,43		326		22,32				22,24	
227		32,27		277		15,06		327		17,87		377		27,36	
228		23,94		278		19,27		328		20,75		378		22,24	
229		15,81		279		17,18		329		15,25		379		17,79	
230		29,07		280		16,50		330		22,32				14,06	
231		21,99		281	-	17,16	-	331		7,32				16,50	
232		14,06		282		11,71		332		13,78					14,06
233		23,12		283		20,75		333	-	20,62	-	383		15,23	
234		15,23		284	-	23,37	-	334		21,99		384		19,24	
235		28,87		285		17,87				14,06		385		19,27	
236		20,75				17,79				31,23				17,87	
237		20,01		287		14,06				15,89				17,79	
238		21,61		288		17,57		338		13,98		388		16,50	
239		17,79		289		19,13		339		8,13				14,06	
240		24,71		290		24,74		340		10,76		390		20,33	
241		13,75		291		21,31		341		37,65				16,52	
242	19,27	26,68	11,32	292		21,99		342		15,25				16,52	
243		28,70		293		28,37		343	17,79	15,25	22,23	393		15,25	
244	20,01	27,10	25,51	294	25,20	28,70	14,06	344	15,23	13,98	19,93	394	18,53	15,25	12,91
245	16,50	21,31	37,65	295	22,32	16,50	25,51	345	23,72	25,51	18,53	395	14,06	19,24	15,23
246	21,99	26,12	9,18	296	25,51	11,81	19,93	346	20,75	19,24	19,27	396	29,28	17,79	25,62
247	26,30	17,87	20,01	297	32,94	20,72	14,06	347	19,13	22,32	15,25	397	17,87	19,13	11,75
248	26,12	13,98	23,37	298	20,33	15,23	13,98	348	25,51	18,56	15,25	398		14,06	
249	17,79	20,33	9,54	299	23,94	25,65	30,19	349	22,32	15,25	19,13	399	15,12	16,40	15,25
250	27,10	21,61	20,75	300	12,55	21,99	19,24	350	17,79	15,25	14,06	400	9,84	17,79	35,43

**Tabela 11.** Volume de madeira com casca (Vcc) em metros cúbicos por hectare, de árvores de eucalipto híbrido (clone de *Eucalyptus grandis* vs *E. urophylla*), aos 26 meses de idade, em local de ocorrência de ataque por *Lampetis nigerrima* (Kerremans, 1897). T1: Não atacadas e não podadas (Testemunhas); T2: Atacadas e submetidas à poda de correção; T3: Atacadas e sem poda. Grão Mogol, MG, 2005 a 2007.

Árvores N <sup>0</sup>	T1	T2	T3	Árvores N <sup>0</sup>	T1	T2	T3	Árvores N <sup>0</sup>	T1	T2	T3	Árvores N <sup>0</sup>	T1	T2	Т3
1	68,50	69,75	65,42	51	43,92	55,84	54,14	101	53,15	56,05	43,01	151	67,20	73,04	38,48
2	57,59	51,02	44,84	52	61,03	55,84	64,77	102	51,55	49,43	51,35	152	74,32	75,03	33,83
3	63,52	46,01	59,33	53	71,75	51,07	34,27	103	47,29	61,50	46,90	153	53,70	110,07	42,99
4	52,62	43,01	58,54	54	59,79	55,18	66,01	104	82,49	51,02	43,51	154	57,99	58,30	100,86
5	47,29	70,99	57,26	55	59,33	68,17	75,85	105	80,41	68,52	51,55	155	54,14	53,74	47,88
6	41,59	48,85	65,88	56	45,92	75,11	46,34	106	56,47	53,15	40,26	156	39,33	55,69	61,72
7	57,57	60,25	49,83	57	68,52	64,14	51,02	107	45,40	51,02	49,97	157	46,34	48,50	57,57
8	62,76	75,60	49,83	58	60,47	59,79	67,26	108	42,99	59,33	49,97	158	48,42	68,17	64,77
9	57,99	66,56	54,14	59	56,47	52,76	61,50	109	38,93	54,77	54,14	159	54,48	53,74	48,85
10	67,26	85,90	75,11	60	52,97	72,24	43,92	110	42,09	48,42	69,75	160	60,14	43,01	43,01
11	54,14	56,47	65,88	61	85,90	59,07	43,36	111	50,93	76,34	59,07	161	61,93	35,74	38,48
12	61,61	56,47	49,83	62	89,69	92,79	50,81	112	57,59	64,77	63,47	162	41,04	34,99	35,06
13	62,29	62,93	64,77	63	99,23	89,56	45,75	113	49,97	67,91	65,82	163	65,35	48,50	63,25
14	53,15	50,81	57,57	64	63,90	59,34	59,79	114	65,35	68,98	44,84	164	50,47	42,75	43,92
15	64,64	53,70	41,90	65	59,79	46,25	88,84	115	60,51	74,50	61,12	165	69,19	41,04	46,90
16	62,29	61,12	50,81	66	52,76	50,81	61,12	116	65,35	50,47	49,36	166	62,27	48,74	51,02
17	52,97	48,24	52,06	67	59,07	50,13	51,78	117	67,91	46,34	37,62	167	65,35	43,36	48,85
18	79,34	57,57	68,52	68	51,07	84,91	70,44	118	72,38	46,41	43,92	168	82,93	32,30	43,01
19	49,18	69,75	58,77	69	57,26	79,06	58,68	119	62,78	49,40	57,05	169	66,18	79,34	47,88
20	61,72	50,44	64,77	70	68,98	61,21	56,42	120	67,91	52,62	46,90	170	67,32	37,46	51,45
21	41,04	57,99	47,58	71	68,98	44,46	49,18	121	67,91	42,09	46,90	171	72,87	35,07	36,34
22	46,34	43,92	53,15	72	50,81	47,29	34,27	122	73,77	48,42	56,22	172	72,61	60,51	47,88
23	84,39	67,26	69,19	73	61,12	44,24	45,75	123	60,22	52,06	49,97	173	83,01	36,34	56,42
24	68,52	43,92	69,75	74	55,18	43,61	49,83	124	62,78	55,36	51,55	174	55,18	57,05	56,42
25	56,47	52,06	62,27	75	65,82	56,22	47,78	125	71,15	58,19	55,18	175	69,19	57,57	68,52
26	48,85	41,29	52,06	76	54,14	104,26	56,22	126	78,56	58,77	40,19	176	73,48	56,50	58,77
27	60,51	55,91	40,47	77	50,13	56,92	51,78	127	75,11	41,62	60,90	177	62,76	70,47	54,25
28	54,14	58,19	72,92	78	52,46	54,48	55,36	128	69,19	46,34	41,04	178	78,47	69,19	63,52
29	50,44	48,85	37,06	79	51,07	56,22	53,70	129	70,99	53,47	41,04	179	60,90	63,47	64,77
30	73,77	73,77	55,18	80	81,50	69,75	53,15	130	65,35	62,29	42,09	180	52,16	87,41	45,40
31	59,79	47,88	54,25	81	62,29	57,99	46,01	131	85,15	58,68	43,51	181	57,99	65,82	39,98
32	59,79	38,81	55,24	82	49,83	79,34	36,91	132	75,16	49,43	54,14	182	67,66	86,60	49,55
33	77,95	41,59	45,92	83	56,92	53,47	55,49	133	82,22	53,10	53,15	183	81,70	93,39	23,67
34	54,86	69,75	67,77	84	75,85	55,18	58,68	134	59,79	53,47	52,06	184	63,36	97,33	46,90
35	79,34	59,07	82,22	85	63,11	109,04	66,63	135	52,06	51,07	59,79	185	66,99	66,01	59,78
36	57,50	57,26	80,75	86	65,35	34,84	53,63	136	57,05	56,22	62,93	186	60,90	51,55	66,63
37	63,90	44,46	46,01	87	53,47	76,55	45,75	137	62,27	43,01	62,00	187	45,75	38,81	66,81
38	70,52	45,32	55,84	88	57,26	55,36	77,32	138	47,42	43,51	60,14	188	66,56	46,01	37,68
39	51,78	42,12	59,94	89	44,46	53,47	45,32	139	54,77	60,47	44,84	189	36,14	43,51	61,03
40	60,47	57,99	54,14	90	69,75	67,77	46,90	140	55,24	46,67	21,97	190	34,84	35,87	57,59
41	50,13	81,50	55,84	91	66,99	54,72	64,77	141	54,77	49,41	54,72	191	47,58	31,62	56,42
42	59,79	69,19	62,93	92	75,78	71,15	59,79	142	50,47	43,36	100,86	192	42,47	77,81	58,19
43	54,48	65,82	72,47	93	50,13	73,04	45,81	143	52,04	57,99	62,00	193	35,58	57,99	58,62
44	57,99	59,79	56,22	94	51,78	51,55	49,97	144	44,45	72,24	73,79	194	38,44	57,99	72,47
45	75,11	56,22	63,47	95	60,39	122,82	44,24	145	41,59	78,64	53,10	195	59,07	35,87	51,71
46	86,60		58,68	96		97,61		146	66,01	68,17	30,88	196		48,85	49,97
47	73,77	55,84	74,35	97		83,98		147	65,35	76,42	28,18	197		47,88	55,36
48	49,43		55,36			64,77		148		64,64	28,43	198		57,05	69,75
49	51,55		44,24			31,73		149		100,86		199		55,36	56,42
50	51,02		56,47			39,98		150	60,47	75,03	64,77	200		48,93	43,92

Tabela 11. Continuação...

Árvores N <sup>0</sup>	T1	T2	T3	Árvores N <sup>0</sup>	T1	T2	T3	Árvores N <sup>0</sup>	T1	T2	T3	Árvores N <sup>0</sup>	T1	T2	T3
201	55,18	69,19	16,27	251	88,09	43,36	45,75	301	45,92	46,01	39,82	351	41,18	39,98	34,68
202	57,57	76,42	45,64	252	59,79	38,26	50,44	302	48,42	35,37	32,49	352	37,99	42,94	49,40
203	68,98	73,04	62,00	253	54,14	43,92	32,99	303	36,34	27,46	11,86	353	36,91	38,93	18,80
204	54,14	44,24	40,19	254		36,60		304	31,42	57,05	52,49	354			38,93
205	59,79	64,77	39,64	255	62,78	56,92	61,61	305		33,83		355			41,04
206		49,18		256		59,34		306		45,40		356			31,88
207		62,76		257		44,46		307	-	33,83	-	357	-	-	16,14
208	-	71,79	-	258		69,75		308		35,51		358			32,68
209		80,07		259		37,99		309		49,18		359		45,75	
210		63,90		260		42,09		310		54,48		360		39,82	
211	-	46,01	-	261		41,04		311	-	26,85	-	361			20,98
212		72,47		262		43,51		312		28,07		362			22,59
213		77,21		263		49,40		313		32,84		363			52,49
214		41,29		264	-	58,77	-	314		48,85		364		37,62	
215		45,75		265		45,40		315		39,64		365	-	23,67	-
216		49,43		266	-	43,61	-	316	-	31,14	-	366		32,29	
217		59,33		267		42,47		317		25,77		367		64,77	
218		76,42		268		62,00		318		27,11		368		46,90	
219	-	62,00	,	269	-	44,46	-	319		41,59		369		31,13	
220	-	52,46		270		55,84		320	-	37,99	-	370			33,48
221		48,50		271	-	54,14	-	321	-	52,46		371	-	45,32	
222		50,81		272		55,49		322		41,90		372			29,65
223		54,14		273	-	73,79	-	323	-	38,93	-	373			26,68
224		59,79		274		44,24		324		42,75		374			38,43
225	-	55,18		275	-	41,62	-	325		57,57		375	-	36,34	
226		46,17		276		43,92		326		46,90		376		49,18	
227 228		82,12 67,32		277 278	-	36,67 47,29	-	327 328	-	44,24 46,90	-	377 378	-	-	17,79 53,25
229		48,50		279		50,81		329		36,91		379		37,62	
230	-	63,11	-	280	-	50,81	-	330	-	53,15	-	380	-	-	50,07
231		50,13		281	-	43,51	-	331		23,58		381		42,09	
232		55,18		282		47,88		332		36,32		382	-	29,29	
233		56,47		283		52,06		333		41,59		383		32,40	
234		45.75		284		46.90		334		46.01		384		46.90	
235		47,29	,	285		43,92		335	,	37,99	,	385	-	52,06	-
236	-	57,99		286		48,50		336	-	67,26	-	386		44,24	
237		54,48		287		45,32		337		44,59		387		40,47	
238		47,58		288		45,42		338		45,75		388		42,47	
239		52,62		289		60,14		339	,	26,05	-	389		31,42	
240		62,76		290		54,48		340	-	22,46	-	390		37,99	
241		44,45		291		52,46		341		61,12		391		38,54	
242		54,48		292		51,78		342		46,67		392		42,47	
243	-	59,33	-	293		66,63		343		34,09		393		36,91	
244		63,90		294		60,14		344		35,37		394		43,36	
245		52,06		295		48,85		345		45,40		395		38,48	
246		53,47		296		34,37		346		40,70		396		40,47	
247		54,48		297		64,22		347		50,44		397		48,85	
248		43,01		298		43,61		348		43,36		398		32,61	
249		43,01		299		62,29		349		37,99		399		33,83	
250		44,84		300		52,76		350		39,21		400		53,10	

**Tabela 12.** Volume de madeira com casca (Vcc) em metros cúbicos por hectare, de árvores de eucalipto híbrido (clone de *Eucalyptus grandis* vs *E. urophylla*), aos 32 meses de idade, em local de ocorrência de ataque por *Lampetis nigerrima* (Kerremans, 1897). T1: Não atacadas e não podadas (Testemunhas); T2: Atacadas e submetidas à poda de correção; T3: Atacadas e sem poda. Grão Mogol, MG, 2005 a 2007.

Árvores															
N <sup>0</sup>	T1	T2	T3	N <sup>0</sup>	T1	T2	T3	N <sup>0</sup>	T1	T2	T3	N <sup>0</sup>	T1	T2	T3
1	109,38	98,97	91,10	51	77,74	86,30	93,96	101	91,24	105.96		151		113,40	
2	91,24	82,12	69,75	52	94,35	91,03	91,03	102	94,94	96,90	91,10	152		110,62	
3	100,84	71,70	89,69	53	104,11	85.65	53,07	103	81,70	116,22		153		165,17	
4	82,22		107,61	54	83,51	-	107.67	104	138,50	87,69	82,12	154	102,06		131,59
5	76,42	107,37	-	55	91,03	104,11	-	105	-	109,38		155	90,08	85,34	76,88
6	69,34		105,28			118,37		106	96,45	91,86	83,68	156	78,16		100,06
7	84,91	88.09	74,73	57				107	93,26	96,90	91,03	157	85.79		101,53
8		112,80	76,42	58	88,09	92,49	98,97	108	88,65	99,83	91,03	158	89,08	,	112,07
9	80,73	92,79	76,42	59	88,09	94,65	79,06	109	82,63	98,97	93,96	159	80,38	85,79	74,73
10	97,61	122,19	131,77	60	92,79	112,80	70,52	110	84,91	97,22	119,07	160	89,60	84,91	81,27
11	73,79	85,15	99,13	61	125,95	94,65	79,06	111	98,35	130,82	98,97	161	102,55	74,73	69,75
12	85,15	97,61	75,11	62	-	127,34	74,73	112	-	129,71	-	162	78,47	62,29	65,82
13	98,97	97,61	91,24	63	-	120,16	-	113	-	127,34	-	163	115,57	-	95,71
14	82,22	80,38	88,09	64	113,87	84,33	83,51	114	114,51	114,22	73,82	164	83,01	68,17	80,07
15	100,86	94,33	68,17	65	102,06	79,71	129,91	115	110,07	126,72	112,80	165	127,34	69,34	77,21
16	88,09	95,88	83,51	66	91,86	89,08	84,91	116	130,82	100,97	86,60	166	106,73	77,57	98,35
17	79,71	75,11	80,73	67	93,96	77,22	83,01	117	102,06	82,00	83,51	167	102,06	75,11	95,88
18	114,78	134,76	99,13	68	87,69	121,96	112,80	118	112,80	89,56	89,56	168	139,75	56,22	77,21
19	74,73	105,96	80,73	69	95,43	107,37	92,49	119	118,37	99,94	95,18	169	108,25	121,21	93,44
20	100,86	72,47	95,98	70	110,62	86,30	86,60	120	116,22	95,88	88,65	170	101,30	68,98	98,97
21	62,00	83,51	79,06	71	105,16	70,52	70,52	121	122,57	77,74	92,79	171	111,04	71,88	78,56
22	70,99	73,48	80,75	72	88,28	68,17	60,58	122	128,55	91,03	103,61	172	122,01	109,38	100,06
23	118,37	91,24	100,86	73	99,83	73,48	83,51	123	110,62	94,36	93,44	173	122,57	70,99	91,24
24	97,61	72,24	118,37	74	91,86	66,43	77,22	124	119,64	104,70	88,09	174	96,90	105,74	95,18
25	94,33	83,51	114,17	75	102,06	83,01	77,22	125	120,16	106,28	90,42	175	113,82	100,52	125,05
26	79,06	62,00	80,73	76	79,71	146,29	86,30	126	120,82	101,73	65,82	176	122,57	89,08	94,94
27	89,69	80,75	74,05	77	85,65	91,03	86,30	127	124,32	81,27	105,96	177	94,36	127,83	95,88
28	83,51	92,79	99,13	78	90,47	84,33	91,03	128	113,40	93,44	63,90	178	124,32	115,07	90,42
29	80,38	76,42	102,23	79	85,94	89,08	88,09	129	119,64	88,65	70,19	179	98,37	105,16	106,73
30	116,58	122,19	89,08	80	129,71	98,97	85,15	130	120,82	110,07	77,95	180	83,45	143,69	74,73
31	85,34	97,61	88,09	81	92,49	93,96	79,71	131	133,85	98,97	79,92	181	102,48	155,76	58,62
32	89,56	68,17	83,68	82	81,70	131,59	66,43	132	137,79	92,93	91,50	182	102,48	129,91	73,03
33	114,78	67,26	79,06	83	89,08	86,97	76,40	133	133,85	96,45	92,79	183	122,57	159,46	37,02
34	82,20	98,97	109,38	84	105,74	89,56	84,33	134	102,48	76,42	95,88	184	99,83	150,60	70,19
35	116,58	88,09	116,22	85	-	148,23	102,06	135	94,36	91,50	96,45	185	98,97	117,32	100,86
36	89,08		127,65	86	104,11		85,15	136	107,37		110,07			97,96	
37	98,97	66,43	77,22	87	-	121,96		137		83,51		187	-	68,65	-
38	96,90	66,43		88		91,03				83,98				77,22	
39		69,75	86,62	89	-	96,90	-	139	108,99		72,61	189	-	83,51	-
40	91,03	99,83	80,38	90		111,34		140	107,37		72,87	190	69,60		112,02
41		123,75		91	-	86,97		141	-	-	89,08	191	81,70	-	107,61
42	,	105,96		92	-	114,78	-	142	94,33		135,82		-	131,77	-
43	86,30		111,09	93		112,80		143		101,30		193	63,90	95,18	
44	91,03	98,97	81,70	94		86,97		144		111,09			70,52		112,07
45	93,96	-	98,97	95		172,84	,	145	,	120,31	-	195	90,42	61,12	
46	-	80,38	92,49	96	-	159,20	-	146	-	101,30	-	196	75,03	82,22	82,22
47	107,61	91,03	111,09	97		105,74		147		110,62		197	88,09	73,04	
48	72,24	89,08	97,61	98		105,16		148		99,83		198	76,88		116,58
49	88,09	90,47	67,54	99		59,60		149		146,18		199	85,90		100,06
50	77,95	83,01	97,43	100	112,80	66,63	68,17	150	98,35	124,32	93,96	200	66,18	97,43	85,15

Tabela 12. Continuação...

Árvores N <sup>0</sup>	T1	T2	T3	Árvores N <sup>0</sup>	T1	T2	T3	Árvores N <sup>0</sup>	T1	T2	T3	Árvores N <sup>0</sup>	T1	T2	T3
201	79,06	105,96	43,04	251	125,54	70,52	66,99	301	81,27	80,38	69,75	351	76,55	81,70	73,79
202	91,03	107,37	77,81	252	96,77	80,73	80,38	302	81,70	66,43	85,66	352	73,79	79,06	94,35
203	103,61	107,37	86,62	253	100,86	75,97	97,61	303	73,03	62,47	42,94	353	69,75	83,51	40,02
204	86,30	74,05	68,17	254	100,52	69,75	89,69	304	-	110,62	87,25	354	73,79	85,15	72,24
205	88,09	104,11	58,30	255	88,09	83,51	88,65	305	95,18	72,87	38,54	355	87,69	51,07	69,75
206	91,86	77,22	76,42	256	95,43	88,04	105,74	306	57,26	91,86	61,12	356	64,22	81,70	65,82
207	105,74	-	64,22	257	102,77	66,43	73,14	307	55,18	70,74	56,47	357	79,89	95,18	61,12
208		100,86		258		105,74		308	70,99	79,06	76,42	358	76,55	104,11	72,24
209		121,96		259	116,22	62,00	126,93	309	64,22	86,69	46,01	359	76,42	88,09	54,14
210	120,31	105,16	-	260	84,33	70,99	129,08	310	57,26	88,65	52,46	360	62,00	92,49	64,77
211	91,03	75,22	79,06	261	84,69	66,18	62,00	311	52,76	50,43	92,79	361	76,42	46,90	49,97
212		104,11		262	84,33	64,77	62,29	312	58,30		54,72	362	83,51	80,73	49,41
213	-	107,67	85,65	263	91,03	80,07	68,98	313	67,54	-	88,09	363	83,68	69,75	99,23
214	84,33	63,11	81,70	264	84,91	100,86	69,75	314	81,70	86,30	53,74	364	79,06	70,44	88,15
215	86,62	68,17	91,03	265	79,06	74,32	87,22	315	81,70	75,97	73,79	365	73,48	75,33	92,73
216	91,03	89,60	86,30	266	62,22	73,48	83,98	316	51,24	-	82,12	366	68,50	67,20	96,85
217	98,97		107,37	267	105,16	66,99	57,50	317	60,39		104,26	367	69,34	-	114,17
218	92,49	102,49		268	91,03	93,96	54,86	318	72,24	62,00	90,42	368	68,65	89,69	94,35
219	93,96		100,86	269	91,03	73,03	102,49	319	68,46	75,97	78,56	369	84,91	55,36	77,95
220	107,37	87,69	147,58	270	69,75	93,96	98,35	320	74,05	79,06	88,92	370	89,56	75,16	86,62
221	127,83	70,52	76,55	271	94,33	89,40	69,19	321	69,34	94,33	70,99	371	87,69	73,77	68,52
222	102,06	83,51	73,79	272	99,46	85,65	67,32	322	86,30	77,22	100,84	372	86,30	70,52	69,75
223	93,96	95,43	114,78	273	83,51	100,86	96,77	323	78,56	75,97	58,09	373	60,39	71,70	54,14
224	95,88	93,96	82,12	274	78,16	68,17	90,47	324	82,12	84,91	77,95	374	61,43	79,06	77,95
225	78,56	89,08	86,30	275	115,57	65,82	103,61	325	88,65	92,49	83,51	375	84,91	66,01	77,95
226	137,69	72,87	82,22	276	79,06	79,06	93,96	326	85,79	76,42	63,47	376	63,11	86,62	66,99
227	93,26	111,09	118,37	277	87,41	77,45	73,04	327	99,23	75,60	84,36	377	70,99	92,01	33,86
228	99,23	105,16	96,90	278	79,71	70,19	85,15	328	95,18	76,88	71,15	378	66,99	75,85	95,71
229	96,90	77,22	91,86	279	97,43	92,11	63,90	329	89,69	73,48	82,22	379	64,55	79,06	97,42
230	65,82	94,65	105,96	280	88,04	84,33	71,75	330	75,85	94,33	79,34	380	81,70	63,47	94,00
231	98,97	88,28	58,62	281	83,01	74,73	67,77	331	77,74	48,66	84,59	381	80,73	89,56	83,68
232	89,08	81,70	94,33	282	79,44	77,22	85,79	332	74,73	64,22	86,72	382	76,42	59,34	63,47
233	112,80	89,69	89,08	283	90,42	102,77	77,22	333	75,60	84,91	44,59	383	63,11	59,34	47,88
234	86,30	68,17	75,22	284	63,90	83,01	91,50	334	73,48	83,01	54,14	384	91,03	79,06	64,77
235	91,86	81,70	79,34	285	69,75	74,73	92,79	335	70,19	77,74	63,47	385	58,62	83,51	57,57
236	90,47	86,30	105,28	286	57,99	79,71	93,96	336	91,03	114,78	61,03	386	111,09	76,69	61,03
237	91,86	81,70	117,36	287	88,84	70,52	40,75	337	95,18	78,47	82,22	387	94,35	64,22	71,15
238	86,97	81,70	102,55	288	125,95	70,74	122,82	338	66,99	88,09	65,88	388	56,22	70,99	59,94
239	102,77		80,38	289	91,86		119,37	339	89,08	62,47	62,27	389	77,95	57,65	44,46
240	90,92	89,56	88,09	290	70,99	83,01	80,38	340	83,51	58,62	41,62	390	58,68	66,43	92,79
241	100,22	70,99	70,52	291	93,44	80,38	99,83	341	85,15	119,28	107,16	391	51,78	62,00	57,57
242	85,65	84,33	66,43	292	65,82	83,98	91,03	342	69,34	89,56	89,69	392	57,57	73,77	58,30
243	75,11	95,88	86,97	293	93,44	91,03	103,11	343	69,75	59,07	92,79	393	79,34	82,20	77,95
244	88,09	92,93	76,42	294	90,47	93,26	68,46	344	72,24	64,77	88,15	394	83,68	75,11	46,17
245	64,22	84,91	123,04	295	90,42	72,24	95,43	345	90,42	86,60	112,99	395	66,99	69,75	77,95
246	79,34	89,60	60,58	296	84,39	54,86	83,98	346	96,77	72,47	82,22	396	99,23	73,48	85,15
247	107,67	87,69	84,91	297	103,40	108,25	86,30	347	96,77	88,09	76,55	397	76,42	76,55	109,04
248	85,65	74,73	88,09	298	71,97	84,69	84,33	348	96,45	80,73	71,15	398	65,82	62,00	110,92
249	80,38	79,44	61,43	299	94,36	100,52	109,38	349	91,03	65,04	73,79	399	80,38	52,06	88,92
250	88.09	77,22	77,74	300	100,52	87,13	73,82	350	70,99	68,17	72,24	400	59,34	86,03	77,81